

# TEZĂ DE DOCTORAT

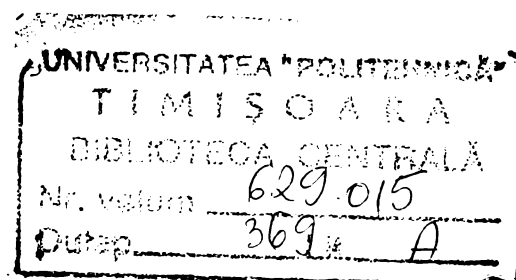
## Recunoaștere facială bazată pe procesare neuronală paralelă și metoda operatorului de interes

**Autor:**  
**Asist.ing. Cătălin-Daniel CĂLEANU**

**Conducător științific:**  
**Prof.dr.ing. Corneliu I. TOMA**

BIBLIOTECA CENTRALĂ  
UNIVERSITATEA "POLITEHNICA"  
TIMIȘOARA

2001



# CUPRINS

## **CAP. 1 Introducere**

## **CAP. 2 Intenții și motivații**

2.1 Intenții.....	pag.5
2.2 Motivații.....	pag.6

## **CAP. 3 Rețele neuronale artificiale în prelucrarea digitală a imaginilor**

3.1 Avantajele folosirii rețelelor neuronale artificiale.....	pag.9
3.2 Prelucrarea digitală a imaginilor.....	pag.10
3.3 Aplicații ale RNA în prelucrarea digitală a imaginilor.....	pag.12
3.3.1 RNA în filtrarea temporală și spațială.....	pag.12
3.3.2 RNA în codarea și compresia imaginilor.....	pag.13
3.3.3 RNA în segmentarea imaginilor.....	pag.14
3.3.4 RNA în reprezentarea imaginilor.....	pag.16
3.3.5 RNA în recunoașterea și interpretarea imaginilor.....	pag.16
3.4 Concluzii.....	pag.17

## **CAP. 4 Propuneri privind algoritmi rapizi de antrenament pentru rețele neuronale cu propagare înainte (feedforward)**

4.1 Elemente de neurodinamică.....	pag.21
4.1.1 Neuronul artificial.....	pag.21
4.1.2 Arhitecturi ale RNA.....	pag.23
4.1.3 Tipuri și algoritmi de instruire.....	pag.25
4.2 Învățarea RNA văzută ca o strategie de optimizare.....	pag.26

4.2.1 Accelerarea vitezei de convergență a algoritmului BP prin reglarea fuzzy a ratei de învățare.....	pag.27
4.2.3 Accelerarea vitezei de convergență pentru algoritmi bazați pe metoda gradientului conjugat.....	pag.35
4.3 Concluzii.....	pag.39

## **CAP.5 Metode folosite în recunoașterea facială**

5.1 Procesarea biologică a informației vizuale.....	pag.41
5.2 Metode convenționale folosite în recunoașterea facială.....	pag.45
5.2.1 Metode bazate pe trăsături geometrice.....	pag.45
5.2.2 Metode bazate pe analiza componentelor principale.....	pag.48
5.2.3 Metode bazate pe compararea șabloanelor.....	pag.50
5.2.4 Metode bazate pe compararea rețelelor elastice.....	pag.52
5.3 Metode bazate pe rețele neuronale folosite în recunoașterea facială .....	pag.53
5.3.1 Metodă bazată pe folosirea rețelelor neuronale cu autoorganizare și convoluționale.....	pag.53
5.3.2 Metoda bazată pe rețele neuronale cu decizie probabilistică.....	pag.55
5.3.3 Metode bazate pe arbori neuronali.....	pag.56
5.3.4 Metode ce folosesc rețele neuronale bazate pe funcții radiale.....	pag.57
5.3.5 Metode bazate pe rețele neuronale de tip perceptron multistrat (MLP) și cu învățare prin cuantizare vectorială (LVQ).....	pag.57
5.3.6 Metode bazate pe rețele neuronale tip grupuri de arbori cu toleranță adaptivă.....	pag.58
5.3.7 Metode bazate pe rețele neuronale ART.....	pag.59
5.4 Concluzii.....	pag.60

## **CAP.6 Propuneri privind realizarea unui sistem neuronal de recunoaștere facială**

6.1 Propuneri privind arhitectura și metodele de implementare pentru un sistem de recunoaștere facială.....	pag.65
6.1.1 Achiziția imaginii.....	pag.66
6.1.2 Preprocesarea imaginii.....	pag.67
6.1.3 Detecția feței.....	pag.68
6.1.4 Extragerea trăsăturilor.....	pag.75
6.1.5 Clasificarea.....	pag.78
6.2 Rezultate experimentale.....	pag.81
6.2.1 Descrierea bazei de date.....	pag.81
6.2.2 Influența folosirii tehnicii de extragere a trăsăturilor de tip operator de interes asupra procesului de recunoaștere facială.....	pag.81
6.2.3 Influența rezoluției imaginii faciale și a dimensiunilor ferestrei de extragere a trăsăturilor asupra performanțelor procesului de recunoaștere facială.....	pag.84
6.2.4 Influența folosirii unor arhitecturi paralele și ierarhice tip RNA-MLP asupra procesului de recunoaștere facială.....	pag.86
6.3 Concluzii.....	pag.88

## **CAP.7 Implementarea unui sistem de recunoaștere facială**

7.1 Introducere.....	pag.91
7.2 Implementarea software.....	pag.92
7.2.1 Mediul MATLAB v.5.3.....	pag.93
7.2.2 Dezvoltarea interfeței grafice utilizator.....	pag.95
7.2.3 Recunoaștere facială bazată pe rețele neuronale – implementare MATLAB.....	pag.99

7.2.4 Mediu de dezvoltare pentru aplicații	
MLP – implementare “C/C++” .....	pag.103
7.3 Implementarea hardware.....	pag.109
7.4 Concluzii.....	pag.112

## **CAP. 8 Concluzii**

8.1 Comparație cu alte sisteme de recunoaștere facială.....	pag.116
8.2 Contribuții.....	pag.118
8.3 Direcții viitoare de cercetare.....	pag.121

## **ANEXA 1**

A.1.1 Definiție controler fuzzy.....	pag.123
A1.2 Funcție de antrenament fuzzy (trainfuzzy) pentru RNA tip feedforward definită conform standardului MATLAB.....	pag.124

## **ANEXA 2**

A2.1 Comparația metodei “trainfuzzy” cu alte metode de antrenament în problema aproximării unei funcții.....	pag.129
A2.2 Comparația metodei “trainfuzzy” cu alte metode de antrenament în problema mine versus stânci.....	pag.131
A2.3 Comparația metodei “trainfuzzy” cu alte metode de antrenament în probleme de clasificare a tiparelor.....	pag.133

### **ANEXA 3**

- A3.1. Studiul influenței folosirii tehnicii de extragere a trăsăturilor de tip operator de interes asupra procesului de recunoaștere facială.....pag.137
- A3.2. Influența rezoluției imaginii faciale și a dimensiunilor ferestrei de extragere a trăsăturilor asupra performanțelor procesului de recunoaștere facială.....pag.137

### **ANEXA 4**

- A4.1 Influența folosirii unor arhitecturi paralele și ierarhice de RNA-MLP asupra procesului de recunoaștere facială.....pag.141

### **ANEXA 5**

- A5.1 Subrutinele principale ale programului destinat recunoașterii faciale bazate pe tehnica de extragere a trăsăturilor tip operator de interes și clasificatori paraleli de tip neuronal.....pag.149

- BIBLIOGRAFIE**.....pag.155



# CAPITOLUL 1

## Introducere

În cadrul acestei teze este abordată problema prelucrării digitale a imaginilor (PDI) prin intermediul rețelelor neuronale artificiale (RNA). Ca aspect particular al celor sus-menționate este detaliată problema detecției și recunoașterii faciale prin intermediul RNA.

În acest scop teza este structurată după cum urmează:

CAP. 1 prezintă obiectul și structura tezei.

CAP. 2 se ocupă de motivațiile abordării unei astfel de teme și de formularea problemei.

CAP. 3 se referă la avantajele oferite de RNA și prezintă sintetic etapele ce le presupune o aplicație generală a PDI. Apoi sunt identificate, pentru fiecare dintre aceste etape, modalități de implementare prin intermediul rețelelor neuronale artificiale: RNA în filtrarea temporală și spațială, RNA în codarea și compresia imaginilor, RNA în segmentarea imaginilor, RNA în reprezentarea imaginilor, RNA în recunoașterea și interpretarea imaginilor. Sunt evidențiate avantajele pe care le oferă soluțiile neuronale față de soluțiile clasice sau convenționale (în sensul în care nu folosesc RNA) și se desprinde ideea că RNA se constituie într-o alternativă viabilă pentru domeniul PDI.

CAP. 4 oferă o succintă trecere în revistă a chestiunilor legate de tipurile de RNA și algoritmiiferenți de antrenament. Autorul tezei identifică, pe baza analizei algoritmilor de antrenament pentru RNA cu propagare înainte a semnalului (feedforward) anumite probleme specifice folosirii RNA în PDI. Drept urmare se propun doi algoritmi de antrenament care să soluționeze aceste probleme. Se arată că cel bazat pe adaptarea fuzzy a ratei de învățare după o metodă propusă de autorul tezei, dă rezultate foarte bune în momentul în care vectorii de intrare au o dimensionalitate ridicată (număr de componente mai mare decât  $10^3$ ). Pentru cazul în care vectorul de



intrare are dimensionalitate mică sau medie (zeci sau sute de componente) se propune folosirea unui algoritm de antrenament derivat din cei bazați pe metoda gradientului conjugat.

CAP. 5 este dedicat realizărilor de până în prezent în domeniul recunoașterii faciale. Autorul propune o împărțire a acestor metode în: convenționale, pentru cele care nu folosesc rețele neuronale și metode bazate pe RNA. Din prima categorie se prezintă unele dintre cele mai semnificative abordări, realizându-se totodată și o circumscriere pentru acestea: metode bazate pe trăsături geometrice, metode bazate pe analiza componentelor principale, metode bazate pe compararea șabloanelor, metode bazate pe compararea rețelelor elastice. În continuare se realizează o privire de ansamblu asupra metodelor recunoașterii faciale care folosesc rețele neuronale: metodă bazată pe folosirea rețelelor neuronale cu autoorganizare și convoluționale, metodă bazată pe rețele neuronale cu decizie probabilistică, metode bazate pe arbori neuronali, metode ce folosesc rețele neuronale bazate pe funcții radiale, metode bazate pe rețele neuronale de tip perceptron multistrat (MLP) și cu învățare prin cuantizare vectorială (LVQ), metode bazate pe rețele neuronale tip grupuri de arbori cu toleranță adaptivă, metode bazate pe rețele neuronale ART. În finalul capitolului sunt analizate avantajele și dezavantajele metodelor prezentate și se desprinde ideea referitoare la utilitatea unei metode hibride convențional-neuronale.

CAP 6. propune pe baza observațiilor din capitolele anterioare o arhitectură pentru un sistem de recunoaștere facială. Contribuția autorului tezei se manifestă aici prin propunerea folosirii unui algoritm de extragere a trăsăturilor, metoda operatorului de interes, care a fost folosit până în prezent doar la navigația roboților mobili autonomi. Se demonstrează avantajele pe care la aduce folosirea acestei metode de extragere a trăsăturilor: reducerea dimensionalității vectorilor ce urmează a fi procesați de clasificatori și de aici timp redus de procesare. Totodată, prin extragerea doar a informației definitorii, esențiale, din imaginile faciale se obține o certă îmbunătățire a performanțelor clasificării. Se investighează efectul rezoluției imaginilor și influența dimensiunii ferestrei de extragere a trăsăturilor asupra ratei clasificării. Mai mult,

autorul propune o arhitectură paralel-ierarhică de RNA tip perceptron multistrat (RNA-MLP) și arată că prin procesarea paralelă a unor regiuni disjuncte din imaginea facială pot fi obținute rezultate mai bune decât în cazul folosirii unui singur clasificator global.

În CAP. 7 se tratează problematica implementării sistemului prezentat în capitolul anterior. Sunt rezumate cerințele care trebuie să fie îndeplinite de către o aplicație ce are ca obiect detecția și recunoașterea facială și sunt discutate posibilitățile software și hardware de realizare a sistemului. Dintre modalitățile software sunt comparate implementările MATLAB v.5.3 și Microsoft Visual C++ 5.0. Se decide că mediul MATLAB este potrivit pentru dezvoltarea aplicației și se evidențiază proprietățile statice și dinamice pe care trebuie să le ofere interfață grafică utilizator pentru această aplicație. În final se prezintă modul de operare a programului realizat după cerințele și principiile sus-menționate. Se propune însă și o soluție hardware bazată pe procesorul de semnal de uz general, preț scăzut, TMS320VC33 folosit ca și coprocesor în conjuncție cu un microcontroller de tip 8051.

CAP. 8 cuprinde concluziile referitoare la tema prezentată, contribuțiile originale ale autorului și direcții viitoare de cercetare.

În ANEXE este prezentat codul sursă MATLAB pentru toate experimentele prezentate în cadrul tezei, inclusiv pentru aplicația de detecție și recunoaștere automată a unei imagini faciale iar BIBLIOGRAFIE cuprinde totalitatea referințelor bibliografice, în ordinea menționării acestora în textul prezentei teze.



## CAPITOLUL 2

### Intenții și motivații

#### 2.1 Intenții

În prezenta teză autorul dorește să abordeze problematica prelucrărilor digitale de imagini din perspectiva rețelelor neuronale artificiale. În mod particular s-a ales tema **deteției și recunoașterii faciale folosind rețele neuronale artificiale**. Motivele acestei alegeri sunt subliniate în subcapitolul următor.

În principal există două tipuri de probleme [1] specifice recunoașterii faciale:

- a) Găsirea unei persoane într-o bază de date largă, de exemplu cele ale poliției. Aceste sisteme returnează o listă cu persoanele care seamănă cel mai mult cu cea căutată. De regulă o singură imagine sau un număr mic de imagini sunt disponibile pentru persoana căutată iar recunoașterea nu trebuie efectuată în timp real [2].
- b) Identificarea în timp real a unei persoane, de exemplu într-un sistem de supraveghere automată sau accesul unui grup de persoane la anumite facilități (clădiri, camere, calculatoare) [3]. De regulă sunt disponibile multiple imagini pentru persoanele ce vor trebui să fie recunoscute în timp real.

În cadrul prezentei lucrări este abordată în principal a doua categorie de sistem de recunoaștere facială. În consecință, autorul își propune să realizeze un **sistem de recunoaștere facială în timp real**, bazat pe rețele neuronale, care să ofere următoarele posibilități:

## **- 6 - Intenții și motivații**

---

- Pornirea/oprirea unui flux video. Totodată aplicația trebuie să fie capabilă să captureze în mod automat cadre din fluxul video.
- Preprocesarea imaginilor achiziționate.
- Detecția automată a fețelor umane în imaginile preprocesate.
- Recunoașterea imaginilor faciale izolate la punctul anterior prin compararea acestora cu cele deja existente în baza de date.
- Posibilități de manipulare a unei baze de date.

### **2.2 Motivații**

Prezentul subcapitol își propune să răspundă la două întrebări: **de ce recunoaștere facială și de ce recunoaștere facială bazată pe rețele neuronale ?**

Principalele motivele pentru care s-a ales o astfel de temă sunt următoarele:

- în ciuda eforturilor susținute, materializate prin numeroase studii, conferințe etc., **problema recunoașterii faciale rămâne deschisă**. Până în prezent nu există nici un sistem de recunoaștere facială capabil să rivalizeze cu performanțele pe care le oferă în această problemă un sistem de vedere biologic, spre exemplu cel uman.
- recunoașterea facială reprezintă o **tehnică pasivă și nonintruzivă** pentru verificarea identității persoanelor. Se arată că vânzările unor astfel de sisteme depășesc 100 mil. \$ [4].
- problema recunoașterii faciale este importantă prin prisma **aplicațiilor** imediate ale acesteia:
  - Sisteme de supraveghere automată pentru locuri publice intens populate (aeroporturi, gări, stadioane, străzi, controlul pașapoartelor etc.) [5].
  - Controlul accesului la diferite facilități (clădiri, camere, computere) [6].
  - Interacțiunea om-mașină [7]
  - Găsirea bazată pe conținut a informațiilor conținute în secvențele video din bibliotecile digitale [8].

- Medicină [9].

Principalul motiv pentru care s-a ales abordarea domeniului prelucrărilor de imagini, în particular problema recunoașterii faciale, pe baza rețelelor neuronale artificiale poate fi sintetizat printr-un citat din [10]:

*“... a one-year-old baby is much better and faster at recognizing objects, faces, and so on than even the most advanced AI system running on the fastest supercomputer.”*

Cu alte cuvinte, mamiferele în general, primatele în special, omul în final, au abilități recunoscute în privința recunoașterii formelor. Autorul tezei consideră utilă inspirarea din modelul sistemelor biologice de vedere, bazate pe procesare neuronală, în momentul în care se dorește realizarea unei arhitecturi pentru un sistem artificial de recunoaștere a fețelor. Faptul că mecanismul uman de recunoaștere include arii neuronale ale creierului specializate în recunoaștere facială este un lucru dovedit prin multiple cercetări asupra activității neuronilor [11] sau prin simptomul denumit prosopagnozie [12] care se manifestă prin aceea că la un pacient cu anumite arii cerebrale lezate, deși sistemul de vedere funcționează normal, subiectul nu e capabil să recunoască fețe umane. În plus, sistemele neuronale oferă și alte avantaje descrise detaliat în următorul capitol.

În concluzie, problema recunoașterii faciale, încă nerezolvată în totalitate, este importantă prin natura aplicațiilor sale iar abordarea acesteia prin intermediul rețelelor neuronale artificiale se justifică prin performanțele deosebite obținute în aceeași problemă de rețelele neuronale biologice.

**- 8 - Intenții și motivații**

---

# CAPITOLUL 3

## Rețele neuronale artificiale în prelucrarea digitală a imaginilor

### 3.1 Avantajele folosirii rețelelor neuronale artificiale

Rețelele neuronale artificiale (RNA) reprezintă o încercare de a simula, cel puțin parțial, structura și funcțiile creierului specifice organismelor vii.

Ca o definiție generală, se poate spune că RNA reprezintă un sistem de procesare al semnalelor, compus dintr-un număr mare de procesoare elementare interconectate, denumite neuroni artificiali sau noduri, și care cooperează pentru rezolvarea unor sarcini specifice. Modalitatea de adaptare la condițiile specifice mediului constă în modificarea ponderilor asociate conexiunilor dintre neuroni și eventual a structurii RNA.

Astfel de modele conexioniste oferă anumite **avantaje**, caracteristice sistemelor neuronale reale (biologice) și care nu sunt întâlnite în cazul sistemelor de calcul tradiționale, secvențiale [13], [14]:

- Datorită gradului ridicat de paralelism, funcționarea defectuoasă sau chiar pierderea unui număr de neuroni nu afectează semnificativ performanța sistemului global. RNA reprezintă deci **sisteme tolerante la erori**;
- Proprietatea deosebit de importantă a RNA este aceea de a **învăța** și de a se **adapta**;
- Posibilitatea de a opera cu **date imprecise**;
- **Capacitatea de generalizare**, în sensul în care RNA va opera corect și cu date de intrare care nu au fost prezentate în timpul procesului de antrenament;
- **Capacitatea de a aproxima** orice funcție continuă neliniară cu gradul de acuratețe dorit. Astfel RNA pot fi folosite cu succes în modelarea sistemelor neliniare;
- Datorită numărului mare de intrări și ieșiri, RNA modelează cu ușurință **sisteme**



**multivariabilă;**

- Implementările hardware ale RNA, de exemplu prin intermediul circuitelor integrate pe scară largă (VLSI), fac posibilă utilizarea RNA pentru cazul aplicațiilor în timp real.

### **3.2 Prelucrarea digitală a imaginilor**

Interesul pentru prelucrarea digitală a imaginilor (PDI) a fost generat de aplicațiile practice ale acestui domeniu: îmbunătățirea informației conținute în imagini pentru a înlesni interpretarea acestora de către om și prelucrarea datelor unei scene necesară percepției artificiale.

În fig.3.2.1 sunt prezentați principalii pași [15] pe care trebuie să-i parcurgă o aplicație PDI cu caracter general.

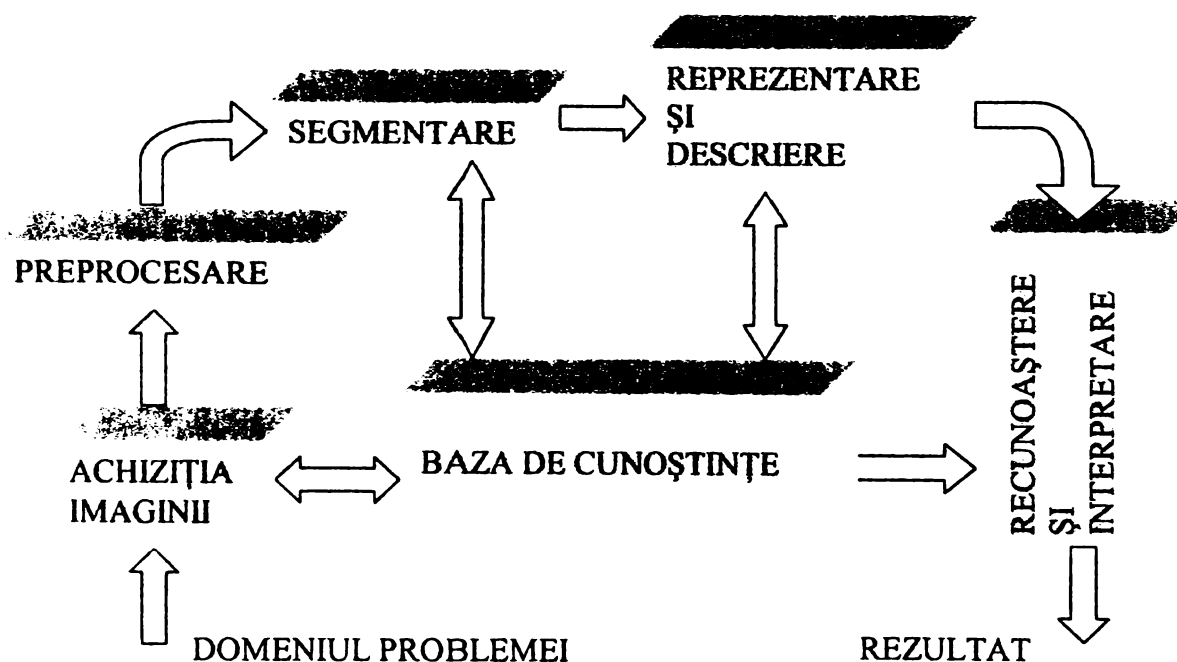


Fig.3.2.1 Etapele PDI cf. [15]

Primul pas îl reprezintă **achiziția** imaginii sau obținerea unei imagini digitale. Pentru aceasta este nevoie de un senzor de imagine și de posibilitatea digitizării acestui semnal. Un astfel de exemplu îl constituie camerele TV.

După obținerea imaginii digitale urmează cel de al doilea pas, cel al **preprocesării** imaginii. Rolul preprocesării este crucial pentru reușita aplicației, prin aceasta urmărindu-se accentuarea și extragerea acelor informații care contribuie la creșterea șanselor de succes ale celorlalte procese.

Următoarea etapă este legată de **segmentarea** imaginii, adică împărțirea acesteia în părțile sale constituente sau obiecte. În general, segmentarea automată a imaginilor este una dintre operațiile cele mai dificile. În urma segmentării se obțin date în forma unui șir de pixeli constituind conturul unei regiuni.

**Reprezentarea conturilor** este adecvată când se dorește evidențierea caracteristicilor externe ale formelor. **Reprezentarea regională** este de dorit dacă atenția este focalizată asupra proprietăților interne (textură, schelet). Uneori există posibilitatea ca cele două reprezentări să coexiste.

**Descrierea** sau selecția trăsăturilor urmărește extragerea informației pentru diferențierea unei clase sau a unui obiect.

Ultimul pas al PDI implică **recunoașterea și interpretarea** imaginii. Recunoașterea este procesul prin care se atribuie o etichetă unui obiect și se bazează pe informația provenită din descriere. Interpretarea presupune asigurarea unui înțeles pentru o mulțime de entități.

Cunoștințele despre domeniul problemei sunt codate într-un sistem de prelucrare a imaginilor sub forma unei baze de date ce cuprinde anumite cunoștințe, adică **baza de cunoștințe**.

De remarcat faptul că nu toate aplicațiile PDI implică utilizarea tuturor modulelor prezentate în fig.3.2.1.

### **3.3 Aplicații ale RNA în prelucrarea digitală a imaginilor**

Datorită proprietăților menționate anterior (vezi §3.1), RNA își găsesc o largă gamă de aplicații în domeniul PDI. Practic, există numeroase aplicații rezolvate prin intermediul RNA, pentru fiecare dintre etapele PDI (vezi fig.3.2.1). Este justificată astfel apariția unui număr special al IEEE Trans. Image Processing destinat aplicațiilor RNA în PDI [16]. În continuare vor fi prezentate pe scurt câteva exemple în acest sens.

#### **3.3.1 RNA în filtrarea temporală și spațială**

Un rol important în PDI îl are preprocesarea datelor provenite de la senzori. Ea poate contribui la reducerea zgomotului spațial și temporal provenit de la sistemul de achiziție sau la îmbunătățirea informației conținute în scenă. O serie de RNA statice sau dinamice pot fi programate să realizeze filtrări adaptive [17].

- **Filtrarea temporală.** Principala operație în eliminarea zgomotului prin filtrare adaptivă este interpolarea valorii  $x(k-n/2)$  a semnalului de intrare din  $n + 1$  eșantioane prelevate dintr-un semnal continuu. Cu alte cuvinte RNA primește la intrare o serie de valori discrete,  $X(k) = [x(k), x(k-1), \dots, x(k-n)]^T$  după care se estimează valoarea centrală  $y(k) \approx x(k-n/2)$ . Chiar și un singur neuron poate să funcționeze ca un filtru adaptiv calculând produsul scalar al vectorilor augmentați  $X_a(k)$ , adică vectorul corespunzător intrărilor și  $W_a(k)$  adică vectorul pondere. Elementele vectorului ponderilor sinaptice  $W_a(k)$  sunt modificate după un algoritm de învățare de tip LMS. Inițial, filtrul este antrenat folosind eșantioane contaminate cu zgomot pentru care valorile semnalului necontaminat  $y_d(k)$  sunt cunoscute.
- **Filtrarea spațială.** Rețeaua neuronală statică descrisă anterior pentru filtrare adaptivă poate fi ușor extinsă pentru filtrare spațială bidimensională. Intrările rețelei vor fi alimentate prin intermediul unei ferestre cu care se va baleia întreaga imagine. Numărul total de neuroni necesari implementării unei filtrări 2D va fi egal cu numărul de pixeli din imagine.

Mai recent au fost propuse [18] și alte structuri neuronale (filtre neuronale generalizate adaptive, GANF) destinate filtrărilor neliniare.

### 3.3.2 RNA în codarea și compresia imaginilor

Procesul de codare al unei imagini cu scopul de a reduce volumul datelor care se transmit printr-un canal de comunicație se numește compresia imaginii.

- **Compresia imaginilor prin RNA cu autoasociere.** Reprezintă una dintre metodele cele mai des citate în literatură și constă în aplicarea aceleiași imagini la intrarea respectiv ieșirea unei RNA de tip perceptron multistrat cu un singur strat ascuns. Rata compresiei este dată de raportul dintre numărul neuronilor stratului de intrare/ieșire (egal cu numărul pixelilor din imagine) și numărul neuronilor stratului ascuns.
- **Codarea Gabor a imaginilor prin intermediul RNA.** Daugman [19] a dezvoltat un set de funcții bidimensionale (funcții Gabor) care pot fi folosite pentru codarea, compresia și analiza imaginii. Se arată că este posibil ca o imagine să se aproximeze printr-o sumă de funcții 2D Gabor  $G = [G^1, G^2, \dots, G^L]^T$ . Fiecare  $G^l \in \mathbb{R}^{L(1 \times J)}$  reprezintă o matrice bidimensională de dimensiune  $I \times J$  în care elementele matricii sunt valori ale eșantioanelor spațiale ale produsului dintre o sinusoidă 2D și o anvelopă gaussiană. În termeni matematici, analiza imaginilor bazată pe funcții Gabor implică determinarea vectorului  $W(k)$  astfel încât:

$$Y(k) \cong X(k) = \sum_{l=1}^L w_l(k) G_l \quad (3.3.2.1)$$

Una din metodele de determinare pentru aceste ponderi constă în aplicarea la intrarea unei RNA a vectorului funcțiilor Gabor iar la ieșire se va obține imaginea codată. Ajustarea ponderilor se va face după un algoritm de învățare tip LMS pe baza semnalului de eroare, calculat ca fiind diferența dintre imaginea codată și cea originală,  $X(k) - Y(k)$ . Daugman a demonstrat [19] reconstrucția aproape perfectă a unei imagini în niveluri de gri cu 8 biți pe pixel și cu o rată de compresia egală cu 3. Cu o rată de

compresie de 8 se obține o degradare minoră a imaginii.

### 3.3.3 RNA în segmentarea imaginilor

- **Segmentarea imaginilor prin RNA cu învățare de tip competitiv.** În [20] - [22] autorul tezei prezintă metode de segmentare nesupervizată a texturilor bazate pe rețele neuronale cu învățare de tip competitiv. În [21] spre exemplu, este propusă o soluție de segmentare bazată pe o structură modular-ierarhică de rețele neuronale de tip hartă de trăsături cu auto-organizare (Self Organising Feature Map, SOFM). Trăsăturile extrase din imaginea originală (omogenitate, entropie, contrast, momente etc.) nu reușesc întotdeauna să diferențieze orice pereche de texturi, dar combinația acestora poate duce la o segmentare reușită a imaginii. Se alocă pentru fiecare imagine-trăsătură o RNA-SOFM care va efectua o segmentare nesupervizată pentru aceasta. Răspunsul tuturor RNA-SOFM este prelucrat prin intermediul unei RNA-SOFM ierarhic superioară (fig.3.3.3.1), care va furniza în final imaginea complet segmentată (fig.3.3.3.2-3.3.3.6).

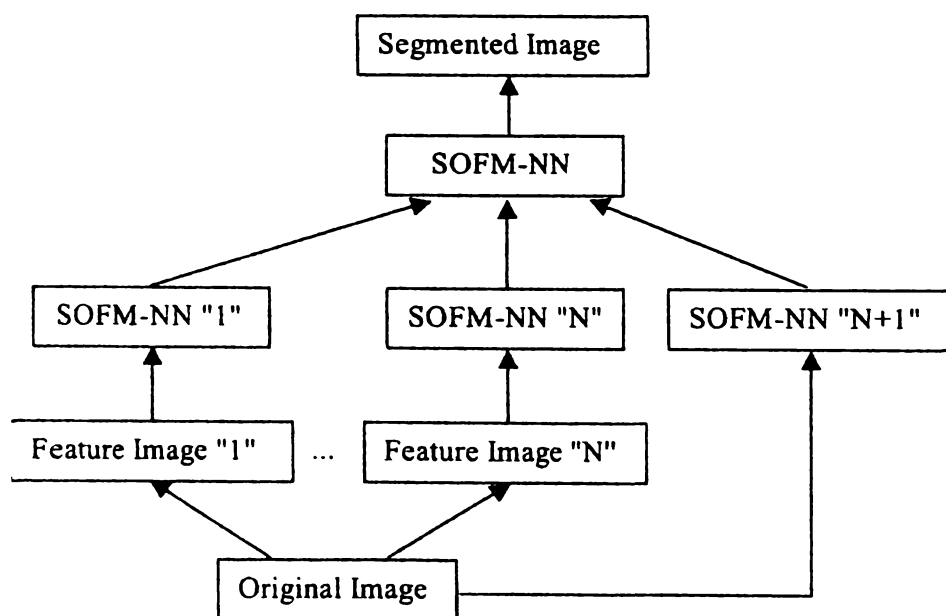


Fig.3.3.3.1 Structura unui sistem modular-ierarhic pentru segmentarea nesupervizată a texturilor propusă de autorul tezei în [22]

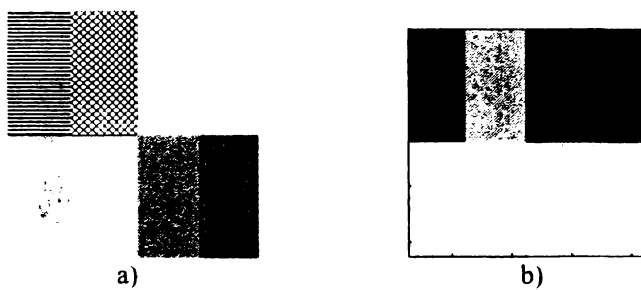


Fig. 3.3.3.2. a) Original 8-texture image;  
b) Partially unsupervised segmentation of original image

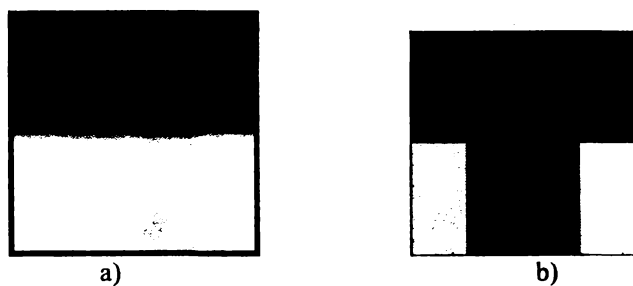


Fig. 3.3.3.3. a) Entropy feature image;  
b) Unsupervised segmentation of entropy feature image

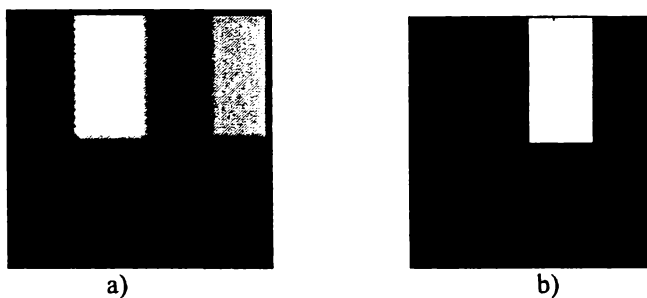


Fig. 3.3.3.4 a) Contrast feature image  
b) Unsupervised segmentation of contrast feature image



Fig. 3.3.3.5 a) Second moment feature image;  
b) Homogeneity feature image



Fig. 3.3.3.6 Final segmented image (8 output neurons)

Se menționează în literatura RNA existența și a altor abordări ([23], [24]), principial diferite de cea expusă anterior, în problema segmentării imaginilor dar care presupun existența unei faze supervizate, ceea ce poate constitui un dezavantaj față de metodele propuse de autorul tezei în [20], [21] și [22].

### **3.3.4 RNA în reprezentarea imaginilor**

Un exemplu în acest sens îl constituie reprezentarea cu RNA a conturilor imaginilor. De regulă obiectul din imagine este transformat în trăsături spațiale (mărime, orientare, formă) și trăsături contextuale, după care urmează o etapă de codare a formei; în final identificarea și localizarea obiectului. Unitatea de bază în codarea conturului este derivată, sub aspect funcțional și arhitectural, din modelul neuronilor biologici din aria vizuală V4 [25].

### **3.3.5 RNA în recunoașterea și interpretarea imaginilor**

- **RNA pentru recunoașterea caracterelor scrise de mână.** Reprezintă una dintre aplicațiile de succes ale RNA în PDI. Un rol deosebit în acest sens îl are rețeaua neuronală dezvoltată de către Fukushima, neocognitronul [26]. Neocognitronul utilizează aceeași structură a neuronilor la fiecare nivel de procesare a informației din sistemul de vedere neuronal. Aceasta reflectă unul din dezideratele neocognitronului și anume folosirea unei structuri de calcul neuronale care să realizeze aceeași funcție în întreaga arhitectură a rețelei, dar în niveluri din ce în ce mai înalte de abstractizare.

Abordări mai recente ale aceleiași probleme [27] folosesc RNA convoluționale prin care se evită complexitatea ridicată a RNA feedforward prin tehnici de partajare a ponderilor (weight sharing) și prin folosirea conexiunilor locale. RNA folosită în [27] reprezintă o modificare a neocognitronului în sensul în care neuronii de tip "S" folosesc aici modele de tip McCulloch-Pitts.

- **RNA în recunoașterea automată a țințelor.** Se pot deosebi două stadii esențiale în aplicațiile care implică recunoașterea obiectelor de către RNA: extragerea trăsăturilor și clasificarea propriu-zisă. Prima etapă presupune izolarea informației esențiale din imagine și implicit o reducere a dimensionalității vectorilor ce urmează a fi clasificați ulterior. Ea este implementată prin metode statistice (PCA, SVD, filtre Gabor, metoda operatorului de interes etc.) sau metode bazate pe RNA (SOFM, GHA). Clasificarea este de regulă efectuată prin intermediul RNA-MLP (perceptron multistrat) sau RNA-RBF (RNA bazate pe funcții radiale). Un exemplu ilustrativ pentru principiile enunțate mai sus este prezentat în [28].

### 3.4 Concluzii

Întrucât detecția și recunoașterea facială presupun operații specifice PDI (filtrare, extragere de trăsături, clasificare) autorul tezei investighează soluții [29] de rezolvare ale acestor probleme folosind RNA.

Una dintre concluziile importante este aceea că există un înalt grad de similitudine între noțiunile vehiculate în teoria RNA și cea a metodelor clasice, statistice [30], [31] fapt ilustrat și de tabelul 3.4.1.

În ceea ce privește performanțele acestor abordări distincte există deja publicate numeroase studii [32], [33], [34]. În problema clasificării spre exemplu, deosebit de importantă pentru o aplicație de recunoaștere facială, sunt comparați, în [35], 16 algoritmi de clasificare statistici și neuronali asupra a două probleme diferite: clasificarea cifrelor scrise de mână și clasificarea fonemelor. Rezultatele sunt prezentate rezumativ în tab.3.4.2.



<b>Rețele neuronale artificiale</b>	<b>Metode clasice (statistice)</b>
Învățare (learning)	Estimare (estimation)
Ponderi (weight)	Parametri (parameters)
Învățare supervizată (supervised learning)	Regresie (regression)
Clasificare (classification)	Discriminare (discrimination)
Învățare nesupervizată (non supervised learning)	Estimarea densității (density estimation)
Grupare (clustering)	Clasificare (classification)
Rețea neuronală	Model

Tab.3.4.1 Paralelism terminologic între metodele bazate pe RNA și cele clasice (statistice) [31].

Clasificator	Eroare probl.1 [%]	Eroare probl.2 [%]
LDA (linear discriminant analysis)	9,8	24,4
QDA (quadratic discriminant analysis)	3,7	21,7
RDA (regularized discriminant analysis)	3,4	21,8
KDA (kernel discriminant analysis)	3,7	11,3
RKDA (reduced kernel discriminant analysis)	5,2	18,0
MLP (multilayer perceptron)	5,4	13,9
MLP+WD (multilayer perceptron+weight decay)	3,5	13,6
LLR (local linear regression)	2,8	12,9
FDA/MARS (multivariate adaptive regression splines)	6,3	14,0
1-NN (1 nearest neighbor)	4,2	11,7
3-NN (3 nearest neighbor)	3,8	12,5
L-3-NN (learning k-NN)	3,6	14,1
LVQ (learning vector quantization)	4,0	12,7

Tab.3.4.2 Performanțele comparative pentru clasificatori statistici și neuronali în problemele: clasificarea cifrelor scrise de mână (probl.1) și clasificarea fonemelor (probl.2) cf. [35].

Concluziile care se desprind în urma analizei performanțelor acestor algoritmi arată că nu există o abordare care să domine, prin prisma performanțelor și că aceste performanțe depind de natura concretă a aplicației [36].

Se poate concluziona faptul că datorită proprietăților ce caracterizează RNA (grad înalt de paralelism, sisteme tolerante la erori, capacitate de a învăța, generaliza, opera cu date imprecise etc.) acestea se constituie într-o soluție viabilă pentru domeniul PDI.

În plus această concluzie este argumentată și prin prezentarea modului de soluționare a unor probleme caracteristice PDI (filtrare, codare, compresie, segmentare, reprezentare, recunoaștere și interpretare) prin intermediul RNA.



# CAPITOLUL 4

## Propuneri privind algoritmi rapizi de antrenament pentru rețele neuronale cu propagare înainte (feedforward)

### 4.1 Elemente de neurodinamică

În continuare sunt prezentate aspecte legate de calculul neuronal și propunerile autorului tezei în legătură cu posibilitățile de îmbunătățire ale algoritmilor de antrenament pentru RNA feedforward.

#### 4.1.1 Neuronul artificial

Neuronul artificial denumit uneori procesor elementar sau mai simplu nod, încearcă să imite structura și funcționarea neuronului biologic. Există numeroase modele prezentate în literatură [37], dar cel mai răspândit are la bază modelul elaborat de McCulloch-Pitts în 1943. Astfel se poate considera că neuronul artificial [38] este format dintr-un **număr de intrări**, fiecare dintre acestea fiind caracterizată de propria **pondere sinaptică**. De exemplu, semnalul  $x_j$  prezent la intrarea sinapsei "j" este conectat la neuronul "k" prin multiplicare cu ponderea  $w_{kj}$  (fig.4.1.1.1).

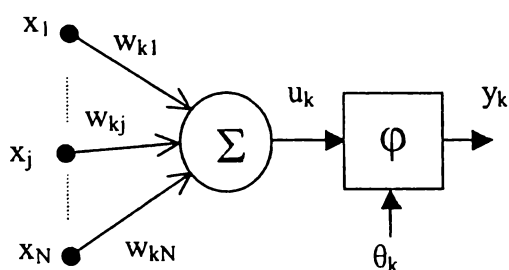


Fig. 4.1.1.1 Modelul neuronului artificial, cf. [38]

O altă componentă a modelului neuronului artificial prezentat în fig.4.1.1.1 o reprezintă **sumatorul** destinat însumării intrărilor ponderate.

Rezultatul obținut în urma însumării:

$$u_k = \sum_{j=1}^N w_{kj} \cdot x_j \quad (4.1.1.1)$$

este denumit intrare netă.

Pentru limitarea amplitudinii semnalului de ieșire al neuronului, acesta este prevăzut cu o **funcție de activare**  $\varphi(\cdot)$ :

$$y_k = \varphi(u_k - \theta_k) \quad (4.1.1.2)$$

în care  $\theta_k$  reprezintă valoarea **pragului de activare** (treshold) al neuronului. Uneori intrarea netă este majorată prin termenul  $b_k$  denumit factor al deplasării scării (bias); deplasarea scării reprezintă deci negativul pragului de activare.

Valoarea:

$$v_k = u_k - \theta_k \quad (4.1.1.3)$$

poartă denumirea de **potențial de activare**.

În ceea ce privește tipul funcției de activare, aceasta este de regulă o funcție neliniară (fig.4.1.1.2).

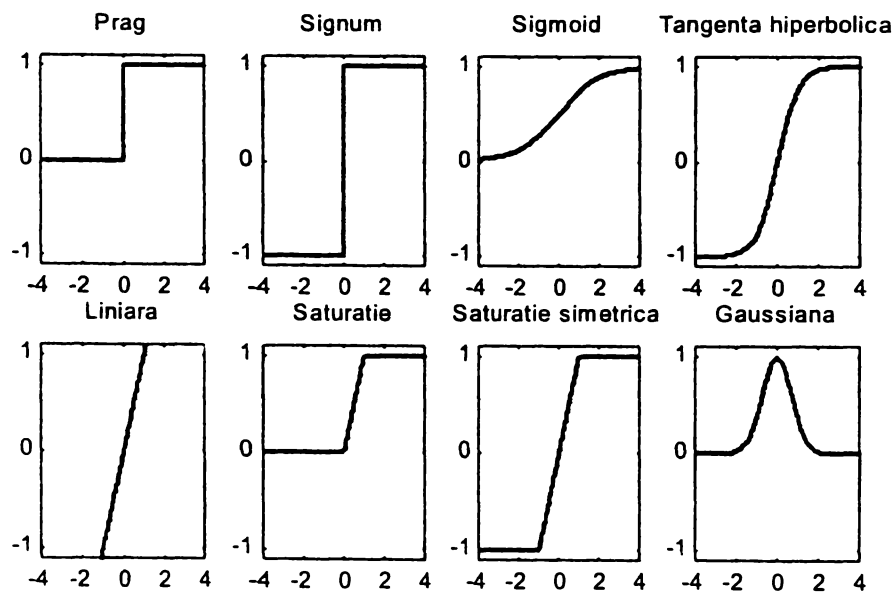


Fig. 4.1.1.2 Funcții de activare tipice, prezentate de autorul tezei în [39]

Analizând comparativ modelele neuronului real (biologic) și neuronului artificial se pot face următoarele observații [40]:

- Din punct de vedere al implementării este practic imposibil și chiar inefficient ca modelul artificial al neuronului să copieze exact comportamentul și structura celui biologic.
- RNA sunt proiectate pentru rezolvarea unor probleme specifice și deci arhitectura și trăsăturile RNA depind de problema pe care trebuie să o rezolve.
- Un neuron real produce la ieșire o secvență de impulsuri și nu o anumită valoare cum este cazul celui artificial. Reprezentarea ratei de activare printr-un singur număr ( $y_k$ ) ignoră informația care ar putea fi conținută de exemplu în faza impulsurilor.
- Unele celule nervoase biologice efectuează o însumare neliniară a intrărilor. Pot exista chiar operații logice (ȘI, SAU, NU) efectuate la nivelul dendritelor.
- Ieșirile neuronilor nu se modifică în mod sincron și nu toți au același tip de întârziere.
- Cantitatea de substanță transmițătoare (mediator chimic) eliberată la nivelul sinapsei poate să varieze într-un mod imprezizibil. Fenomenul este aproximat grosier prin intermediul funcției de activare.

#### 4.1.2 Arhitecturi ale RNA

Se pot distinge două mari categorii în modul de structurare al unei RNA:

- **RNA feedforward** (cu propagare înainte).

Sunt caracterizate de prezența unui strat de neuroni de intrare, un număr de straturi ascunse (posibil și fără) și un strat de neuroni de ieșire.

În fig.4.1.2.1 este prezentată arhitectura unei RNA feedforward cu un singur strat ascuns. Definitiv pentru acest tip de RNA este faptul că un neuron primește

semnale doar de la neuroni aflați în stratul/straturi precedent/precedente. Se spune despre o RNA că este **total conectată** dacă fiecare nod din fiecare strat este conectat la fiecare neuron din stratul precedent (fig.4.1.2.1).

Dacă anumite conexiuni sinaptice lipsesc, se spune că RNA este **parțial conectată** (fig.4.1.2.2). RNA total conectate au un caracter general, în sensul în care pot fi folosite într-o gamă largă de probleme, dar rezultatele nu sunt întotdeauna cele mai bune [41]. RNA parțial conectate introduc anumite restrângeri, care reprezintă tocmai cunoștințe apriorice despre problema de rezolvat și care reduc gradul de generalitate al unei RNA. Prin restrângerea câmpului de recepție al neuronilor se efectuează o extragere a trăsăturilor locale iar în straturile ce urmează acestea sunt combinate pentru a se forma trăsături de ordin superior. Astfel RNA parțial conectate pot da rezultate mai bune decât RNA total conectate în rezolvarea anumitor probleme specifice, cu condiția exploatării cunoștințelor apriorice despre problema dată.

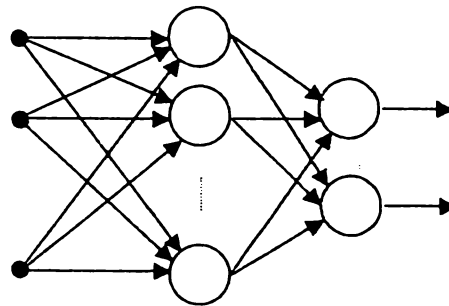


Fig. 4.1.2.1 RNA feedforward total conectată, prezentată de autorul tezei în [39].

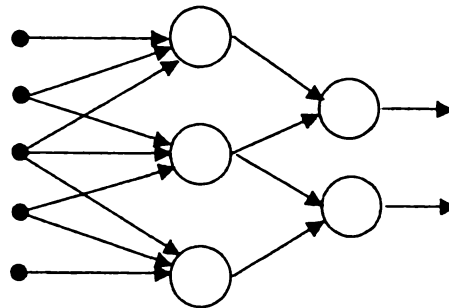


Fig.4.1.2.2 RNA feedforward parțial conectată, prezentată de autorul tezei în [39].

- **RNA recurente** (feedback, cu propagare înapoi).

RNA recurente se individualizează prin existența unui semnal de reacție, din partea neuronilor de ordin superior, pentru cei de ordin inferior sau chiar pentru propriile lor intrări ( fig.4.1.2.3).

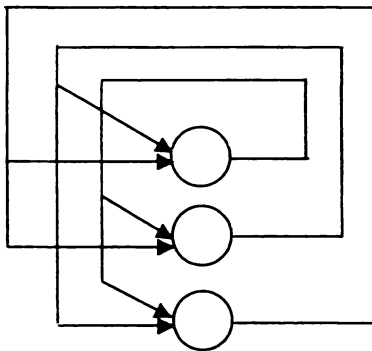


Fig.4.1.2.3 RNA recurentă, prezentată de autorul tezei în [39].

#### 4.1.3 Tipuri și algoritmi de instruire

RNA achiziționează cunoștințele prin instruire (învățare). Învățarea presupune adaptarea parametrilor liberi ai RNA ca urmare a stimulilor mediului în care se găsește rețeaua.

Vectorii de instruire sunt prezentați RNA în mod secvențial iar ponderile sinaptice, care memorează practic cunoștințele rețelei, sunt adaptate pentru a extrage informația pe care acești vectori o conțin.

Tipul de învățare este determinat de maniera în care sunt ajustați parametrii liberi ai RNA.

În literatura RNA [38], [42], [43] există o mare diversitate de opinii în ceea ce privește modul de clasificare al algoritmilor și tipurilor de învățare; fig.4.1.3.1 prezintă opinia autorului tezei, prezentată în [13], în ceea ce privește această clasificare.



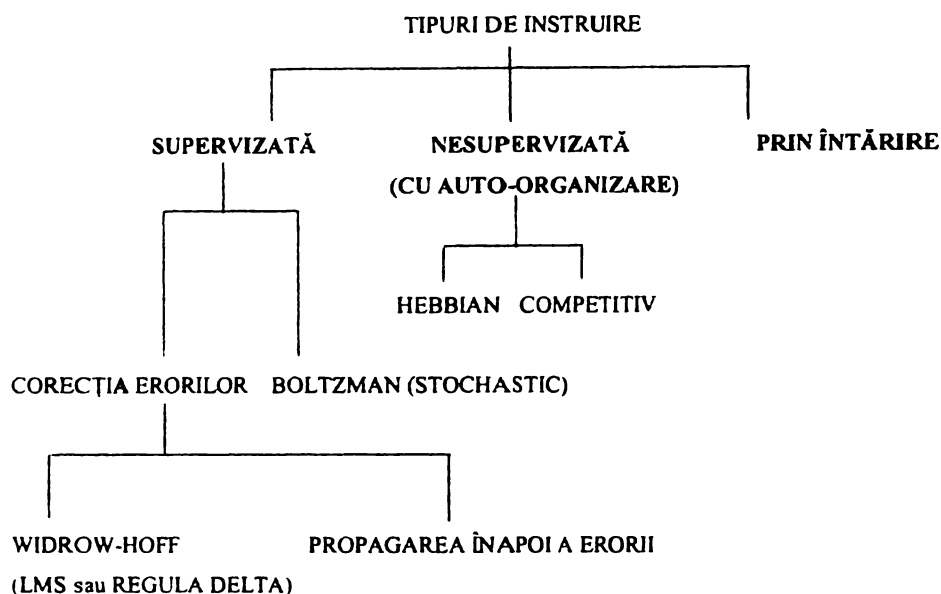


Fig.4.1.3.1 Tipuri și algoritmi de instruire, cf. opiniei autorului tezei [13].

Descrieri detaliate ale paradigmelor învățării și ale tipurilor de algoritmi de învățare pot fi găsite în [13], [37] sau [38].

## 4.2 Învățarea RNA văzută ca o strategie de optimizare

În continuare vor fi prezentați algoritmi de învățare folosiți pentru instruirea RNA-MLP implicate în experimentele din cadrul acestei lucrări, pe baza celor propuse de către autorul tezei [44], autorul tezei și Petropoulakis [45] și Moller în [46].

*Necesitatea unor astfel de algoritmi de antrenament sofisticăți rezidă din complexitatea problemelor aferente recunoașterii faciale. Mai precis, manipularea unor vectori de intrare de dimensiuni mari ( $n \times 10^2 \dots n \times 10^3$  componente) necesită algoritmi care să fie capabili să convergă într-un timp cât mai scurt și cu cerințe de memorie rezonabile.*

Este recunoscut faptul că algoritmi bazați pe metoda gradientului descendent prezintă o rată de convergență slabă și depind de anumiți parametri care trebuie

specificați de utilizator, neexistând o bază teoretică pentru alegerea acestora. Un exemplu în acest sens îl constituie algoritmul cu propagare înapoi a erorii (BP, backpropagation) în versiunile standard sau cu moment.

Cele mai multe metode folosite pentru minimizarea funcțiilor sunt bazate pe aceeași strategie:

- 1) Alegerea unui vector pondere inițial  $w_1$  și  $k=1$ .
- 2) Determinarea unei direcții de căutare  $p_k$  și a unui pas  $\alpha_k$  astfel încât funcția eroare să îndeplinească următoarea inegalitate:  
$$E(w_k + \alpha_k p_k) < E(w_k)$$
- 3) Modificarea vectorului pondere:  
$$w_{k+1} = w_k + \alpha_k p_k$$
- 4) Dacă  $E'(w_k) \neq 0$ ,  $k = k+1$  și salt la 2; altfel întoarce  $w_{k+1}$  ca fiind vectorul pentru care se obține minimumul dorit.

Se constată că determinarea punctului curent următor reprezintă un proces iterativ care implică două faze: în primul rând găsirea unei *direcții* în spațiul ponderilor de căutare iar în al doilea rând găsirea unui *pas* care să specifice cât este de mare deplasarea după direcția găsită anterior.

#### 4.2.1 Accelerarea vitezei de convergență a algoritmului BP prin reglarea fuzzy a ratei de învățare

Dacă direcția de căutare  $p_k$  menționată mai sus se consideră a fi negativul gradientului funcției de cost, adică  $-E'(w)$  și  $\alpha_k = ct.$ , se obține algoritmul gradientului descendent. Se observă că minimizarea prin metoda gradientului descendent se bazează pe aproximarea liniară  $E(x + y) \approx E(w) + E'(w)^T y$ .

Autorul tezei [44] și autorul tezei și Petropoulakis [45] propun o metodă bazată pe reglarea fuzzy a ratei de învățare, în scopul eliminării dezavantajelor mai sus menționate. Tiponuț și autorul tezei [13] descriu în detaliu principiile și modul concret

de implementare al acestei metode:

Este cunoscut faptul că rata de învățare  $\eta$  trebuie să fie suficient de mică, de regulă subunitară, pentru a preveni apariția oscilațiilor și a asigura convergența algoritmului de antrenament. Însă o rată prea mică de învățare poate încetini considerabil procesul de învățare al unei RNA. Timpul de antrenament poate fi considerabil redus prin folosirea unei rate de învățare adaptive (variabile) care să se mențină la o valoare cât mai ridicată, dar care să nu ducă la un proces de învățare instabil. Cvasitotalitatea metodelor fuzzy [47], [48], [49] sau clasice [50] de reglare a ratei de învățare se bazează pe analiza valorii absolute a erorii sau a gradientului din epoca curentă și eventual precedentă. Se propune în cele ce urmează o metodă fuzzy de adaptare a  $\eta$ , bazată pe valoarea relativă a criteriului de performanță specific unei RNA date. O astfel de abordare este justificată atât în cazul metodelor de adaptare clasice dar mai ales în cazul metodelor fuzzy deoarece valoarea numerică a erorii este dependentă de tipul funcției de activare a neuronilor. Spre exemplu, considerând o aceeași arhitectură a unei RNA, în cazul unei funcții de activare a neuronilor de tip liniar, gama de variație a erorii poate fi de  $10^3$  ori mai mare decât în cazul unei funcții de activare de tip sigmoidal. Astfel, considerarea valorii numerice absolute a criteriului de performanță (de regulă eroarea pătratică medie) drept mărime de intrare a unui controler fuzzy va presupune implicit introducerea unor limitări care afectează în mod negativ performanțele algoritmului de reglare a ratei de învățare.

În concluzie, se propune folosirea drept mărimi de intrare a controlerului fuzzy a **valorii relative a criteriului de performanță** ales:

$$p(n) = \frac{perf(n)}{perf(n-1)} \quad (4.2.1.1)$$

și a **valorii variației relative a criteriului de performanță**:

$$\Delta p(n) = \frac{perf(n)}{perf(n-1)} - \frac{perf(n-1)}{perf(n-2)} \quad (4.2.1.2)$$

Prin urmare cele două variabile lingvistice enunțate mai sus vor reprezenta mărimile de intrare ale controlerului fuzzy iar mărimea de ieșire va reprezenta un

coeficient “c” de modificare a ratei de învățare:

$$\eta(n) = c \cdot \eta(n-1) \quad (4.2.1.3)$$

Arhitectura acestui sistem este prezentată în fig.4.2.1.1.

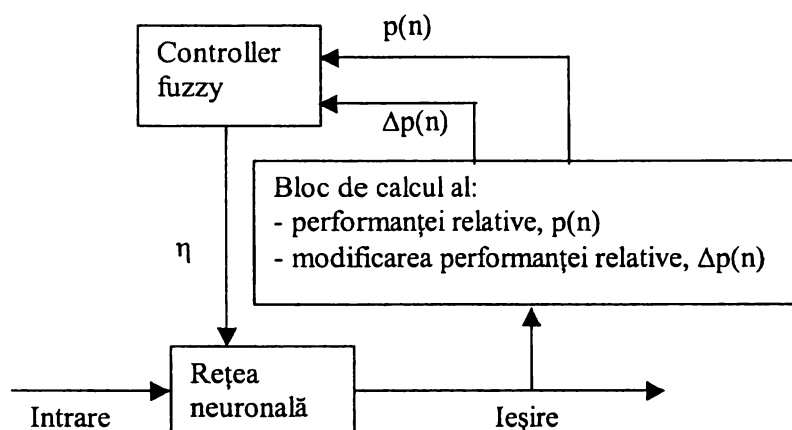


Fig.4.2.1.1 Sistem fuzzy pentru adaptarea ratei de învățare a unei RNA feedforward

Algoritmul de reglare a ratei de învățare funcționează conform bazei de reguli prezentate în tab.4.2.1.1 și este inspirat din metoda clasică de modificare a ratei de învățare prezentată de către Vogl și Mangis în [51]. Pentru claritatea expunerii se prezintă succint această metodă, care se găsește implementat și în mediul MATLAB v.5.3, Neural Network Toolbox v.3.0., sub forma funcției “*traingdx*”:

$$\eta(k) = \begin{cases} c_1 \cdot \eta(k-1), & \text{daca } perf(w(k)) < perf(w(k-1)) \\ c_2 \cdot \eta(k-1), & \text{daca } perf(w(k)) \geq c_3 \cdot perf(w(k-1)) \\ \eta(k-1), & \text{altfel} \end{cases} \quad (4.2.1.4)$$

Valorile tipice pentru acești coeficienți sunt:  $c_1 = 1,05$ ,  $c_2 = 0,7$ ,  $c_3 = 1,04$ .

Dezavantajul algoritmului mai sus menționat constă în valoarea coeficienților  $c_1$  și  $c_2$  care sunt menținuți constanți pe tot parcursul procesului de antrenament, împiedicând variația rapidă a ratei de învățare. Algoritmul fuzzy propus de către autorul tezei nuanțează acești coeficienți în funcție de valorile  $p(n)$  și  $\Delta p(n)$  și oferă o viteză de convergență sporită.

Pentru implementarea controlerului fuzzy se vor folosi facilitățile oferite de toolboxul MATLAB 5.3 specializat în dezvoltarea sistemelor fuzzy, adică Fuzzy Logic Toolbox v.2.0.1 Comanda MATLAB “fuzzy” apelează editorul FIS (Fuzzy Inference System editor) care, prin intermediul interfeței grafice utilizator (vezi fig.4.2.1.2) permite specificarea interactivă a:

- arhitecturii controlerului (număr de intrări și ieșiri);
- tipului controlerului (Mamdani sau Sugeno);
- funcțiilor de apartenență;
- bazei de reguli;
- metodei de defuzzyficare;
- vizualizării suprafeței de control etc.

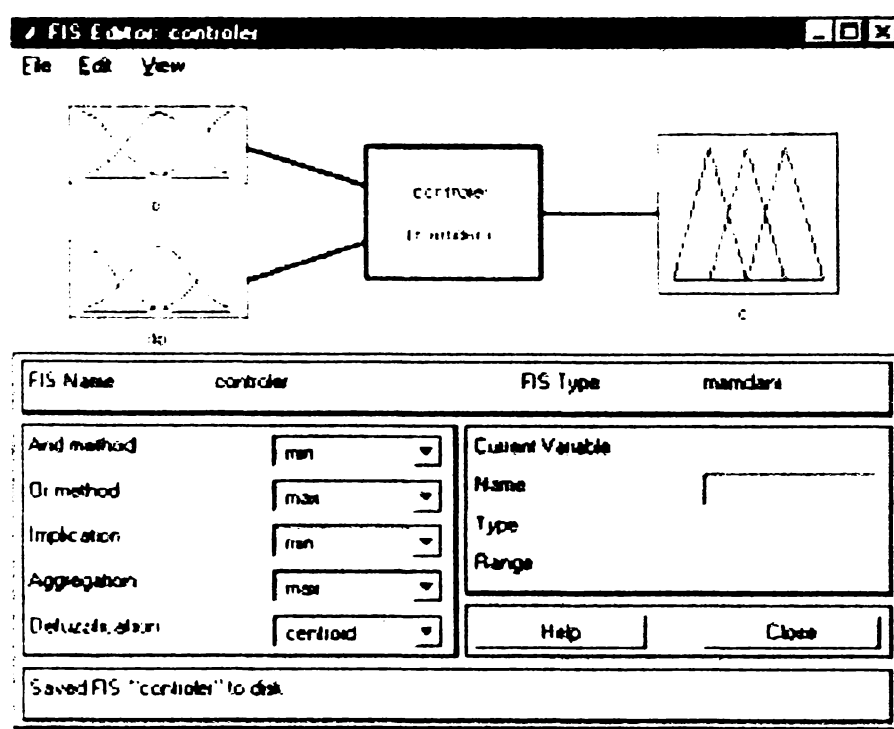


Fig.4.2.1.2 Arhitectura controlerului fuzzy de tip Mamdani pentru modificarea adaptivă a ratei de învățare, prezentată de autorul tezei în [13].

Funcțiile de apartenență pentru cele două variabile lingvistice de intrare sunt prezentate în fig.4.2.1.3 iar valorile lingvistice pentru variabila lingvistică asociată ieșirii se pot urmări în fig.4.2.1.4. Suprafața de reglare a controlerului fuzzy este înfățișată în fig.4.2.1.5.

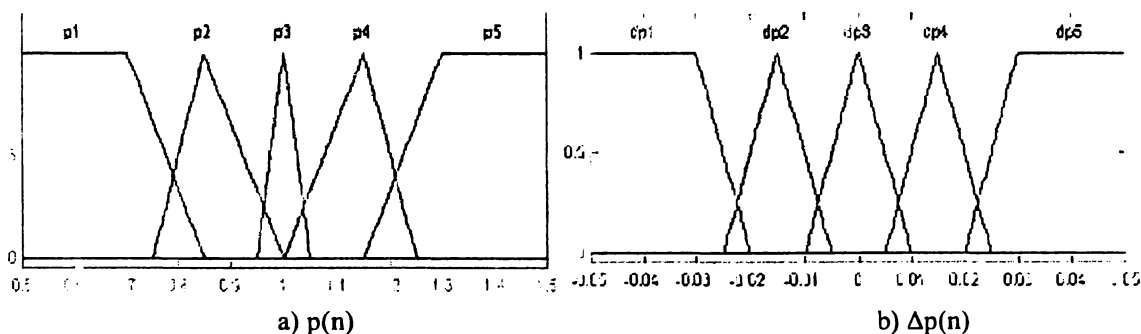


Fig. 4.2.1.3 Funcțiile de apartenență pentru valoare relativă a criteriului de performanță  $p(n)$  și variație a valorii relative a criteriului de performanță  $\Delta p(n)$ , prezentate de autorul tezei în [45].

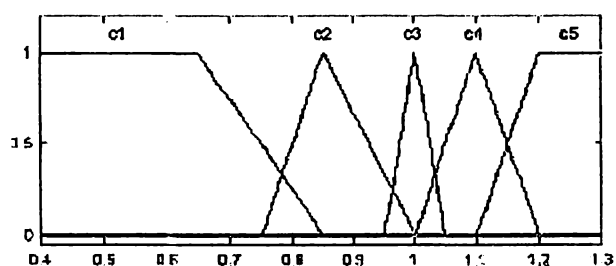


Fig. 4.2.1.4 Funcțiile de apartenență pentru variabila lingvistică "c", prezentate de autorul tezei în [45].

dp \ p	p1 (caz cel mai bun)	p2	p3	p4	p5 (caz cel mai rău)
dp1 (caz cel mai bun)	c5	c5	c4	c3	c2
dp2	c5	c4	c4	c2	c2
dp3	c4	c4	c3	c2	c1
dp4	c3	c2	c2	c2	c1
dp5 (caz cel mai rău)	c2	c2	c1	c1	c1

Tab.4.2.1.1 Baza de reguli a controlerului fuzzy, prezentată de autorul tezei în [45].

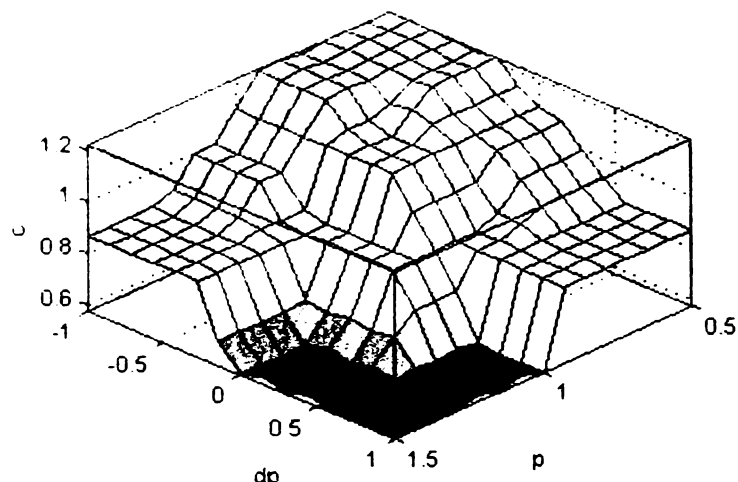


Fig. 4.2.1.5 Suprafața de reglare a controlerului fuzzy, cf. autorului tezei [13].

Odată definit controlerul fuzzy, va trebui scrisă o funcție de antrenament a rețelei neuronale denumită “*trainfuzzy*” care va realiza interfațarea algoritmului gradientului descendent cu algoritmul de reglare adaptivă a ratei de învățare. Totodată această funcție trebuie să respecte convențiile MATLAB, ea fiind practic o “metodă” specifică unui obiect de tip “net”. În ANEXA I este redat codul sursă al noii funcții de antrenament. Pentru evaluarea performanțelor algoritmului de antrenament descris anterior s-au considerat următoarele tipuri de probleme:

- **Problema sonarului, Mine versus Stânci;** Acest set de date a fost utilizat de către Gorman și Sejnowski [52] în studierea semnalelor emise de sonar, folosind rețele neuronale. Problema constă în discriminarea între ecoul emis de către cilindri de metal și ecoul emis de către stânci. Setul de date este în formatul standard CMU (Carnegie Mellon University) [53], și este intens folosit în literatura de specialitate pentru compararea performanțelor algoritmilor de antrenament ai RNA. Există 104 tipare de antrenament și 104 tipare de test formate din vectori de intrare continuali 60 – dimensionali și vectori de ieșire unidimensionali de tip enumerativ.

- **Problema aproximării unei funcții;** Reprezintă un test des utilizat în compararea performanțelor RNA [54] și își propune construirea unei rețele care să aproximeze funcția:

$$f(x) = 0,2 + 0,8 \cdot (x + 0,7 \cdot \sin(2 \cdot \pi \cdot x))$$

presupunând  $0 \leq x \leq 1$ . Datele de antrenament sunt luate cu un pas de 0,1 deci există 11 puncte de antrenament. Se utilizează 101 date de test, considerate deci în intervale de 0,01. Datele de test vor fi folosite la verificarea capacității de interpolare a RNA.

- **Problema recunoașterii tiparelor;** Problema constă în recunoașterea a 100 de imagini faciale (10 subiecți x 10 imagini/persoană). Setul de date este împărțit în 50 de imagini de antrenament și 50 de imagini de test alese din baza de date AT&T (fosta ORL) [55]. Imaginile sunt în format 56x46 pixeli deci dimensiunea RNA-MLP va fi: 2576 neuroni în stratul de intrare, 50 neuroni ascunși și 10 neuroni de ieșire

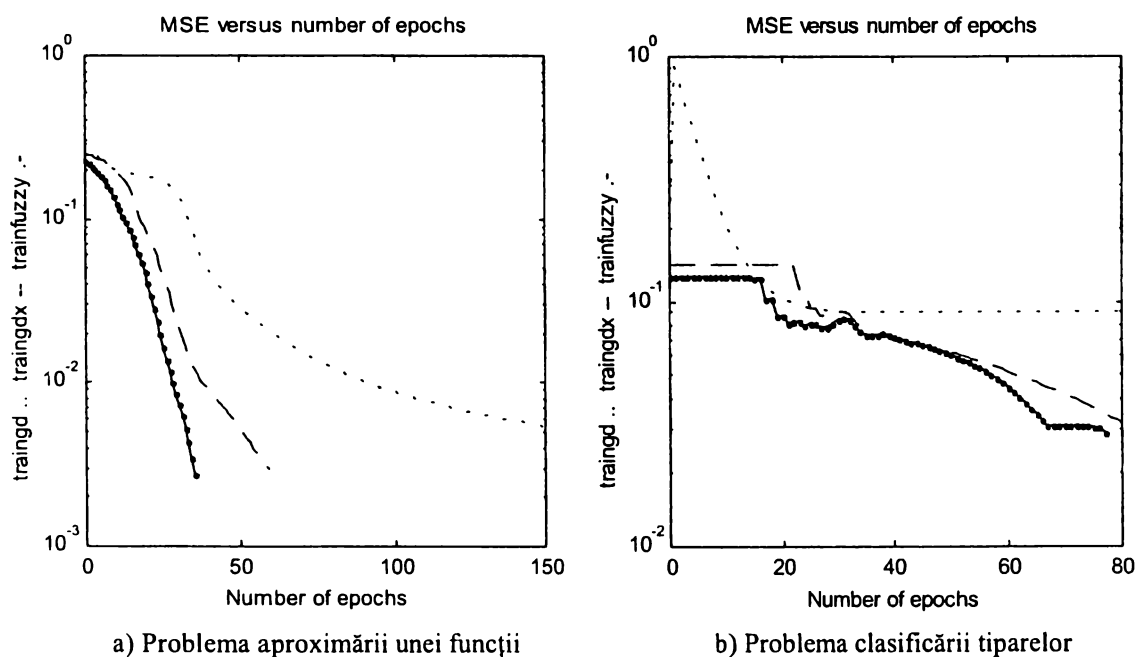


Fig. 4.2.1.6 Rezultate experimentale obținute de către autorul tezei [44].

Evoluția erorii medii pătratice de-a lungul epocilor de antrenament indică drept cea mai bună metodă funcția de antrenament trainfuzzy, atât pentru cazul aproximării funcțiilor cât și pentru cazul recunoașterii tiparelor



**- 34 - Propuneri privind algoritmi rapizi de antrenament pentru RNA feedforward**

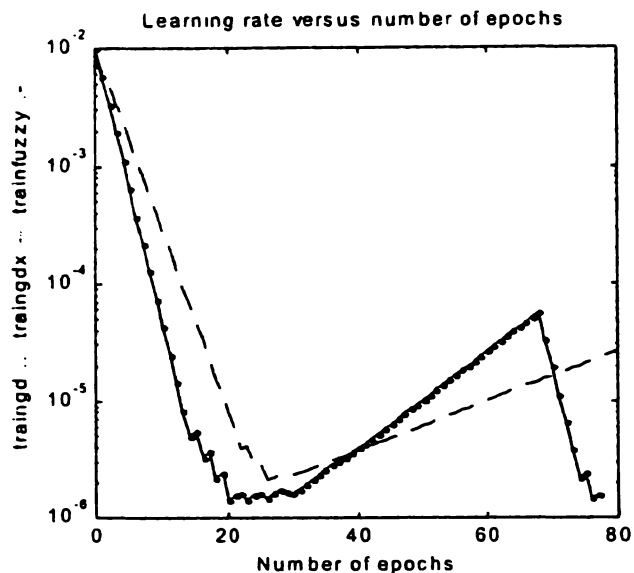


Fig. 4.2.1.7 Variația ratei de învățare în cazul metodei fuzzy este mai rapidă decât versiunea clasică, ceea ce justifică și performanțele mai bune ale funcției “trainfuzzy” față de “traingdx”, cf. autorului tezei [44].

Metodă de antrenament	# unități ascunse	# iterații	Timp de antrenament [s]	Rată de antrenament inițială	Eroare set antrenament [%]	Eroare set test [%]
<i>Problema sonarului ( Mines versus Rocks)</i>						
Trainlm	20	-	-	0.01	-	-
Traingdm	20	800	29.34	0.01 constant	11.5385	16.3462
Traingdx	20	800	27.85	0.01	2.8846	11.5385
Trainfuzzy	20	800	26.61	0.01	0.9615	5.6732
<i>Aproximarea unei funcții</i>						
Trainlm	9	12	1.26	0.65	2.2501	1.4703
Traingdm	9	150	18.89	0.65 constant	3.5603	2.3570
Traingdx	9	59	5.50	0.65	2.7846	0.9310
Trainfuzzy	9	34	3.91	0.65	2.4817	0.0091
<i>Problema recunoașterii tiparelor faciale</i>						
Trainlm	50	80	-	0.01	-	-
Traingdm	50	80	105.73	0.01 constant	90	90
Traingdx	50	80	90.63	0.01	4	10
Trainfuzzy	50	76	84.53	0.01	2	4

Tab.4.2.1.2 Rezultate comparative asupra a 3 tipuri de probleme: problema sonarului, aproximarea funcțiilor și recunoaștere facială, cf. autorului tezei [44], [45]

trainlm = Metoda Levenberg-Marquardt;

traingdm = Metoda gradient descendent cu moment;

traingdx = Metoda cu rata de învățare variabilă (versiunea clasică);

trainfuzzy = Metoda cu rata de învățare variabilă (versiunea fuzzy)

Rezultatele experimentale (tab.4.2.1.2, fig.4.2.1.6, fig. 4.2.1.7) indică faptul că această metodă oferă un raport foarte bun *complexitate algoritm / viteză de convergență*, fiind deosebit de util atunci când RNA primește la intrare *vectori de dimensiuni mari* ( $nx10^2 \dots nx10^3$ ), adică tocmai cazul întâlnit în recunoașterea facială.

Sursele MATLAB aferente realizării acestor experimente se regăsesc în ANEXA 2.

#### **4.2.2 Accelerarea vitezei de convergență pentru algoritmi bazați pe metoda gradientului conjugat**

Metodele bazate pe direcția conjugată se înscriu în metodologia generală a strategiei de optimizare prezentată anterior, dar direcția de căutare și pasul sunt modificate ținând cont de aproximația de ordinul II:

$$E(\mathbf{w} + \mathbf{y}) = E(\mathbf{w}) + E(\mathbf{w})^T \mathbf{y} + \frac{1}{2} \mathbf{y}^T E''(\mathbf{w}) \mathbf{y} \quad (4.2.2.1)$$

Pentru determinarea minimumului funcției de cost, se anulează derivata ecuației precedente și se obține:

$$E'_{q\mathbf{w}}(\mathbf{y}) = E''(\mathbf{w})\mathbf{y} + E'(\mathbf{w}) = 0 \quad (4.2.2.2)$$

Fie  $\mathbf{p}_1, \dots, \mathbf{p}_k$  o mulțime de vectori pondere în spațiul  $R^N$ . Mulțimea reprezintă un *sistem conjugat* în raport cu matricea nesingulară  $N \times N$ ,  $A$ , dacă, cf. Hestenes [56]:

$$\mathbf{p}_i^T A \mathbf{p}_j = 0 \quad (i \neq j, i = 1, \dots, k) \quad (4.2.2.3)$$

Dacă există un astfel de sistem conjugat, Johansson, Dowla și Goodman [57] arată că:

$$\mathbf{y}_* - \mathbf{y}_1 = \sum_{i=1}^N \alpha_i \mathbf{p}_i \quad (4.2.2.4)$$

în care  $\mathbf{y}_1$  reprezintă punctul de start și  $\mathbf{y}_*$  punctul critic.

Înmulțind ec. (4.2.2.4) cu  $\mathbf{p}_j^T E''(\mathbf{w})$  se obține:

$$\begin{aligned} \mathbf{p}_j^T (-E'(\mathbf{w}) - E''(\mathbf{w})\mathbf{y}_1) &= \alpha_j \mathbf{p}_j^T E''(\mathbf{w}) \mathbf{p}_j \\ \Rightarrow \alpha_j &= \mathbf{p}_j^T (-E'(\mathbf{w}) - E''(\mathbf{w})\mathbf{y}_1) / \mathbf{p}_j^T E''(\mathbf{w}) \mathbf{p}_j = -\mathbf{p}_j^T E'_{q\mathbf{w}}(\mathbf{y}_1) / \mathbf{p}_j^T E''(\mathbf{w}) \mathbf{p}_j \quad (4.2.2.5) \end{aligned}$$

### - 36 - Propuneri privind algoritmi rapizi de antrenament pentru RNA feedforward

Punctul critic  $y_*$  poate fi determinat în  $N$  pași iterativi folosind ecuațiile (4.2.2.4), (4.2.2.5).

**Observație:**  $y_*$  nu este neapărat un minim (cu excepția cazului când hessianul  $E''(w)$  este pozitiv definit).

Punctele intermediare  $y_{k+1} = y_k + \alpha_k p_k$  generate pentru determinarea iterativă a lui  $y_*$  reprezintă minime ale  $E_{q_w}(y)$  restricționate la planul  $\pi_k: y = y_1 + \alpha_1 p_1 + \dots + \alpha_k p_k$ . Cum se determină aceste puncte recursiv se arată în următoarea teoremă (Hestenes [56]):

**TEOREMA 1.** Fie  $p_1, \dots, p_N$  un sistem conjugat și  $y_1$  un punct în spațiul ponderilor. Fie punctele  $y_2, \dots, y_{N+1}$  definite recursiv de:

$$y_{k+1} = y_k + \alpha_k p_k$$

în care  $\alpha_k = \mu_k / \delta_k$ ,  $\mu_k = -p_k^T E'_{q_w}(y_k)$ ,  $\delta_k = p_k^T E''(w) p_k$

În acest caz  $y_{k+1}$  minimizează  $E_{q_w}$  în planul  $\pi_k$ .

Algoritmul direcției conjugate presupune existența unui sistem conjugat. Dar, în realitate nu este necesară cunoașterea apriorică a vectorilor  $p_1, \dots, p_N$  pentru că ei pot fi determinați recursiv, cf. (Hestenes [56]):

**TEOREMA 2.** Fie  $y_1$  un punct în spațiul ponderilor și  $p_1$  și  $r_1$  egali cu valoarea gradientului descendent  $-E'_{q_w}(y_1)$ . Se definește  $p_{k+1}$  recursiv prin:

$$p_{k+1} = r_{k+1} + \beta_k p_k$$

în care  $r_{k+1} = E'_{q_w}(y_{k+1})$ ,  $\beta_k = (|r_{k+1}|^2) - r_{k+1}^T r_k / p_k^T r_k$  și  $y_{k+1}$  reprezintă punctul dat de **TEOREMA 1**. Atunci  $p_{k+1}$  reprezintă vectorul descendent pentru  $E_{q_w}$  în planul  $\pi_{N-k}$ .

În aceste condiții se poate trece la prezentarea algoritmului gradient conjugat standard:

1. Se alege vectorul pondere inițial  $w_1$ .

$$p_1 = r_1 = -E'(w_1), k = 1.$$

2. Se calculează informația de ordinul II:

$$s_k = E''(\mathbf{w})\mathbf{p}_k$$

$$\delta_k = \mathbf{p}_k^T s_k$$

3. Se calculează mărimea pasului de căutare:

$$\mu_k = \mathbf{p}_k^T \mathbf{r}_k$$

$$\alpha_k = \mu_k / \delta_k$$

4. Modificarea vectorului pondere:

$$\mathbf{w}_{k+1} = \mathbf{w}_k + \alpha_k \mathbf{p}_k$$

$$\mathbf{r}_{k+1} = E'_{q\mathbf{w}}(\mathbf{w}_{k+1})$$

5. Dacă  $k \bmod N = 0$  repornește algoritmul:  $\mathbf{p}_{k+1} = \mathbf{r}_{k+1}$

Altfel creează o nouă direcție conjugată:

$$\beta_k = (|\mathbf{r}_{k+1}|^2 - \mathbf{r}_{k+1}^T \mathbf{r}_k) / \mu_k$$

$$\mathbf{p}_{k+1} = \mathbf{r}_{k+1} + \beta_k \mathbf{p}_k$$

6. Dacă direcția descendentă  $\mathbf{r}_k \neq \mathbf{0}$  atunci  $k = k + 1$  și salt la 2.

Altfel, algoritmul terminat, și întoarce  $\mathbf{w}_{k+1}$  ca minimum dorit.

Deoarece hessianul  $E''(\mathbf{w}_k)$  care trebuie calculat la fiecare iterație e dificil de obținut și implică cerințe mari de memorie și putere de calcul se preferă determinarea  $\alpha_k$  ca fiind minimumul lui  $E$  de-alungul liniei  $\mathbf{w}_k + \alpha_k \mathbf{p}_k$  ("line search").

Este însă posibil să fie folosit, în estimarea pasului de căutare, și alt principiu, diferit de cel al căutării după o linie ("line search"). Acesta se bazează pe aproximarea (Hestenes [56]):

$$s_k = E''(\mathbf{w}_k)\mathbf{p}_k \approx \frac{E'(\mathbf{w}_k + \sigma_k \mathbf{p}_k) - E'(\mathbf{w}_k)}{\sigma_k}, \quad 0 < \sigma_k \ll 1 \quad (4.2.2.6)$$

În practică însă nici această metodă nu oferă rezultate satisfăcătoare, aproximația pătratică (4.2.2.1) nefiind suficient de precisă.

Aceste dezavantaje sunt surmontate de către **algoritmul folosit în cadrul acestei lucrări pentru cazul în care vectorii de intrare ai RNA au dimensiuni mici și medii (<10<sup>2</sup> componente)**, și anume algoritmul **gradientului conjugat scalat modificat**. Acesta folosește o formă ușor modificată a (4.2.2.6) și anume cea de la

(4.2.2.7), și elimină nedeterminările hessianului funcției  $E$  în anumite puncte ale spațiului ponderilor:

$$s_k = \frac{E'(w_k + \sigma_k p_k) - E'(w_k)}{\sigma_k} + \lambda_k p_k \quad (4.2.2.7)$$

în care  $\lambda_k$  este modificat la fiecare iterație în funcție de semnul lui  $\delta_k$  care informează dacă hessianul nu este pozitiv definit, adică aproximarea (4.2.2.1) nu e precisă.

Având în vedere aceste modificări, algoritmul gradientului conjugat scalat modificat arată în următorul mod:

1. Se alege vectorul pondere inițial  $w_1$  și mărimile scalare:

$$0 < \sigma < 10^{-4}, 0 < \lambda_1 < 10^{-6}, \bar{\lambda}_1 = 0$$

$$p_1 = r_1 = -E'(w_1), k = 1, \text{SUCCES} = \text{ADEVARAT}$$

2. Dacă SUCCES = ADEVARAT, se calculează informația de ordinul 2:

$$\sigma_k = \sigma / |p_k|$$

$$s_k = \frac{E'(w_k + \sigma_k p_k) - E'(w_k)}{\sigma_k}$$

$$\delta_k = p_k^T s_k$$

3. Se scalează  $\delta_k$ :  $\delta_k = \delta_k + (\lambda_k - \bar{\lambda}_k) |p_k|^2$

4. Dacă  $\delta_k < 0$  atunci hessianul va fi făcut pozitiv definit:

$$\bar{\lambda}_k = 2(\lambda_k - \delta_k / |p_k|^2)$$

$$\delta_k = -\delta_k + \lambda_k |p_k|^2$$

$$\lambda_k = \bar{\lambda}_k$$

5. Se calculează mărimea pasului de căutare:

$$\mu_k = p_k^T r_k$$

$$\alpha_k = \mu_k / \delta_k$$

6. Calcularea parametrului de comparație:

$$\Delta_k = 2\delta_k [E(w_k) - E(w_k + \alpha_k p_k)] / \mu_k^2$$

7. Dacă  $\Delta_k \geq 0$ :

$$\mathbf{w}_{k+1} = \mathbf{w}_k + \alpha_k \mathbf{p}_k$$

$$\mathbf{r}_{k+1} = E'_{qw}(\mathbf{w}_{k+1})$$

$$\bar{\lambda}_k = 0, \text{ SUCCES} = \text{ADEVĂRAT}$$

Dacă  $k \bmod N = 0$  repornește algoritmul:

$$\mathbf{p}_{k+1} = \mathbf{r}_{k+1}$$

Altfel:

$$\beta_k = (|\mathbf{r}_{k+1}|^2 - \mathbf{r}_{k+1}^T \mathbf{r}_k) / \mu_k$$

$$\mathbf{p}_{k+1} = \mathbf{r}_{k+1} + \beta_k \mathbf{p}_k$$

Dacă  $\Delta_k \geq 0.75$  se reduce parametrul de scalare:

$$\lambda_k = (1/4)\lambda_k$$

Altfel:

$$\bar{\lambda}_k = \lambda_k$$

SUCCES = FALS

8. Dacă  $\Delta_k < 0.25$  se mărește parametrul de scalare:

$$\lambda_k = \lambda_k + (\delta_k(1 - \Delta_k) / |\mathbf{p}_k|^2)$$

9. Dacă direcția descendentă  $\mathbf{r}_k \neq \mathbf{0}$  atunci  $k = k + 1$  și salt la 2.

Altfel, algoritmul terminat, și întoarce  $\mathbf{w}_{k+1}$  ca minimum dorit.

Algoritmul de mai sus a fost implementat în mediul MATLAB 5.3, Neural Networks Toolbox v.3.0.1 sub forma funcției de antrenament “trainscg”.

### 4.3 Concluzii

În cadrul acestui capitol au fost analizate probleme de neurodinamică. O importanță deosebită a fost acordată algoritmilor de antrenament pentru RNA feedforward bazați pe corecția erorii.

Autorul tezei a analizat performanțele acestora oferind și soluții de rezolvare pentru problemele specifice ce apar în abordarea cu RNA a aplicațiilor gen recunoaștere

facială [44], [45], [58]. Principalele concluzii sunt enunțate în cele ce urmează.

Algoritmii tip gradient descendent au o serie de dezavantaje (viteză de convergență redusă, parametri a căror valoare optimă nu poate fi specificată apriori etc.) care îi fac inutilizabili în aplicații ca recunoașterea facială. În concluzie, trebuie utilizați algoritmi mai sofisticăți, ca și cei enumerați în continuare, care să permită manipularea corespunzătoare a unui volum ridicat de date.

Algoritmii de tip Newton, incluzând aici și metoda Levenberg-Marquardt [59], prezintă dezavantajul complexității extrem de ridicate a calculelor ce trebuie efectuate la fiecare iterație: calculul derivatelor parțiale de ordinul I și II pentru funcția de cost și o inversă a hessianului acesteia. Mai mult, în abordarea Newton, este posibil ca această inversă să nu existe. Aceste afirmații pot fi susținute și pe baza rezultatelor din tab.4.2.1.2, în care funcția de antrenament “trainlm”, ce implementează metoda Levenberg-Marquardt, nu a reușit să rezolve problemele ce presupuneau vectori de intrare cu dimensionalitate medie și mare.

Algoritmii de tip cvasi-Newton (BFGS, Broyden-Fletcher-Goldfarb-Shanno) [60] și cei bazați pe metoda gradientului conjugat (Polak-Ribiere, Fletcher-Reeves) [61] deși au cernițe ceva mai reduse în ceea ce privește puterea de calcul față de clasa de metode referită anterior, sunt bazați pe principiul căutării după o direcție. Aceasta înseamnă că trebuie calculată, pentru fiecare iterație, o funcție eroare globală care să conducă la o mărime corespunzătoare a pasului de căutare.

Experimentele, prezentate detaliat în subcapitolul 4.2, au confirmat drept cele mai potrivite metode de antrenament:

- a) pentru cazul în care nu sunt extrase trăsături, deci vectori de intrare de mari dimensiuni, funcția de antrenament “trainfuzzy” (vezi paragraful 4.2.1 referitor la accelerarea vitezei de convergență a algoritmului BP prin reglarea fuzzy a ratei de învățare);
- b) pentru cazul în care datele de intrare sunt preprocesate, funcția “trainscg” (vezi paragraful 4.2.2 privind accelerarea vitezei de convergență pentru algoritmi bazați pe metoda gradientului conjugat) care implementează metoda gradientului conjugat scalat.

# CAPITOLUL 5

## Metode folosite în recunoașterea facială

Prezentul capitol este dedicat metodelor folosite în tehnica recunoașterii faciale.

Se începe, în subcapitolul 5.1, prin prezentarea modului biologic de procesare a informației vizuale, aspect deosebit de important având în vedere capacitatea sistemului vizual uman de a recunoaște mii de obiecte și, în particular, fețe.

Subcapitolul 5.2 prezintă metode de recunoaștere facială clasice (convenționale, bazate pe statistica tiparelor) iar subcapitolul 5.3 este dedicat metodelor de recunoaștere facială bazate pe rețele neuronale.

Sunt subliniate avantajele și dezavantajele acestor metode; pe baza acestor observații sunt desprinse concluzii (subcapitolul 5.4) referitoare la arhitectura optimă a unui sistem pentru recunoaștere facială.

### 5.1 Procesarea biologică a informației vizuale

Studiul modului de procesare al informației vizuale reprezintă un aspect important al succesului oricărei aplicații care își propune să rezolve problema recunoașterii faciale. Este cunoscută *abilitatea deosebită* a sistemului vizual uman de a recunoaște obiecte, în particular fețe, în condiții dintre cele mai diverse în ceea ce privește nivelul iluminării sau poziția obiectelor în scenă.

Diversele structuri, cf. Gupta și Knopf [62], ce se găsesc de-a lungul căii vizuale sunt prezentate în fig. 5.1.1.

- **Retina.** Lumina reflectată de diversele obiecte este focalizată pe un strat de celule fotoreceptoare. Receptorii retinieni includ aproximativ 120 de milioane de celule cu bastonașe și 6 milioane de celule cu conuri. Conurile sunt sensibile la lumina puternică, iar bastonașele la lumina slabă. De aceea, celulele cu bastonașe servesc vederii nocturne, iar cele cu conuri vederii diurne, color. O densitate mare a celulelor cu conuri



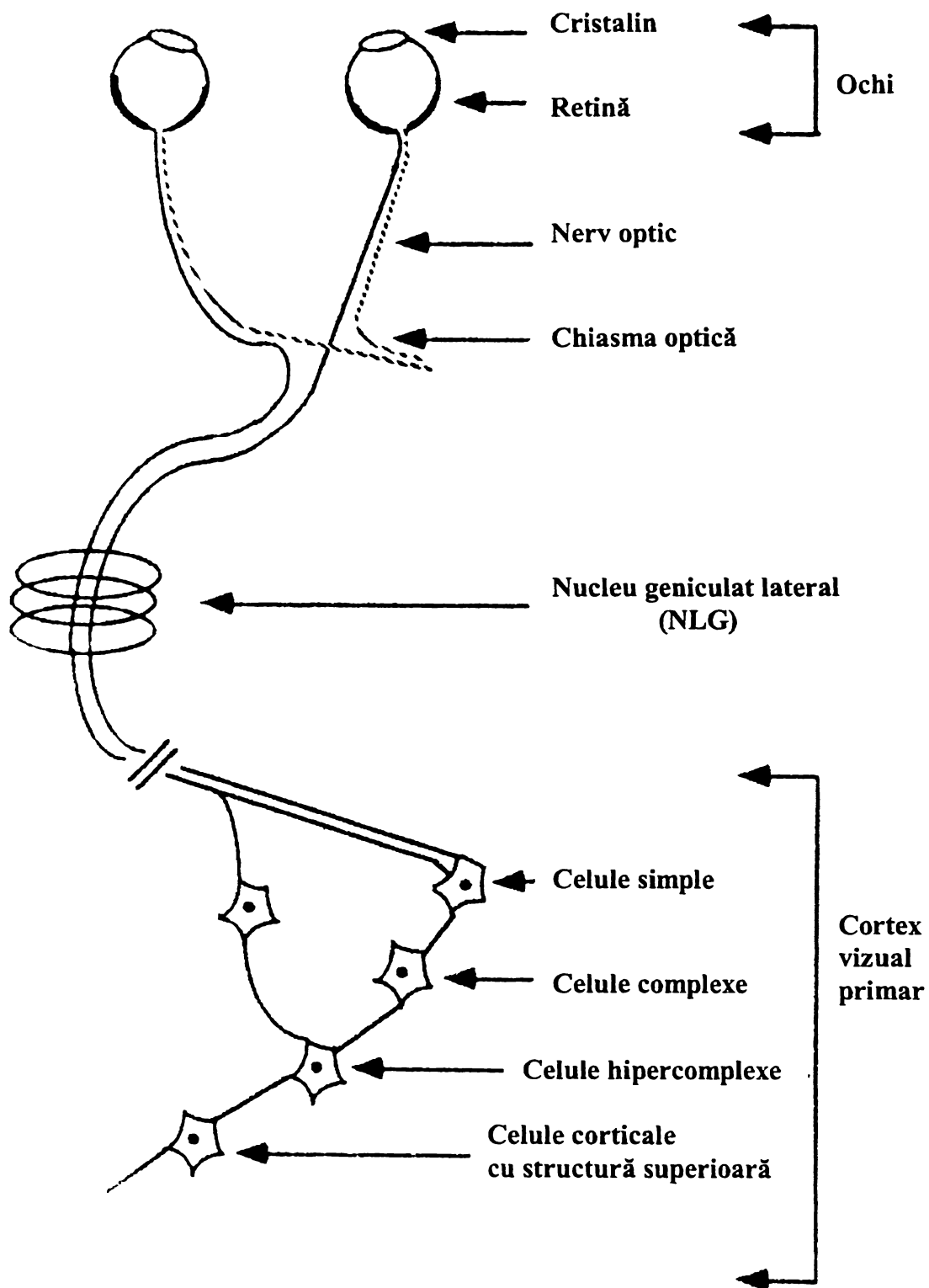


Fig.5.1.1 Structura căii vizuale biologice, prezentată de autorul tezei în [29].

este întâlnită în partea centrală a retinei, numită fovee, iar bastonașele domină regiunea periferică a retinei.

În termeni de procesare a informației, fotoreceptorii din retină se comportă ca niște **traductori** care convertesc energia luminoasă într-un semnal electric echivalent. Aceste semnale sunt mai apoi convertite într-un **tren de potențiale** de acțiune de către celulele ganglionare, aceste potențiale fiind transmise nervului optic. Deci celulele ganglionare funcționează ca un **codor** pentru transmiterea semnalelor vizuale de-a lungul unei linii de comunicație numită nerv optic. Deși există aproximativ 126 de milioane de fotoreceptori în retină, numărul axonilor ce pleacă din ganglioni și transmit toată informația vizuală cortexului, nu depășește 1 milion. În concluzie, retina efectuează o procesare de nivel scăzut a semnalului și o **compresie cu rata 126:1** a informației vizuale.

- **Nucleul lateral geniculat (NLG).** Înainte ca informația de la retină să ajungă la cortexul vizual primar, axonii celulelor ganglionare se împart în două grupuri. Jumătate din fibre, provenind din câmpul vizual stâng, trec printr-un NLG, iar cealaltă jumătate, provenind din câmpul vizual drept, prin cel de al-II-lea NLG.

Rolul NLG în procesarea informației vizuale nu este pe deplin elucidat; se pare că au un comportament asemănător cu cel al unei **stații releu** pentru redirectionarea informației în diferite părți ale cortexului. Unii cercetători presupun că celulele NLG sunt intens folosite în vederea color.

- **Cortexul vizual primar.** Semnalele transmise de NLG ajung în cortexul vizual primar (denumit și cortex vizual striat) situat în partea din spate a creierului (lobul occipital). Morfologia neuronală a acestuia se constituie sub forma unor structuri în formă de coloane, numite hipercoloane. Astfel cortexul poate fi modelat printr-o matrice 3D.

Aceste coloane neuronale validează anumiți neuroni pentru a răspunde selectiv la orientări specifice, mișcări și direcții de mișcare a stimulilor vizuali. Neuronii fiecărei coloane sunt interconectați cu neuronii altor coloane, ca și cu alte părți din creier.

Sunt întâlnite trei tipuri de celule nervoase selective la orientare. Primul tip de neuron, denumit **celulă corticală simplă**, răspunde cel mai bine la bare de lumină proiectate pe suprafața retiniană. Al II-lea tip, numit **celulă corticală complexă** are cel mai puternic răspuns la bare orientate de lumină care se mișcă în întreg câmpul receptiv. Al III-lea tip de celule, **celulele corticale hipercomplexe**, răspund la stimuli vizuali constituiți din linii sau unghiuri mișcătoare de lungime specificată. Lungimea stimulilor nu are nici un efect asupra răspunsului celulelor complexe, dar are efect direct asupra celor hipercomplexe, astfel încât dacă stimulul este prea lung (sau prea scurt) celula nervoasă nu va fi activată.

- **Regiuni corticale înalte.** Informația vizuală din cortexul primar trece prin aproximativ 20 de structuri paralele (arii vizuale) ce se găsesc în creier. Unii neurofiziologi susțin că există două magistrale informaționale care diverg din cortexul vizual primar. O cale transferă informația spre ariile temporale inferioare ale creierului. Se presupune că aceste regiuni sunt responsabile pentru **analiza de culoare și formă**, necesară recunoașterii obiectelor din câmpul vizual. O a II-a cale transferă informația către ariile parietale inferioare, responsabile de **analiza relațiilor spațiale** dintre obiecte și de modul în care mișcarea obiectelor schimbă aceste relații. Mai mult, există căi spre lobii temporali și frontali validând asocierea informației vizuale cu informația provenită de la alte simțuri: auditiv, olfactiv, tactil.

La nivelurile cele mai avansate ale căii vizuale se pare că există neuroni corticali de nivel foarte înalt care se activează numai la stimuli foarte specifici. De exemplu, un anume neuron (**grandmother cell**) va răspunde pozitiv la o anumită imagine facială. Aceste celule par a fi situate la cel mai înalt nivel al rețelei neuronale, ele fiind probabil o parte dintr-o structură de calcul care răspunde, colectiv, de o anumite entitate.

## 5.2 Metode convenționale folosite în recunoașterea facială

### 5.2.1 Metode bazate pe trăsături geometrice

Una din primele metode folosite pentru recunoașterea facială a fost propusă de Kanade [63]. Aceasta presupunea extragerea unui set de trăsături faciale, calcularea unui vector cu 16 dimensiuni pe baza unor rapoarte de distanțe (și arii) aferente trăsăturilor faciale și compararea a două fețe pe baza unei sume de distanțe. Pentru o bază de date conținând 20 de imagini faciale, Kanade a obținut o rată de recunoaștere între 45% și 75%, folosind un algoritm de extragere automată a trăsăturilor faciale.

Brunelli și Poggio [64] compară metodele bazate pe trăsături geometrice cu cele bazate pe șabloane. Etapele pe care autorii le propun, în cazul primei metode, sunt:

#### a) Normalizarea

Este efectuată în scopul obținerii unei invarianțe la poziția, scara sau rotația feței în planul imaginii. Dependența de translație poate fi eliminată odată ce originea coordonatelor este aleasă într-un punct care poate fi detectat cu o precizie bună în fiecare imagine.

Normalizarea presupune calcularea unui coeficient de intercorelație:

$$C_N(y) = \frac{\langle I_T T \rangle - \langle I_T \rangle \langle T \rangle}{\sigma(I_T) \sigma(T)} \quad (5.2.1.1)$$

în care  $I_T$  este o fereastră a imaginii  $I$  care trebuie comparată cu șablonul ("template")  $T$ ,  $\langle \rangle$  reprezintă operatorul medie,  $I_T T$  înseamnă produsul pixel cu pixel, iar  $\sigma$  este deviația standard pentru ariile care sunt comparate.

#### b) Extragerea trăsăturilor

În acest scop este calculată proiecția integrală a imaginii  $I(x, y)$ , în dreptunghiul de coordonate  $[x_1, x_2] \times [y_1, y_2]$ :

$$\begin{cases} V(x) = \sum_{y=y_1}^{y_2} I(x, y) \\ H(y) = \sum_{x=x_1}^{x_2} I(x, y) \end{cases} \quad (5.2.1.2)$$

în care  $V(x)$  și  $H(y)$  reprezintă proiecția integrală verticală, respectiv orizontală. Proiecțiile astfel obținute sunt extrem de eficiente în determinarea poziției trăsăturilor.

Cele 35 de trăsături geometrice extrase automat și folosite ulterior în procesul de recunoaștere sunt următoarele:

- grosimea sprâncenelor și poziția lor verticală față de centrul ochilor;
- o descriere grosieră (1 l coeficienți) a arcadei;
- poziția verticală a nasului precum și lățimea sa;
- poziția orizontală a gurii, lățimea sa, înălțimea buzelor;
- 1 l raze care descriu forma bărbiei;
- lățimea bigonială (lățimea feței măsurată la nivelul nasului);
- lățimea zigomatică (lățimea feței măsurată la jumătatea distanței dintre vârful nasului și ochi).

c) *Recunoașterea*

Este efectuată prin intermediul unui clasificator Bayes. Se presupune că vectorii de trăsături, pentru o singură persoană, sunt distribuiți gaussian. Persoane diferite sunt caracterizate doar de valoarea medie, în timp ce distribuția este comună. Acest lucru permite estimarea formei distribuției, adică a matricii de covarianță  $\Sigma$ :

$$\Sigma = \frac{1}{N} \sum_{i=1}^N \Sigma_i \quad (5.2.1.3)$$

în care  $\Sigma_i$  reprezintă estimarea matricii de covarianță obținută din datele pentru persoana "i". În consecință, probabilitatea unei măsurători poate fi asociată cu distanța:

$$\Delta_j(x) = (x - m_j)^T \Sigma^{-1} (x - m_j) \quad (5.2.1.4)$$

unde  $m_j$  este vectorul median care reprezintă persoana "j". Un vector necunoscut va fi asociat cu cel mai apropiat vecin din baza de date.

Este raportată o rată de recunoaștere de 90% pentru o bază de date ce cuprinde

47 de persoane.

Cox și colectivul [65] introduc *tehnica distanței combinate*. Aceasta constă în extragerea unui vector 30-dimensional obținut prin localizarea *manuală* a 35 de puncte de interes și măsurarea anumitor distanțe.

Presupunând că un model combinat n-dimensional  $M$  modelează elementele bazei de date  $Y=\{y_i\}$  iar  $q$  reprezintă un vector care trebuie asociat unui  $y_i$ , se poate scrie:

$$\begin{aligned}
 P_r(q | y, M) &= \frac{1}{P_r(y | M)} P_r(qy | M) = \frac{1}{P_r(y | M)} \sum_{k=1}^n P_r(qy | M_k) P_r(M_k) = \\
 &= \frac{1}{P_r(y | M)} \sum_{k=1}^n P_r(q | y, M_k) P_r(y | M_k) P_r(M_k) = \\
 &= \frac{1}{P_r(y | M)} \sum_{k=1}^n P_r(q - y | \bar{M}_k) P_r(y | M_k) P_r(M_k) = \\
 &= \sum_{k=1}^n P_r(q - y | \bar{M}_k) P_r(M_k | y) \tag{5.2.1.5}
 \end{aligned}$$

în care  $P_r(q | y, M_k) = P_r(q - y | \bar{M}_k)$  și  $P_r(M_k | y) = \frac{P_r(y | M_k) P_r(M_k)}{\sum_{i=1}^n P_r(y | M_i) P_r(M_i)}$

În cazul în care se folosește un singur element combinat,  $n = 1$ , distanța combinată se reduce la distanța Mahalanobis de la  $q$  la prototipul  $\mu$ .

Folosind această metodă s-a obținut o rată de recunoaștere de 95% în condițiile în care au existat 95 de imagini de test și un total de 685 imagini.

#### Observatii:

*Metodele prezentate presupun o măsurare exactă a distanțelor aferente trăsăturilor și prezintă rezultate bune doar în condițiile unor baze de date largi, care conțin imagini la care perspectiva și iluminarea sunt relativ constante, de exemplu bazele de date ale poliției.*

*Performanțele unui astfel de sistem sunt strâns legate de acelea ale algoritmului care localizează trăsăturile. Algoritmii actuali de localizare automată a punctelor de interes nu furnizează un grad înalt de precizie și au cerințe mari în ceea ce privește*

*capacitatea de calcul* (Sutherland și colectiv [66]). *De asemenea astfel de sisteme nu sunt suficient de robuste în privința schimbărilor expresiei faciale.*

### 5.2.2 Metode bazate pe analiza componentelor principale

Prezentată pentru prima dată de către Turk și Petland [67], metoda fețelor proprii (“eigenfaces”) reprezintă un punct de referință pentru diversele abordări ulterioare.

Trăsăturile extrase, denumite fețe proprii, reprezintă un set de vectori bază ortonormali, calculați dintr-o anumită colecție de imagini faciale. Acești vectori reprezintă o bază de dimensiune redusă pentru reprezentarea imaginilor faciale și sunt optimi în sensul erorii pătratice medii [67].

Notând mulțimea de  $N$  imagini de antrenament prin  $\{z_1, z_2, \dots, z_N\}$ , se aplică analiza componentelor principale (PCA, Principal Component Analysis) în scopul

găsirii a  $N$  vectori proprii ai matricii de covarianță  $\frac{1}{N} \sum_{n=1}^N (z_n - \bar{z})(z_n - \bar{z})^T$  în care

$\bar{z} = \frac{1}{N} \sum_{n=1}^N z_n$  reprezintă media ansamblului de imagini. Sunt calculate valorile proprii

ale matricii de covarianță.

Fie  $\Phi_k$  vectorul propriu corespunzător celei de a “k”-a valoare proprie. Primii  $N'$  ( $\leq N$ ) vectori ortonormali  $\Phi_1, \dots, \Phi_{N'}$  formează o bază în spațiul fețelor proprii. În [67] se arată că  $N' = 40$  este suficient pentru a descrie  $N=115$  imagini faciale.

Clasificarea bazată pe fețe proprii este efectuată în două etape:

- a) **Extragerea trăsăturilor proprii.** Fiecare imagine de antrenament  $z_n$  este proiectată în spațiul fețelor proprii ca un punct  $x_n = \Phi^T (z_n - \bar{z})$  cu  $\Phi = [\Phi_1, \dots, \Phi_{N'}]$ , și este folosită ca un punct prototip. Fiind dată o imagine necunoscută  $z$ , se calculează pentru aceasta  $x = \Phi^T (z - \bar{z})$ .
- b) **Clasificarea bazată pe vectorii proprii de tip trăsătură.** Metoda de clasificare cea mai simplă este bazată pe distanța euclidiană  $d(x, x_n)$  folosind

criteriul vecinului cel mai apropiat. În [67] este folosit criteriul centrului cel mai apropiat, în care o clasă este reprezentată de către centrul tuturor  $x_n$  aparținători acelei clase, iar clasificarea se bazează pe distanța de la  $x$  la fiecare centru.

Turk și Petland prezintă rezultatele asupra unei baze de date constituită din 16 subiecți, la care variază orientarea capului, scara și condițiile de iluminare. Pentru variații ale iluminării, orientării și scării sistemul obține 96%, 85% respectiv 64% rata clasificărilor corecte.

În [68] Moghaddan și Petland prezintă rezultate foarte bune asupra bazei de date FERET, doar o singură greșeală făcută în clasificarea a 150 de imagini frontale. Sistemul folosește o preprocesare extensivă în scopul localizării capului, detecției trăsăturilor și normalizării imaginii.

În [69] Moghaddam, Wahid și Petland introduc noțiunea de măsură probabilistică a similarității, bazată pe probabilitatea ca diferența intensităților imaginilor,  $\Delta = I_1 - I_2$ , să fie caracteristică variațiilor tipice ale aceluiași obiect. De exemplu, pentru scopul recunoașterii faciale, se pot defini două clase pentru variațiile unei imagini faciale: **variații intrapersonale**  $\Omega_I$  (corespunzătoare, spre exemplu, diverselor expresii faciale ale aceluiași individ) și **variații extrapersonale**  $\Omega_E$  (corespunzătoare variațiilor dintre indivizi diferiți). Măsura similarității poate fi exprimată atunci, ca fiind:

$$S(I_1, I_2) = P(\Delta \in \Omega_I) = P(\Omega_I | \Delta) \quad (5.2.2.1)$$

în care  $P(\Omega_I | \Delta)$  reprezintă o probabilitate a posteriori dată de regula lui Bayes, folosind estimări ale  $P(\Delta | \Omega_I)$  și  $P(\Delta | \Omega_E)$ .

Sistemul realizat după principiile enunțate mai sus s-a dovedit a fi cel mai bun în competiția FERET.

Liu și Wechsler propun metoda proiecțiilor optime [70]. Tehnica OPA (Optimal Projection Axes) integrează PCA, albizarea și transformarea de rotație cu căutarea prin intermediul algoritmilor genetici. În primul rând PCA proiectează imaginile într-un spațiu cu mai puține dimensiuni, păstrând informația reprezentativă pentru imaginea



originală. Albizarea contrabalansează faptul că eroarea pătratică medie, aferentă PCA, acordă o pondere însemnată frecvențelor joase. Prin albizare, normele (distanțele) nu sunt conservate. Se pot aștepta astfel performanțe îmbunătățite de la o bază neortogonală. Urmează o rotație a vectorilor bază, ghidată de un algoritm evolutiv.

Pentru experimentare sunt folosite 1107 imagini faciale corespunzătoare la 369 subiecți din baza de date FERET. Autorii arată obținerea unor rezultate mai bune decât cele ale metodelor fețelor proprii sau MDF (Most Discriminant Features).

S.Z. Li și I. Lu prezintă în [71] o nouă metodă de clasificare denumită metoda celei mai apropiate linii de trăsături. Oricare două puncte în spațiul trăsăturilor sunt caracterizate de o dreaptă care trece prin ele. Trăsăturile sunt obținute prin metoda fețelor proprii. Clasificarea este bazată pe determinarea distanței minime de la punctul-trăsătură care necesită a fi clasificat la liniile de trăsături existente. Se raportează o performanță record asupra bazei de date ORL și anume o rată a erorii de 3.125%.

**Observații:**

*Rezumând chestiunile prezentate în cadrul acestui paragraf, se poate afirma că metoda fețelor principale reprezintă un algoritm simplu și rapid. Problema principală o reprezintă posibilele limitări ale aplicabilității acestui algoritm ca urmare a necesității existenței unui grad înalt de corelație între intensitățile pixelilor imaginilor de test și antrenament. Acest dezavantaj este de regulă surmontat prin preprocesarea extensivă în scopul normalizării imaginilor.*

### 5.2.3 Metode bazate pe compararea șabloanelor

Compararea șabloanelor (“template matching”) reprezintă o tehnică relativ simplă și presupune, în general, parcurgerea următorilor pași [64], [72]:

- **Normalizarea imaginii.** Se poate efectua, calculând  $I / \langle I \rangle$  adică raportul dintre valoarea locală a intensității și media intensităților unei vecinătăți. Alte modalități constau în calculul intensității gradientului imaginii ( $|\partial_x I| + |\partial_y I|$ ) sau a laplacianului intensității imaginii  $|\partial_{xx} I| + |\partial_{yy} I|$ .

- Fiecare persoană va fi reprezentată printr-o bază de date a cărei câmpuri constau din imaginea frontală și un set de regiuni dreptunghiulare care cuprind ochii, nasul, gura și o porțiune cuprinsă între arcade și bărbie (fig. 5.2.3.1)
- Faza de recunoaștere, presupune compararea șabloanelor aferente persoanei recunoscute cu cele existente în baza de date. Se va returna un vector ce indică “potrivirea” dintre șabloane prin intermediul matricii de corelație.



Fig. 5.2.3.1 Regiuni selectate pentru metoda comparării șabloanelor (ochii, nasul, gura și o porțiune cuprinsă între arcade și bărbie)

Brunelli și Poggio, comparând în [64] metodele bazate pe trăsături geometrice și cele bazate pe compararea șabloanelor, constată rezultate mai bune în al II-lea caz, dar “o generalizare a rezultatelor nu ar fi potrivită, pentru că acestea sunt, în mod clar, specifice tipului de problemă și de implementare abordat”.

**Observație:**

*Tehnica comparării șabloanelor poate fi folosită doar în cazul în care imaginile de test au aceeași scară, orientare și iluminare cu imaginile din setul de antrenament (cf. Cox și colectiv [65]).*

#### 5.2.4 Metode bazate pe compararea rețelelor elastice

Compararea rețelelor elastice (Elastic Graph Matching, EGM) introduce o reprezentare specifică a feței, prin aceea că fața este reprezentată printr-o mulțime de vectori trăsături poziționați în nodurile unei rețele dreptunghiulare care acoperă imaginea facială.

Ca și trăsături pot fi utilizate modulele răspunsurilor unor filtre Gabor pentru diverse orientări și rezoluții (S. Ben-Yacoub și colectiv [73]) sau valorile locale ale spectrului de putere (M. Lades și colectiv [74]).

Diferențele calitative care apar la două imagini faciale care trebuie comparate pot fi evaluate folosind următoarea distanță:

$$d(G, R) = \sum_{i=1}^{N_n} d_n(G_{ni}, R_{ni}) + \lambda \sum_{j=1}^{N_e} d_e(G_{ej}, R_{ej}) = \sum_{i=1}^{N_n} d_{ni} + \lambda \sum_{j=1}^{N_e} d_{ej} \quad (5.2.4.1)$$

unde  $G_{ni}$  reprezintă nodul "i" al rețelei  $G$ ,  $R_{ej}$  nodul "j" al rețelei  $R$ ;  $N_n$ ,  $N_e$  reprezintă numărul de noduri respectiv muchii iar  $\lambda$  un factor pondere. O rețea plastică, care nu opune rezistență la deformații se obține pentru  $\lambda = 0$ , în timp ce o rețea rigidă se obține pentru valori mari ale lui  $\lambda$ .

##### Observatii:

*Algoritmul EGM obține rezultate bune în cazul variațiilor poziției și expresiei feței.*

*Dezavantajul acestei metode constă în complexitatea calculelor necesare etapei de extragere a trăsăturilor și mai ales celei de comparare a rețelelor elastice: în [74] se menționează un timp de comparare de 25s a unei imagini cu 87 de alte imagini folosind o mașină cu 23 de transputere lucrând în paralel!*

## 5.3 Metode bazate pe rețelele neuronale folosite în recunoașterea facială

### 5.3.1 Metodă bazată pe folosirea rețelelor neuronale cu autoorganizare și convoluționale

În [75] Lawrence și colectiv prezintă un sistem de recunoaștere facială reprezentativ pentru metodele discutate în cadrul acestui subcapitol, în care atât etapa de extragere a trăsăturilor cât și recunoașterea propriu-zisă sunt implementate prin intermediul rețelelor neuronale.

Sistemul combină eșantionarea locală a imaginilor cu rețele neuronale cu autoorganizare, tip hartă de trăsături (SOFM, Self-Organizing Feature Map) și rețele neuronale convoluționale (CN, Convolutional Network). Arhitectura acestui sistem poate fi urmărită în fig. 5.3.1.1.

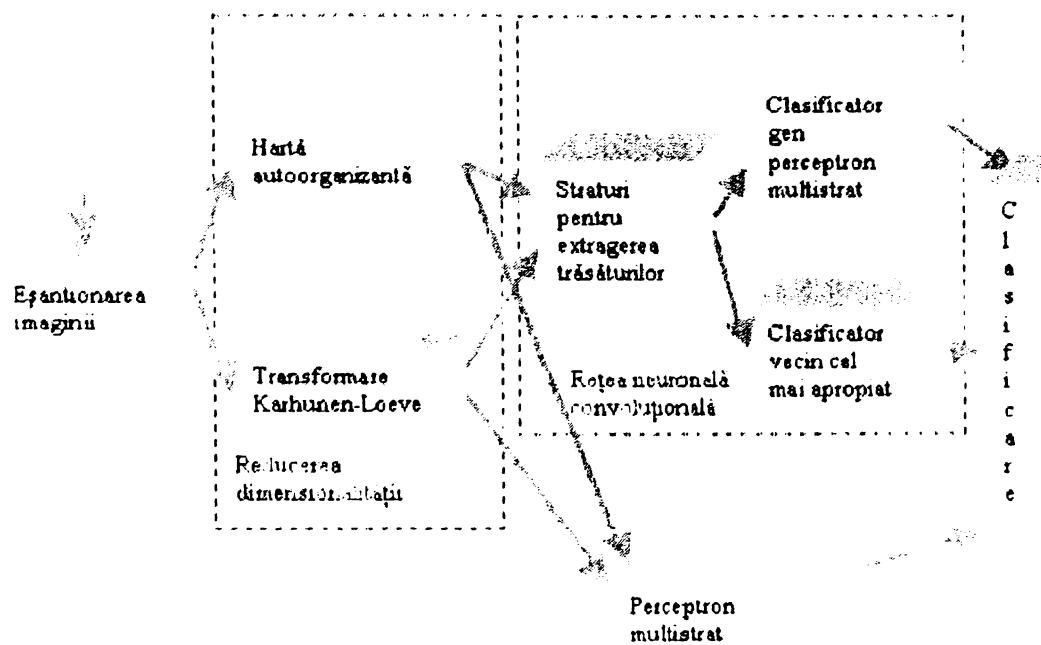


Fig.5.3.1.1 Arhitectura sistemului propus de Lawrence și colectiv [75].

Rețelele neuronale SOFM cuantifică eșantioane din imagine într-un spațiu ordonat topologic, astfel încât la eșantioane asemănătoare aplicate la intrare se vor activa neuroni ai stratului de ieșire învecinați din punct de vedere topologic. Rezultă astfel, pe lângă o reducere a dimensionalității datelor de intrare și o invarianță parțială la translație, rotație, scară și deformații. De asemenea sunt prezentate comparativ rezultatele obținute folosind în loc de SOFM, transformarea Karhunen-Loeve, cu mențiunea că aceasta nu a oferit rezultate la fel de bune ca metoda de extragere a trăsăturilor bazată pe SOFM.

În scopul clasificării trăsăturilor extrase este folosită o rețea neuronală de tip convoluțional, caracterizată de folosirea câmpurilor receptive locale, folosirea în comun a ponderilor și o eșantionare subspațială. Sunt prezentate și rezultate comparative obținute pentru un clasificator tip rețea neuronală perceptron multistrat.

Rezultatele experimentale obținute asupra bazei de date ORL (Olivetti Research Laboratory, Cambridge,UK) sunt prezentate sintetizat în tab. 5.3.1.1.

<b>Metodă</b>	<b>Rata erorii</b>
Fete proprii	10,5%
Karhunen-Loeve + CN	7,5%
SOFM + CN	3.8%

Tab.5.3.1.1 Rezultatele experimentale obținute asupra bazei de date ORL cf. [75].

Concluzia desprinsă de către autori este că soluția SOFM+CN dă rezultatele cele mai bune într-un timp mai mic de 0,5s.

O metodă bazată pe o structură ușor modificată a unei rețele neuronale convoluționale este prezentată în [76]. Este vorba despre o rețea neuronală de tip neocognitron care spre deosebire de modelul standard folosește pentru neuronii de tip S, modelul McCulloch-Pitts.

Pentru localizarea feței este folosit un perceptron multistrat cu 10 neuroni

ascunși. Acesta va localiza imagini faciale de dimensiune fixă (32x32 pixeli) obținute analizând diferite rezoluții și orientări posibile ale feței în imagine.

Pentru testarea performanțelor rețelei s-au achiziționat 800 de imagini pentru persoana "A" și 1200 de imagini corespunzătoare la 18 persoane catalogate drept "non A". Se raportează obținerea unor performanțe de 4,5% respectiv 59,7% pentru nivelul erorii de test în cazul în care sunt impuse respectiv nu sunt impuse constrângeri (iluminare, scară, orientare) imaginilor.

Avantajul unei astfel de arhitecturi constă în eliminarea fazei de preprocesare a imaginii în scopul normalizării și extragerii trăsăturilor. Acest lucru este realizat implicit de către rețeaua neuronală convoluțională, trăsături de complexitate crescândă fiind extrase succesiv, pe măsura procesării informației de către straturile ascunse de nivel ierarhic crescător.

### **5.3.2 Metoda bazată pe rețele neuronale cu decizie probabilistică**

În [77] Lin și colectiv prezintă un sistem constituit, în principal, din trei module:

- un detector de fețe, capabil să localizeze o imagine facială conținută într-o anumită scenă;
- un modul care localizează poziția ochilor, în scopul generării vectorilor de trăsături. Regiunile feței pentru care sunt extrase trăsături (gradient pe direcțiile  $x$  și  $y$ , intensitatea regiunilor) cuprind sprâncenele, ochii și nasul, exclusiv gura;
- ultimul modul este destinat recunoașterii feței.

Se menționează că toate cele trei module sunt implementate cu ajutorul **rețelelor neuronale cu decizie probabilistică** (PDBNN, Probabilistic Decision-Based Neuronal Networks).

Două tipuri de trăsături sunt extrase din imaginile originale: intensități și muchii (imagini gradient). Astfel, acești vectori vor fi aplicați la intrările a două RNA-PBD. Intensitățile pixelilor și valorile muchiiilor sunt normalizate, între 0 și 1, pentru a compensa schimbările în iluminare. În acest scop sunt aplicate filtrări și modificări ale

histogramei. În final, imaginile normalizate și recondiționate (de dimensiune 140x100) sunt reeșantionate ajungând la rezoluții scăzute (14x10).

Avantajul acestei soluții constă în structura modulară a PDBNN, fiecărei persoane alocându-i-se o subrețea. Autorii raportează o rată a erorii pentru baza de date ORL de 4%, un timp de antrenament de 20 min. și un timp de recunoaștere sub 0,1 s folosind mașini SGI Indy.

### **5.3.3 Metode bazate pe arbori neuronali**

În [78] Wilder propune un sistem bazat pe o metodă de extragere a trăsăturilor ce constă într-o transformată (Hadamard, Cosinus Discretă și Karhunen-Loeve) a **proiecției scării de gri**. Proiecția scării de gri se obține efectuând suma valorilor intensităților pixelilor de-a lungul unei direcții specifice. Se obține astfel o serie unidimensională de semnături reprezentând date 2D. În lucrarea menționată anterior sunt folosite proiecțiile pe direcțiile orizontală și verticală dintr-o fereastră rectangulară ce încadrează bărbia, urechile și fruntea. Apoi proiecțiile scării de gri sunt integrate în benzi suficient de înguste pentru a detecta trăsăturile principale și, în același timp, suficient de largi pentru a ignora trăsăturile fine. În continuare trăsăturile sunt supuse unor transformări ortonormale. Se arată că transformarea cosinus discretă oferă performanțe superioare metodei Hadamard și Karhunen-Loeve.

În etapa de clasificare este implicat un **arbore ierarhic neuronal**. Spre deosebire de MLP, în acest caz numărul de neuroni nu trebuie specificat apriori. Arborele neuronal se dezvoltă pe măsură ce învață și are exact numărul de neuroni necesar clasificării. În plus, arborele neuronal nu se “înțepenește” în minime locale, convergând întotdeauna spre o soluție.

În etapa experimentală s-au folosit 32 de subiecți, 6 imagini/subiect din care 3 în faza de antrenament și 3 în faza de test. S-a obținut o rată globală a erorii de 3%.

#### 5.3.4 Metode ce folosesc rețele neuronale bazate pe funcții radiale

A.J. Hovell și H. Buxton [79] prezintă o combinație dintre o tehnică de extragere a trăsăturilor bazată pe funcții Gabor și RNA-RBF. Sunt raportate rezultate referitoare la baza de date ORL: 5% eroare la datele de test pentru cazul 5 imagini de antrenament pentru o persoană.

Sato, Shah și Aggarwal propun în [80] un sistem care folosește imagini parțiale ale feței (urechi, ochi și nas). Fără a fi extrase nici un fel de trăsături, aceste subimagini reeșantionate în scopul obținerii unei rezoluții mai slabe sunt aplicate la intrarea unei rețele neuronale bazate pe funcții radiale (RBF, Radial Basis Function).

Pentru testarea performanțelor sistemului, sunt folosite 50 persoane x 3 imagini în etapa de antrenament și 70 persoane x 6 imagini în etapa de test. Sunt raportate rate ale recunoașterii și de rejecție de 100%.

##### **Observații:**

- 1) *Regiunile care includ urechile, ochii și nasul sunt extrase manual.*
- 2) *Pentru prelevarea imaginii sunt folosite două camere de luat vederi, una pentru imaginea frontală și una pentru cea laterală. Acest lucru implică o aliniere precisă a camerelor și distanțe fixe de la cameră la subiect.*
- 3) *Nu sunt prezentate rezultate experimentale pentru cazul în care iluminarea, scara sau poziția feței sunt variabile.*

*Ratele de acceptare și rejecție se explică doar pe baza observațiilor (1) - (3).*

#### 5.3.5 Metode bazate pe rețele neuronale de tip perceptron multistrat (MLP) și cu învățare prin cuantizare vectorială (LVQ)

Cabello, Sanchez și Pastor compară în [81] performanțele a două tipuri de rețele neuronale, LVQ și MLP. Sunt analizate cazurile în care se folosesc intensitățile imaginilor originale sau segmentate și cazul în care sunt extrase trăsături geometrice bazate pe distanțele aferente unor puncte localizate *manual*. Preprocesarea imaginilor



include reducerea rezoluției și segmentarea imaginii. Pentru cazul trăsăturilor geometrice se aplică și transformarea Karhunen-Loeve.

Pentru faza experimentală, s-a folosit o bază de date de 300 de persoane. Imaginile corespund la 30 de bărbați de aproximativ aceeași vârstă și rasă.

Concluziile experimentelor arată că dacă sunt folosite imaginile în tonuri de gri drept vectori de intrare, RNA-LVQ oferă rezultate mai bune decât RNA-MLP (96,7% respectiv 83,3%). Prin aplicarea etapei de segmentare se constată o scădere drastică a ratei de recunoaștere.

Pentru cazul trăsăturilor geometrice situația este inversată: MLP oferă rezultate mai bune decât LVQ (93,3% față de 84,4%).

### **5.3.6 Metode bazate pe rețele neuronale tip grupuri de arbori cu toleranță adaptivă**

În [82], Zhang și Fulcher introduc modelul RNA bazate pe **grupuri de arbori cu toleranță adaptivă** (GAT, Group-based Adaptive tolerance Tree) pentru recunoașterea facială invariantă la translație în vederea realizării unui sistem de securitate pentru aeroporturi.

În cazul unor astfel de arbori, fiecare nod corespunde unei categorii separate, iar decizia este luată într-o manieră descendentă, la nivelul fiecărui nod intermediar în funcție de apartenența eșantionului de la intrare la o anumită subclasă. În general  $N$  niveluri sunt necesare pentru clasificarea a  $2^N$  categorii. Sunt implementați arbori GAT separați pentru recunoașterea fețelor cu ochelari sau barbă și pentru clasificarea perspectivei feței.

Pentru testarea performanțelor sistemului sunt utilizate 780 de imagini (10 perspective x 78 indivizi). 87 de imagini au fost utilizate în etapa de antrenament, iar 693 pentru test. Eroarea raportată este de 0,15% ceea ce corespunde unei singure imagini clasificate greșit.

## 5.3.7 Metode bazate pe rețele neuronale ART

Pessoa și Leitao prezintă în [83] un sistem de recunoaștere facială bazat pe metode de **filtrare** inspirate din **modalitatea biologică de procesare a informației vizuale**. În **etapa de clasificare**, trăsăturile extrase pe baza răspunsului unor celule complexe, se aplică unei **rețele neuronale fuzzy de tip ART** (Adaptive Resonance Theory).

Prima etapă a filtrării imaginii constă în aplicarea unor **filtre neorientate** care corespund filtrării biologice efectuată la nivelul ganglionilor retinieni. Ieșirea acestor filtre e dată de ecuația:

$$R = \left[ \frac{\beta E - \gamma I}{\alpha + E + I} \right]^+ \quad (5.3.7.1)$$

în care  $[x]^+ = \max(x, 0)$ ,  $\beta = 0,5$ ,  $\gamma = 0,5$ ,  $\alpha = 10$ . Contribuțiile excitatorii ( $E$ ) și inhibitorii ( $I$ ) sunt date de:

$$E = L * G_c \text{ și } I = L * G_s \quad (5.3.7.2)$$

unde funcțiile de ponderare centru (“center”)  $G_c$  și înconjurător (“surround”)  $G_s$  sunt gaussieni normalizați de forma:

$$G = \frac{1}{\sigma \sqrt{2\pi}} \exp\left(-\frac{(x-i)^2 + (y-i)^2}{2\sigma^2}\right) \quad (5.3.7.3)$$

cu  $\sigma = 0,5$  pentru  $G_c$  și  $\sigma = 2$  pentru  $G_s$ .

Aceste tipuri de filtre sunt sensibile la discontinuități ale luminanței și răspunsul lor este proporțional cu raportul acestor luminanțe.

Etapa a II-a implică folosirea unor celule asemănătoare în funcționare cu **celulele corticale simple, senzitive la orientare și contrast**:

$$s_k^{ld} = [R * S_k^{ld}] \text{ și } s_k^{dl} = [R * S_k^{dl}] \quad (5.3.7.4)$$

în care cu  $s_k^{ld}$  respectiv cu  $s_k^{dl}$  s-a notat răspunsul celulelor simple la tranziții luminos-întunecat respectiv întunecat-luminos. Filtrele  $S$  sunt obținute ca diferențe de gaussieni de forma:

$$G = \frac{1}{\sigma_x \sigma_y \sqrt{2\pi}} \exp\left(-\frac{(x-i)^2}{\sigma_x^2} + \frac{(y-i)^2}{\sigma_y^2}\right) \quad (5.3.7.5)$$

unde  $\sigma_x = 0,5$  și  $\sigma_y = 1,5$ .

Etapă a III-a presupune folosirea celulelor complexe, cu răspuns insenzitiv la contrast:

$$C = \sum_k s_k^{ld} + \sum_k s_k^{dl} \quad (5.3.7.6)$$

Se menționează că sunt considerate răspunsurile celulelor complexe pentru 4 rezoluții diferite.

Rețeaua neuronală folosită la clasificare reprezintă o versiune simplificată a unei rețele fuzzy ART. Ea constă dintr-un strat de intrare, la care se aplică versiunile transformate ale imaginii, conectat printr-un set de ponderi sinaptice la stratul de ieșire.

Sunt prezentate rezultatele experimentale asupra bazei de date ORL. Cea mai bună performanță obținută la un anumit nivel al rezoluției, folosind 5 tipare de antrenament/clasă, este o eroare de 6,65%.

## 5.4 Concluzii

În acest capitol s-au prezentat și analizat: sistemul vizual uman (subcapitolul 5.1) datorită performanțelor deosebite ale acestuia în recunoaștere și diverse metode, tratate de autorul tezei în [84] și [85], convenționale (subcapitolul 5.2) sau neuronale (subcapitolul 5.3), dedicate recunoașterii faciale.

Principala concluzie desprinsă din subcapitolul 5.1 se referă la prezența unei structuri ierarhizate pentru sistemul vizual uman (SVU) care efectuează operații de nivel scăzut adică preprocesarea datelor (retina, nucleul lateral geniculat) precum și operații de nivel înalt (cortexul vizual primar și regiuni corticale înalte) responsabile de analiza culorii, formelor și a relațiilor spațiale dintre obiecte. La acest nivel se situează și neuronii specializați în detecția și recunoașterea facială.

În consecință, un sistem artificial de recunoaștere facială ar trebui să efectueze

aceleași tipuri de operații ca și SVU.

Principalele concluzii desprinse din analiza metodelor convenționale (subcapitolul 5.2) folosite în recunoașterea facială sunt:

- Metode bazate pe trăsături geometrice. Prezintă rezultate bune în condițiile unor baze de date largi dar la care iluminarea și perspectiva sunt relativ constante. Algoritmii actuali de localizare automată a punctelor de interes nu oferă o acuratețe deosebită și de aici poate să rezulte o depreciere a performanțelor globale.
- Metode bazate pe analiza componentelor principale. Dezavantajul major constă în necesitatea existenței unui grad înalt de corelație între intensitățile pixelilor imaginilor de test și de antrenament. Uneori acesta poate fi surmontat printr-o preprocesare extensivă a datelor.
- Metode bazate pe compararea șabloanelor. Pot fi folosite doar în cazul în care imaginile de test au aceeași scară, orientare și iluminare cu imaginile din setul de antrenament.
- Metode bazate pe compararea rețelelor elastice. Avantajul principal este determinat de rezultatele bune obținute în cazul în care există variații ale poziției și expresiei faciale. Ca și dezavantaj poate fi menționat complexitatea calculelor necesare implementării metodei.

Principalele concluzii desprinse din analiza metodelor bazate pe rețele neuronale (subcapitolul 5.3) folosite în recunoașterea facială sunt:

- Metodă bazată pe folosirea rețelelor neuronale cu autoorganizare și convoluționale. Rețelele neuronale cu autoorganizare se dovedesc a fi o soluție viabilă pentru faza de extragere a trăsăturilor, fiind ușor superioare metodei clasice de extragere a trăsăturilor bazată pe analiza componentelor principale (PCA, Principal Component Analysis). Această afirmație e susținută și prin rezultatele experimentale prezentate de I.S. Lawrence și colectiv în [75]. RNA tip convoluțional, datorită structurii intrinseci, rezolvă atât faza de extragere a

trăsăturilor cât și cea de clasificare. Dezavantajele acestui tip de metode sunt legate de timpii de antrenament excesiv de lungi.

- Metoda bazată pe rețele neuronale cu decizie probabilistică. Remarcabil este faptul referitor la posibilitatea de implementare a operațiilor de detecție dar și de recunoaștere facială cu un singur tip de RNA, cea cu decizie probabilistică. Modularitatea acestei soluții se poate transforma însă și în dezavantaj dacă numărul de clase crește deoarece pentru fiecare clasă este alocată câte o rețea neuronală PDBNN.
- Metode bazate pe arbori neuronali. În acest caz numărul neuronilor RNA nu trebuie specificat apriori, ceea ce constituie un avantaj față de majoritatea tipurilor de RNA. Arborele neuronal se dezvoltă pe măsură ce învață și are exact numărul de neuroni necesar clasificării.
- Metode ce folosesc rețele neuronale bazate pe funcții radiale. În cazurile prezentate în §5.3.4 sunt raportate rate excelente de clasificare pentru acest tip de RNA. Autorul tezei consideră însă că aceste rezultate se datorează în bună măsură constrângerilor aplicate imaginilor (în principal iluminare și expresie facială) preprocesate și modului extrem de riguros în care aceste imagini faciale au fost achiziționate.
- Metode bazate pe rețele neuronale de tip perceptron multistrat (MLP) și cu învățare prin cuantizare vectorială (LVQ). RNA tip MLP au fost folosite extensiv în cvasitotalitatea problemelor ce se pretează la o rezolvare bazată pe calcul neuronal. Acest fapt se datorează robusteții acestei soluții și existenței unui număr mare de algoritmi de antrenament sofisticati care dau rezultate foarte bune. Opinia autorului tezei este că RNA-MLP se constituie într-o soluție viabilă pentru problema recunoașterii faciale dacă e folosită în conjuncție cu un algoritm potrivit pentru extragerea trăsăturilor. RNA-LVQ, fiind derivată din rețelele neuronale de tip Kohonen, oferă performanțe bune și fără o etapă anterioară de extragere de trăsături.
- Metode bazate pe rețele neuronale tip grupuri de arbori cu toleranță adaptivă.

Oferă o acuratețe deosebită a clasificării dar având în vedere faptul că în cazul unor astfel de arbori fiecare nod corespunde la o categorie separată, complexitatea calculelor va crește simțitor dacă numărul de clase crește.

- Metode bazate pe rețele neuronale ART. RNA ART prezintă avantajul extrem de important al faptului că adăugarea unei clase nu implică reentrenarea RNA. În problema recunoașterii faciale ele nu pot fi folosite însă decât în măsura în care vectorii destinați clasificării sunt furnizați de către un algoritm corespunzător de extragere a trăsăturilor.

Concluzia finală desprinsă din acest capitol este că soluția optimă pentru un sistem de recunoaștere facială trebuie să cuprindă obligatoriu o etapă de extragere a trăsăturilor și una de clasificare. S-a constatat că se obțin performanțe superioare dacă aceste etape sunt distincte deși numeroase tipuri de RNA realizează implicit ambele operații. Autorul tezei consideră utilă folosirea unei metode convenționale în partea de preprocesare și extragere de trăsături datorită vitezei superioare soluțiilor neuronale. În aspectul luării deciziilor, al recunoașterii propriu-zise, este recomandată folosirea unui sistem neuronal datorită performanțelor în clasificare superioare metodelor clasice și datorită avantajelor discutate în subcapitolul 3.1.



# CAPITOLUL 6

## Propuneri privind realizarea unui sistem neuronal de recunoaștere facială

### 6.1 Propuneri privind arhitectura și metodele de implementare pentru un sistem de recunoaștere facială

Pe baza analizei metodelor specifice recunoașterii faciale (RF) prezentate în capitolul anterior se desprind următoarele etape (fig.6.1.1) aferente unui proces de recunoaștere facială:

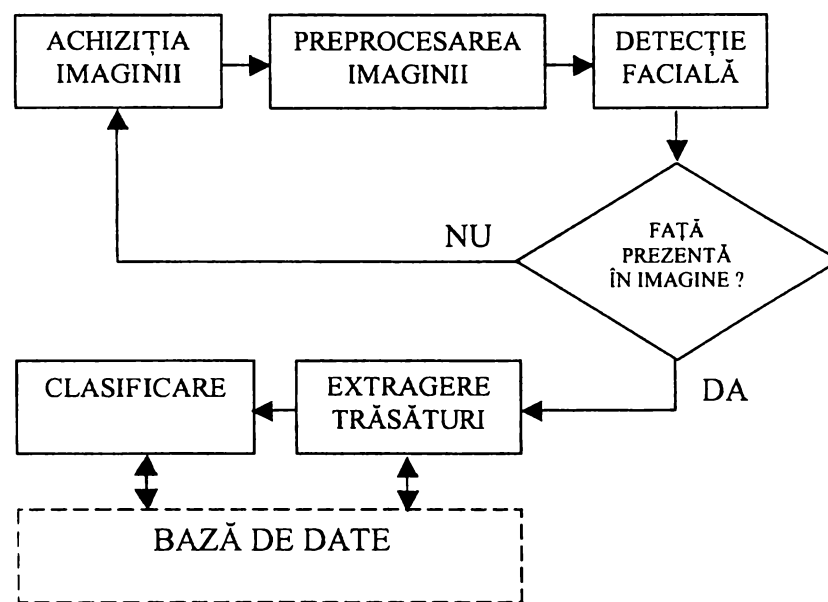


Fig. 6.1.1. O posibilă arhitectură pentru un sistem de recunoaștere facială, prezentată de autorul tezei în [85].



### 6.1.1 Achiziția imaginii

Pentru prelevarea imaginilor în care se presupune că ar exista fețe umane se folosesc dispozitive videocaptoare cum ar fi camerele video însoțite de o placă videocaptoare, pentru aplicații care necesită rezoluții și rate de refresh ridicate sau așa-numitele WEBCAM-uri folosite în cazul videoconferințelor desfășurate prin intermediul INTERNET-ului, care oferă rezoluții și rate de refresh mai scăzute, sunt conectate direct la porturile paralel sau USB și se constituie într-o soluție excelentă pentru aplicațiile RF sub aspectul raportului preț/performanță.

Sunt menționate în literatură (Hang și Join [86]) și cazuri în care RF este posibilă prin intermediul imaginilor în infraroșu.

Pentru cazul aplicației concrete s-a folosit produsul firmei Creative, Video Blaster WEBCAM 3 USB (fig.6.1.1.1) care oferă posibilitatea de videocaptură a imaginilor "live" la o adâncime a culorii de 16,7 milioane, 30 cadre/s la rezoluția de 352x288 pixeli sau 15 cadre/s la 640x480 pixeli.



Fig.6.1.1.1 Video Blaster WEBCAM 3 USB folosită la implementarea sistemului neuronal de recunoaștere facială propus de autorul tezei.

### 6.1.2 Preprocesarea imaginii

Imaginea prelevată este supusă anumitor prelucrări în scopul îmbunătățirii performanțelor blocurilor care succed etapei curente. În mod tipic sunt folosite următoarele tehnici de preprocesare:

- pentru cazul unei iluminări slabe sau cu variații se folosește o compensare liniară care calculează media iluminării urmând ca aceasta să fie scăzută din elementele unei ferestre;
- egalizarea histogramei în scopul îmbunătățirii contrastului imaginii;
- netezirea imaginii, în cazul în care aceasta este contaminată cu zgomot.

Pentru cazul aplicației concrete imaginea originală în format 320x240 RGB a fost supusă transformării în tonuri de gri (fig.6.1.2.1). S-a constatat experimental, de către autorul tezei, că operația de egalizare a histogramei (fig.6.1.2.2) nu aduce avantaje majore în procesul de recunoaștere facială.

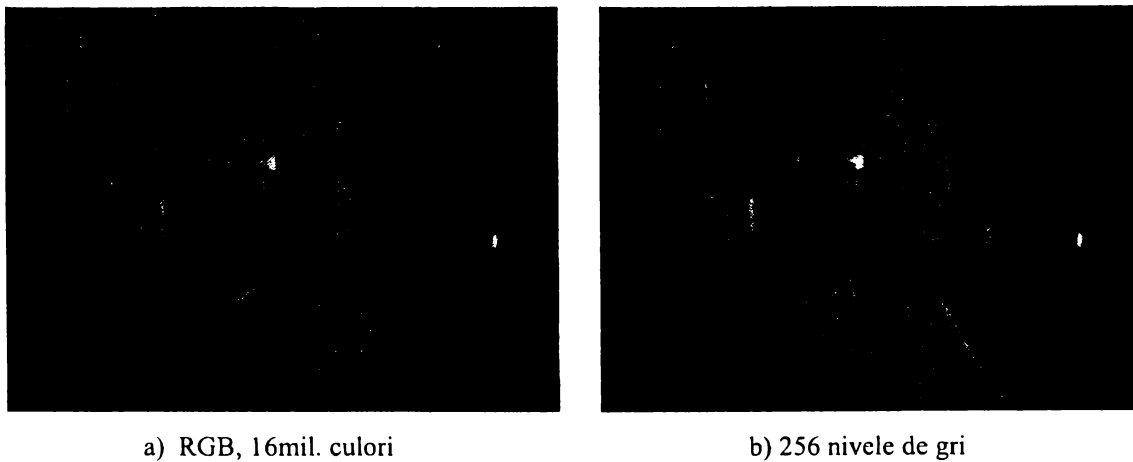
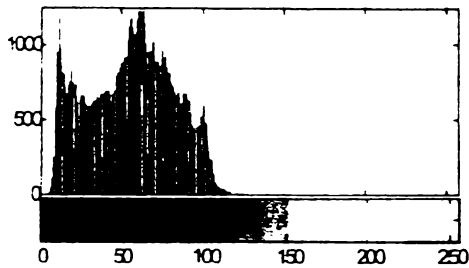
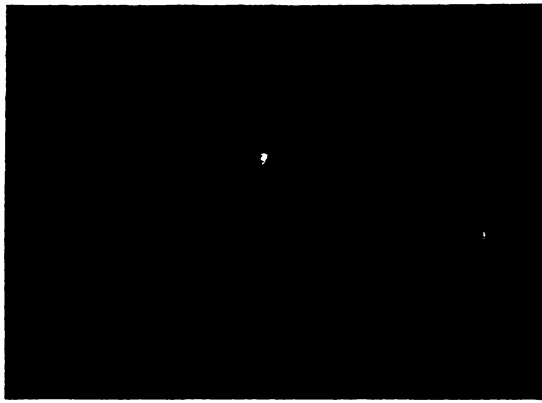
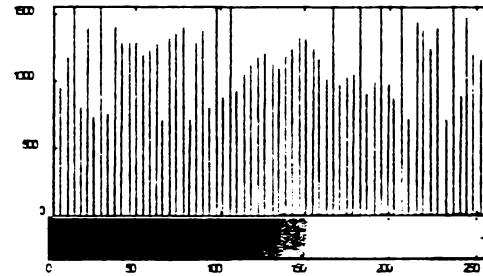


Fig. 6.1.2.1. Conversia imaginii RGB – tonuri de gri



a) Imagine și histogramă originală



b) Imagine și histogramă modificată

Fig. 6.1.2.2 Egalizarea histogramei îmbunătățește contrastul imaginii

### 6.1.3 Detecția feței

Reprezintă o etapă importantă în ansamblul operațiilor dintr-un sistem de recunoaștere facială întrucât influențează decisiv calitatea procesului de recunoaștere și clasificare. Scopul acestei etape îl reprezintă identificarea regiunilor dintr-o anumită imagine care conțin fețe umane.

La implementarea detecției feței s-au avut în vedere două metode, descrise în cele ce urmează:

- **Detecția feței bazată pe rețele neuronale**

Metoda prezentată în continuare a fost propusă de Rowley, Baluja și Kanade

[87] și constă într-o etapă preliminară de preprocesare a imaginii (vezi §6.1.2) aplicată unor ferestre de dimensiune 20x20 pixeli. Aceste ferestre preprocesate sunt ulterior aplicate unui grup de rețele neuronale (fig.6.1.3.1).

Se observă trei tipuri de neuroni ascunși: 4 neuroni urmăresc subregiuni de dimensiuni 10x10 pixeli, 16 prelucrează subregiuni de 5x5 pixeli și 6 urmăresc regiuni suprapuse de 20x5 pixeli. Fiecare dintre aceste tipuri au fost alese astfel încât să permită unităților ascunse să reprezinte trăsături localizate care ar putea prezenta importanță în detecția facială.

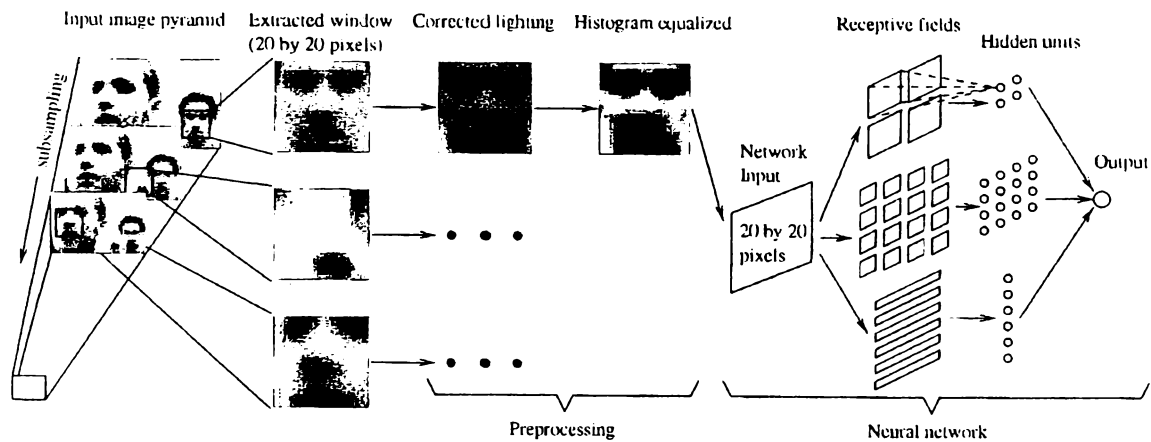


Fig. 6.1.3.1 Sistem neuronal de detecție facială, cf. [87]

Merită subliniată procedura de antrenament folosită în cazul imaginilor care nu reprezintă fețe, dat fiind faptul că acoperirea tuturor imaginilor care nu reprezintă fețe este practic imposibilă. Autorii folosesc o modalitate adaptată după Sung și Poggio [88]:

- Se creează un set de 1000 de imagini non-fețe cu valori aleatoare ale intensităților pixelilor.
- Se aplică metoda de preprocesare pentru fiecare dintre aceste imagini.
- Se antrenează rețeaua neuronală pentru a produce o ieșire egală cu "1" pentru imagini ce reprezintă fețe și "-1" pentru exemplele ce reprezintă non-fețe.
- Rețeaua antrenată este folosită pentru explorarea unor imagini care nu conțin fețe umane. Se selectează toate subimaginele identificate în mod greșit drept fețe.

- Se selectează un număr de subimagini identificate greșit la pasul anterior, se aplică metodologia de preprocesare și se adaugă în mulțimea imaginilor de antrenament care nu conțin fețe.

În fig. 6.1.3.2 este prezentat rezultatul algoritmului descris anterior.

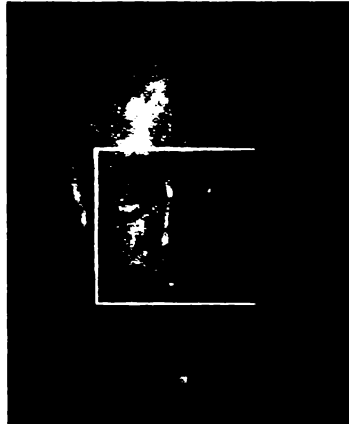


Fig.6.1.3.2 Rezultatul rulării algoritmului de detecție facială bazat pe rețele neuronale.

În urma analizei funcționării algoritmului s-au constatat următoarele **dezavantaje**:

- în primul rând **timpul** consacrat fazei de antrenament este considerabil, mai ales în cazul în care există un număr mare de imagini non-fețe.
  - numărul de **imagini non-fețe** trebuie să fie foarte mare;
  - în al treilea rând fețele nu sunt dreptunghiulare ci mai degrabă alungite și deci o atare transformare conduce la anumite deformări ale imaginii;
  - în ultimul rând dimensiunea de 20x20 pixeli a ferestrei care baleiază întreaga imagine e destul de mică și deci fața este greu identificabilă.
- **Detecția facială bazată pe decompoziție subspațială și principiul similarității maxime**

Metoda propusă de Moghaddam și Petland [89] estimează distribuția de probabilitate a unui obiect folosind decompoziția (descompunerea) spațiului imaginii bazată pe metoda vectorilor proprii. Densitatea dorită este descompusă în două componente, cea din subspațiul principal și cea din subspațiul complementar ortogonal (fig. 6.1.3.3).

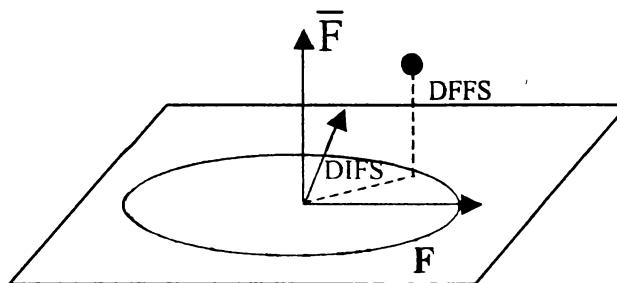


Fig. 6.1.3.3 Descompunerea în subspațiul principal  $F$  și cel complementar ortogonal  $\bar{F}$  pentru o distribuție gaussiană, cf. [89].

Concret, fiind dată o mulțime de imagini de antrenament  $\{x'_i\}_{i=1}^{N_T}$  aparținătoare clasei obiectului  $\Omega$  se dorește estimarea apartenenței clasei sau a funcției de similaritate (“likelihood function”), adică  $P(x|\Omega)$ . Pentru aceasta se parcurg următoarele etape:

**a) Descompunerea în vectori proprii**

Problema valorilor proprii poate fi ilustrată prin ecuația:

$$\Lambda = \Phi^T \Sigma \Phi \quad (6.1.3.1)$$

în care  $\Sigma$  reprezintă matricea de covarianță,  $\Phi$  matricea vectorilor proprii și  $\Lambda$  matricea diagonală a valorilor proprii. În analiza componentelor principale (PCA) se efectuează o transformare Karhunen – Loeve (KLT) care identifică vectorii proprii cu valorile proprii cele mai mari și se obțin vectorii trăsătură  $y = \Phi_M^T \tilde{x}$ , unde  $\tilde{x} = x - \bar{x}$  este vectorul imagine normalizat, iar  $\Phi_M$  o submatrice a  $\Phi$  conținând vectorii proprii principali.

Prin selectarea primelor  $M$  componente principale se descompune ortogonal spațiul vectorilor  $R^N$  în două subspații mutual exclusive și complementare  $F = \{\Phi_i\}_{i=1}^M$

și  $\bar{F} = \{\Phi_i\}_{i=M+1}^N$ .

Se poate defini eroarea de reconstrucție reziduală:

$$\varepsilon^2(\mathbf{x}) = \sum_{i=M+1}^N y_i^2 = \|\tilde{\mathbf{x}}\|^2 - \sum_{i=1}^M y_i^2 \quad (6.1.3.2)$$

În acest caz componenta din spațiul ortogonal  $\bar{F}$  va fi asimilată cu o *distanță de la spațiul trăsăturilor* (DFFS, "Distance From Feature Space") și este echivalentă cu eroarea reziduală  $\varepsilon^2(\mathbf{x})$ . Componenta lui  $\mathbf{x}$  aparținătoare spațiului trăsăturilor  $F$  va fi referită prin *distanța în spațiul trăsăturilor* (DIFS, "Distance In Feature Space").

**b) Cazul distribuției gaussiene**

În acest caz similaritatea unui tipar  $\mathbf{x}$  este dată de:

$$P(\mathbf{x} | \Omega) = \frac{\exp[-\frac{1}{2}(\mathbf{x} - \bar{\mathbf{x}})^T \Sigma^{-1}(\mathbf{x} - \bar{\mathbf{x}})]}{(2\pi)^{N/2} |\Sigma|^{1/2}} \quad (6.1.3.3)$$

Pentru caracterizarea acestei similarități se folosește distanța Mahalanobis:

$$d(\mathbf{x}) = \tilde{\mathbf{x}}^T \Sigma^{-1} \tilde{\mathbf{x}} \quad (6.1.3.4)$$

care se mai poate scrie:

$$d(\mathbf{x}) = \tilde{\mathbf{x}}^T [\Phi \Lambda^{-1} \Phi^T] \tilde{\mathbf{x}} = \mathbf{y}^T \Lambda^{-1} \mathbf{y} \quad (6.1.3.5)$$

Evaluarea (6.1.3.5) este neeficientă și se încearcă *estimarea*  $d(\mathbf{x})$  folosind doar  $M$  proiecții:

$$d(\mathbf{x}) = \sum_{i=1}^M \frac{y_i^2}{\lambda_i} + \sum_{i=M+1}^N \frac{y_i^2}{\lambda_i} = \sum_{i=1}^M \frac{y_i^2}{\lambda_i} + \frac{1}{\rho} \left[ \sum_{i=M+1}^N y_i^2 \right] = \sum_{i=1}^M \frac{y_i^2}{\lambda_i} + \frac{\varepsilon^2(\mathbf{x})}{\rho} \quad (6.1.3.6)$$

În consecință se poate scrie forma *similarității estimate* bazată pe  $\hat{d}(\mathbf{x})$  ca fiind produsul unor densități gaussiene independente:

$$\hat{P}(\mathbf{x} | \Omega) = \frac{\exp\left(-\frac{1}{2} \sum_{i=1}^M \frac{y_i^2}{\lambda_i}\right)}{(2\pi)^{M/2} \prod_{i=1}^M \lambda_i^{1/2}} \cdot \frac{\exp\left(-\frac{\varepsilon^2(\mathbf{x})}{2\rho}\right)}{(2\pi\rho)^{(N-M)/2}} = P_F(\mathbf{x} | \Omega) \hat{P}_{\bar{F}}(\mathbf{x} | \Omega) \quad (6.1.3.7)$$

Valoarea optimă a valorii medii a valorilor proprii nefolosite se determină prin

minimizarea unei funcții de cost  $J(\rho)$ :

$$J(\rho) = \int P(\mathbf{x} | \Omega) \log \frac{P(\mathbf{x} | \Omega)}{\hat{P}(\mathbf{x} | \Omega)} d\mathbf{x} = E \left[ \log \frac{P(\mathbf{x} | \Omega)}{\hat{P}(\mathbf{x} | \Omega)} \right]$$

$$= \frac{1}{2} \sum_{i=M+1}^N \left[ \frac{\lambda_i}{\rho} - 1 + \log \frac{\rho}{\lambda_i} \right] \quad (6.1.3.8)$$

Valoarea optimă  $\rho^*$  se obține rezolvând ecuația  $\frac{\partial J}{\partial \rho} = 0$ . Rezultă:

$$\rho^* = \frac{1}{N - M} \sum_{i=M+1}^N \lambda_i \quad (6.1.3.9)$$

**c) Cazul unei distribuții multimodale**

În cazul în care mulțimea datelor de antrenament reprezintă imagini sau obiecte multiple în condiții de iluminare variabilă distribuția imaginilor în spațiul  $F$  nu mai este unimodală ( fig.6.1.3.4).

Densitățile complexe se pot modela folosind o combinație de gaussieni:

$$P(y | \Theta) = \sum_{i=1}^{N_c} \pi_i g(y; \mu_i, \Sigma_i) \quad (6.1.3.10)$$

în care  $g(y; \mu_i, \Sigma_i)$  reprezintă o densitate gaussiană  $M$ -dimensională cu media  $\mu$  și covarianța  $\Sigma$ .

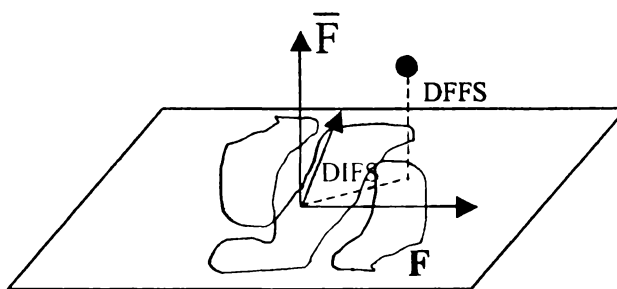


Fig. 6.1.3.4 Descompunerea în subspațiul principal  $F$  și cel complementar ortogonal  $\bar{F}$  pentru o distribuție arbitrară, cf. [89].

Combi-nația este specificată complet de către parametrul  $\Theta = \{\pi_i, \mu_i, \Sigma_i\}_{i=1}^{N_c}$ .



## - 74 - Propuneri privind realizarea unui sistem neuronal de recunoaștere facială

Pe baza detecției similarității maxime autorii recomandă folosirea acestei metode nu doar în cazul detecției faciale ci și în cazul detecției și recunoașterii obiectelor în general.

În urma implementării de către autorul tezei a metodei descrise anterior se constată performanțe foarte bune în acuratețea detecției feței umane în imagine (fig. 6.1.3.5).



Fig.6.1.3.5 Detecție facială pe baza principiului similarității maxime

Totuși, s-au constatat și anumite *dezavantaje*:

- algoritmul nu folosește în nici un fel *proprietățile geometrice ale feței* (simetrie, poziția relativă a ochilor, nasului etc.);
- algoritmul nu poate detecta fețe *mai mici decât fața medie* decât cu prețul scăderii drastice a vitezei;
- performanța algoritmului depinde de *raportul de aspect* al fețelor prezente în imagine;
- în cele mai multe cazuri *DFFS* conduce la îmbunătățirea performanțelor, dar *nu întotdeauna*.

Comparând performanțele (acuratețe și viteză) metodei neuronale de detecție a feței cu cele ale metodei cu descompunerea subspațială s-a optat pentru folosirea celei de-a doua metode în implementarea sistemului de detecție și recunoaștere facială prezentat în cadrul acestei teze.

#### **6.1.4 Extragerea trăsăturilor**

Reprezintă o etapă deosebit de importantă în cadrul unui sistem de recunoaștere facială întrucât prin intermediul acesteia se **extrage informația relevantă**, caracteristică pentru o anumită persoană. Totodată această etapă asigură și o **reducere a dimensionalității** datelor de intrare aplicate ulterior clasificatorului.

Așa cum s-a constatat din capitolul anterior, există numeroase metode de extragere a trăsăturilor, atât convenționale (analiza componentelor principale, filtrare Gabor) cât și neuronale (rețele neuronale cu extractori ierarhici de trăsături, RNA cu autoorganizare tip hartă de trăsături, RNA cu autoasociere, filtre inspirate din modelul biologic al căii vizuale).

Pentru cazul concret al implementării sistemului de recunoaștere facială s-a ales o modalitate convențională de extragere a trăsăturilor, **metoda operatorului de interes**, inspirată din cea prezentată de către Moravec în [90] pentru cazul navigației roboților autonomi. Ideea a fost preluată ulterior de către Nasrabadi și Choo și pentru cazul vederii stereoscopice în conjuncție cu RNA de tip Hopfield [91] sau, de către Wang și colectiv, pentru detecția automată a țintelor [92].

S-a arătat de către autorul tezei [93] faptul că această metodă poate fi folosită cu succes și în **cazul recunoașterii faciale** fiind după cunoștința autorului tezei, și **unica abordare** de acest fel prezentată în literatura recunoașterii faciale.

Procedura constă în extragerea unor variante direcționale (orizontal, vertical și ambele diagonale) pentru fiecare bloc dintr-o imagine facială. Aceste variante arată mărimea activității locale dintr-un bloc al imaginii. Regiunile cu varianță ridicată individualizează cu succes tipologiile prezente în imaginile faciale.

Ecuțiile pentru calculul varianței direcționale sunt următoarele:

$$\sigma^2 = \frac{1}{P \times Q} \sum_{y=0}^{P-1} \sum_{x=0}^{Q-1} [p(x, y) - \mu]^2 \quad (6.1.4.1)$$

$$\sigma^2_H = \frac{1}{P \times Q} \sum_{y=0}^{P-1} \sum_{x=0}^{Q-1} [p(y, x+1) - p(y, x)]^2 \quad (6.1.4.2)$$

$$\sigma^2_V = \frac{1}{P \times Q} \sum_{y=0}^{P-1} \sum_{x=0}^{Q-1} [p(y+1, x) - p(y, x)]^2 \quad (6.1.4.3)$$

$$\sigma^2_{135} = \frac{1}{P \times Q} \sum_{y=0}^{P-1} \sum_{x=0}^{Q-1} [p(y+1, x+1) - p(y, x)]^2 \quad (6.1.4.4)$$

$$\sigma^2_{45} = \frac{1}{P \times Q} \sum_{y=0}^{P-1} \sum_{x=0}^{Q-1} [p(y+1, x) - p(y, x+1)]^2 \quad (6.1.4.5)$$

în care  $\mu$  reprezintă media datelor și este calculată cu formula:

$$\mu = \frac{1}{P \times Q} \sum_{y=0}^{P-1} \sum_{x=0}^{Q-1} p(y, x) \quad (6.1.4.6)$$

și  $\{p(y, x), 0 \leq y \leq P-1, 0 \leq x \leq Q-1\}$  reprezintă intensitatea pixelilor într-un bloc  $P \times Q$ , cf. fig.6.1.4.1.

Se vor obține astfel pentru fiecare bloc dintr-o regiune a imaginii un set de cinci mărimi:  $\theta_i = \{\sigma, \sigma_H, \sigma_V, \sigma_{45}, \sigma_{135}\}_i, i = 1 \dots L$ ,  $L$  fiind numărul total de blocuri distincte în care se împarte o regiune a unei imagini.

Considerând imaginea originală de dimensiune  $N \times M$  și fereastra  $P \times Q$  din care se extrage vectorul trăsătură se poate deduce valoarea reducerii dimensionalității (RD) datelor aplicate ulterior clasificatorului:

$$RD \cong \frac{N \times M}{5 \times \frac{N}{P} \times \frac{M}{Q}} = \frac{P \times Q}{5} \quad (6.1.4.7)$$

Deși acest factor depinde de dimensiunea ferestrei din care se extrag trăsăturile, pentru cazul concret descris în această lucrare ( $P=Q=8$ ) se obține o **reducere de 12 ori** a volumului de date care urmează a fi prelucrată de clasificatorul neuronal descris în paragraful următor, reținându-se totodată și elementele caracteristice dintr-o anumită

imagine. Efectul aplicării operatorului de interes asupra unei imagini poate fi urmărit în fig.6.1.4.2.

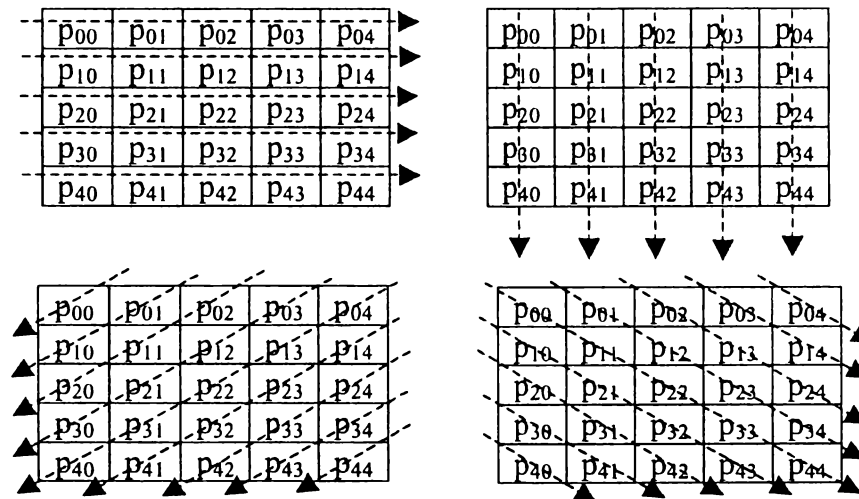
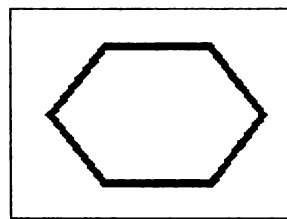


Fig.6.1.4.1 Extragerea varianțelor direcționale dintr-o imagine pe baza metodei operatorului de interes



a) Imaginea originală

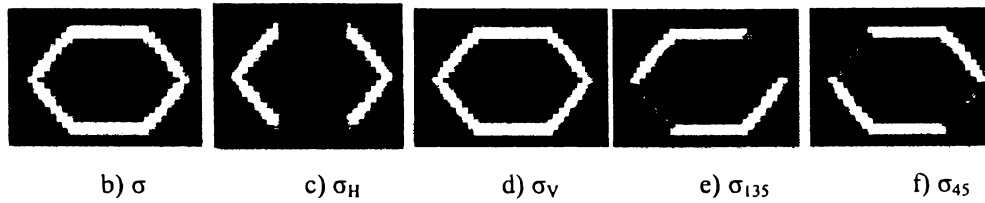


Fig.6.1.4.2 Efectul extragerii varianțelor direcționale dintr-o imagine pe baza metodei operatorului de interes

### 6.1.5 Clasificarea

Reprezintă cea mai importantă etapă a procesului de recunoaștere facială și se concretizează prin atribuirea unei clase (nume, etichetă) pentru fiecare imagine facială reprezentată de către vectorul trăsăturilor.

La implementarea acestei etape s-a apelat la o soluție neuronală, într-o arhitectură bazată pe o RNA tip perceptron multistrat, total conectată (fig.6.1.5.1), cu un singur strat ascuns.

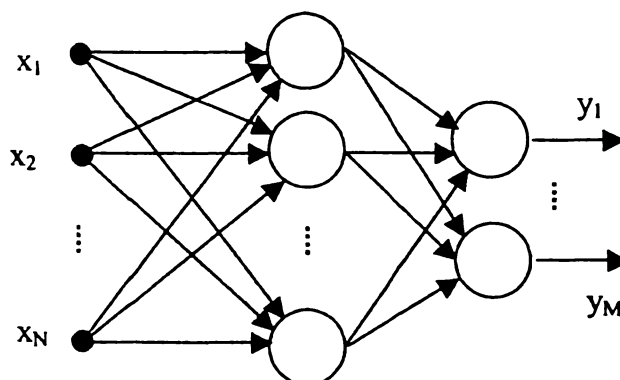


Fig.6.1.5.1 RNA tip perceptron multistrat, cu un singur strat ascuns, total conectată

Argumentele principale care au stat la baza acestei alegeri, discutate și în capitolul anterior, au fost în primul rând viteza superioară oferită de către acest tip de clasificator - condiție obligatorie pentru realizarea unui sistem care să funcționeze în timp real. La aceasta se alătură și acuratețea clasificării oferită de către acest tip de RNA.

*Contribuția originală a autorului s-a manifestat pe de-o parte în domeniul soluției arhitecturale alese pentru ansamblul extragere trăsături + clasificare dar și în ceea ce privește algoritmi de antrenament pentru RNA-MLP. În mod concret, au fost propuși 2 algoritmi de antrenament, prezentați de autorul tezei în [44] și [45] și 4 arhitecturi ale ansamblului extragere trăsături + clasificator prezentate de autorul tezei în [94] și [95].*

Primele două arhitecturi folosesc o singură RNA-MLP, la intrările acesteia aplicându-se în primul caz direct intensitățile pixelilor imaginii , iar în al doilea caz, trăsăturile extrase prin metoda operatorului de interes prezentată detaliat în paragraful anterior. Cele două arhitecturi pot fi urmărite în fig.6.1.5.2.a și b.

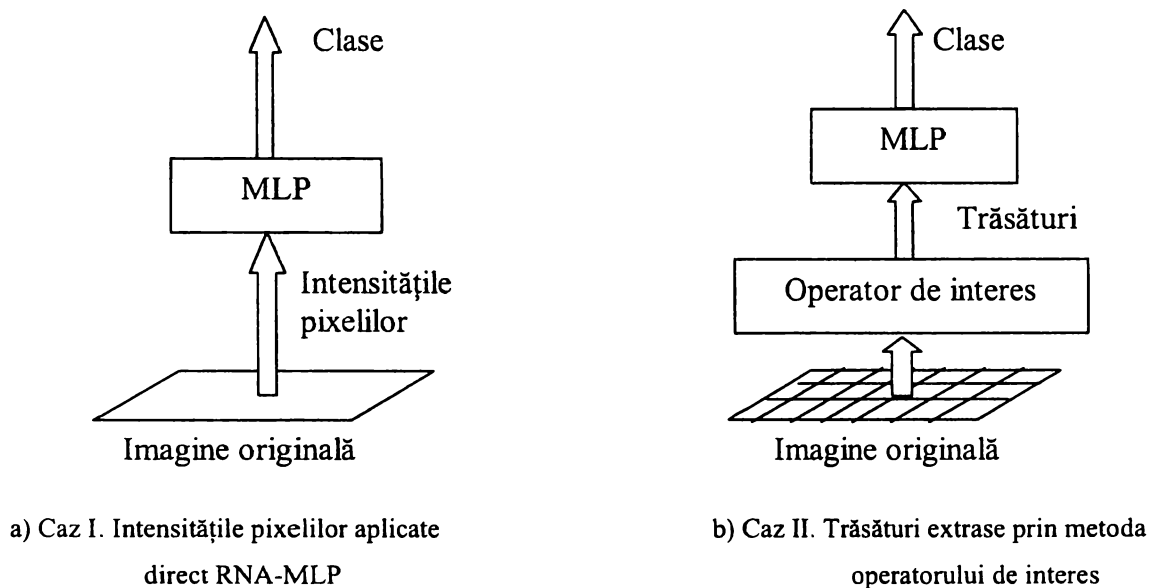
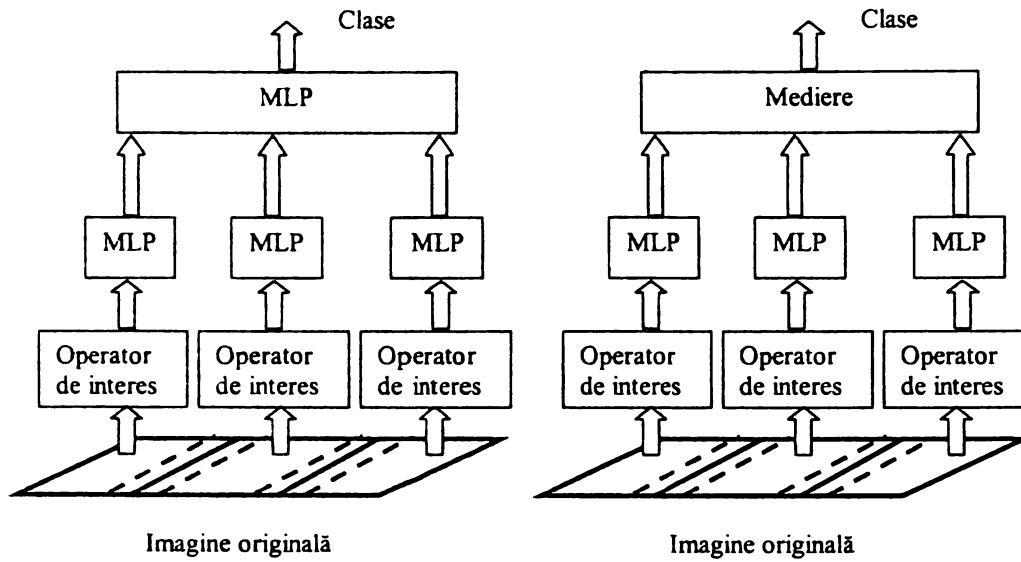


Fig.6.1.5.2 Arhitectură de sistem pentru RF cu un singur clasificator

Următoarele două abordări folosesc o arhitectură paralelă de RNA-MLP la a căror intrări se aplică trăsături extrase prin metoda operatorului de interes din regiuni parțial/total suprapuse sau nesuprapuse (fig.6.1.5.3 a și b). Diferența dintre aceste ultime două cazuri constă în modalitatea de luare a deciziei în ceea ce privește clasificarea finală a imaginii faciale prezentate. În cazul III răspunsurile RNA-MLP sunt prelucrate de o RNA-MLP ierarhic superioară, iar în cazul IV clasificarea este efectuată pe baza medierii răspunsurilor RNA-MLP ierarhic inferioare.



a) Caz III. Decizia finală este luată de către o RNA-MLP ierarhic superioară

b) Caz IV. Decizia finală luată pe baza medierii răspunsurilor RNA ierarhic inferioare

Fig.6.1.5.3 Arhitectură de sistem pentru RF cu structură ierarhică și paralelă de clasificatori.

## 6.2 Rezultate experimentale

### 6.2.1 Descrierea bazei de date

Experimentele au fost efectuate asupra bazei de date ORL (Olivetti Research Laboratory, actual în proprietatea AT&T U.K.) care conține un set de imagini faciale prelevate între Aprilie 1992 și Aprilie 1994 de către ORL în Cambridge, UK [55]. Baza de date constă din 10 imagini diferite pentru 40 de subiecți distincți, deci un total de 400 de imagini. Imaginile au fost luate în intervale de timp diferite, în condiții de variație a iluminării, expresiei faciale (ochi deschiși/închiși, zâmbet, cu/fără ochelari). Toate imaginile conțin un fundal omogen, întunecat. Mărimea imaginilor este de 92x112 pixeli, 256 niveluri de gri (fig. 6.2.1.1).

**În toate cazurile în care nu apare în mod explicit altfel, numărul de imagini/persoană corespunzătoare etapei de antrenament este egal cu 5 și deci numărul de imagini/persoană consacrat etapei de test va fi tot 5. Numărul de clase (persoane distincte) este egal cu 40, în cazul în care nu se specifică altfel. Rezultă deci un număr de 200 de imagini alese în mod aleator, la începutul fiecărui experiment, corespunzătoare etapei de antrenament și 200 de imagini aleatoare de test, cele două mulțimi fiind disjuncte.**

### 6.2.2 Influența folosirii tehnicii de extragere a trăsăturilor de tip operator de interes asupra procesului de recunoaștere facială

În tab.6.2.2.1 sunt prezentate comparativ performanțele celor două arhitecturi prezentate în fig.6.1.5.2 a și b. Practic, folosind un singur clasificator tip RNA-MLP, se evaluează cazurile în care imaginea este aplicată direct, fără preprocesare, respectiv cazul în care la intrarea RNA-MLP se aplică un vector de trăsături obținut din imaginea originală prin metoda operatorului de interes. Experimentele au fost efectuate conform metodologiei descrise în §6.2.1; **faza de antrenament s-a considerat încheiată în**



momentul în care eroarea pătratică medie (EPM) a atins valoarea de 0,01%, ceea ce corespunde unei erori nule pentru datele de antrenament .

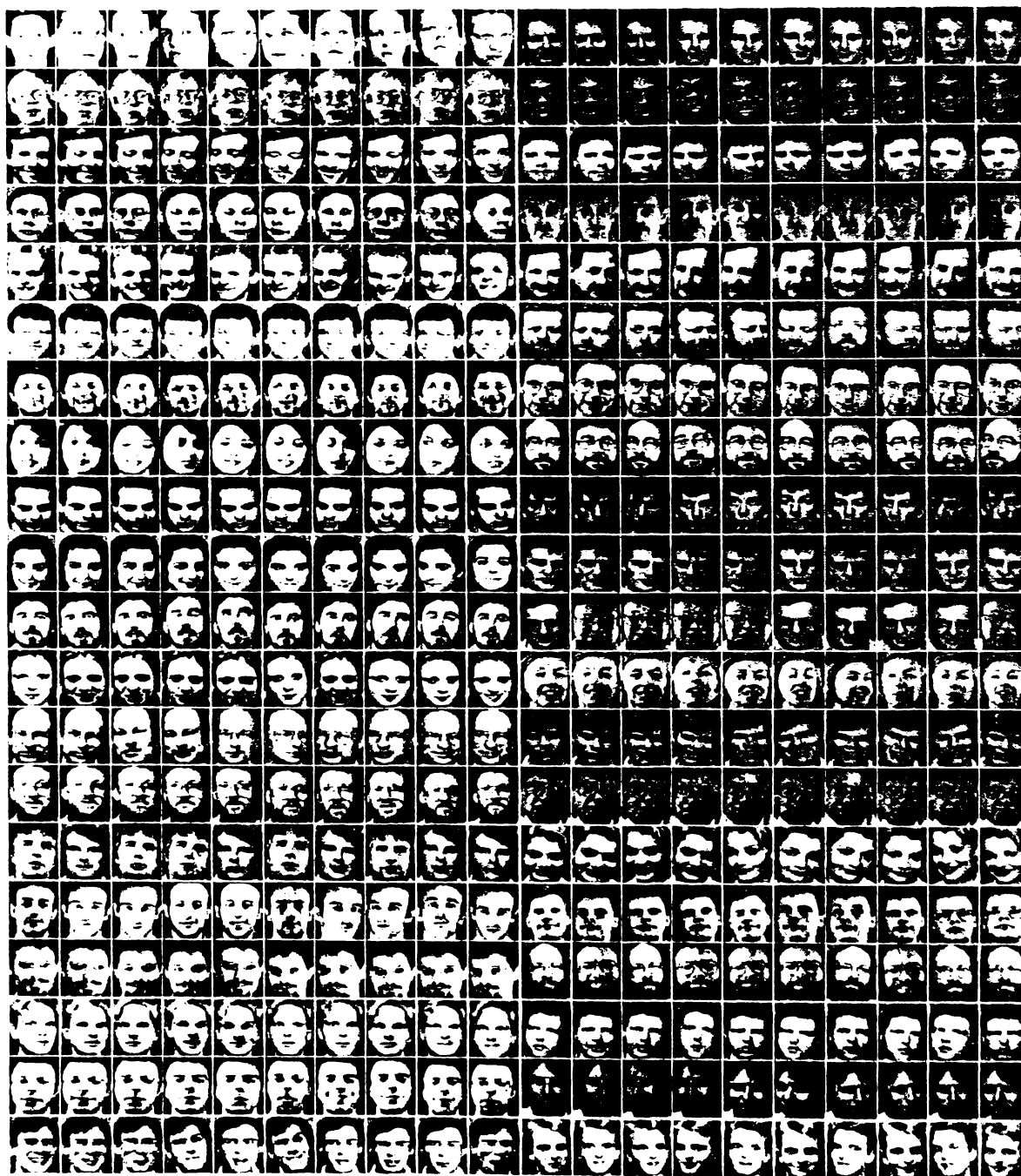


Fig.6.2.1.1 Baza de date folosită pentru testarea performanțelor sistemului de recunoaștere facială [55].

Sistem	Număr neuroni intrare-ascunși-ieșire	EPM %	1 img./pers.		3 img./pers.		5 img./pers.	
			Eroare test %	Eroare totală %	Eroare test %	Eroare totală %	Eroare test %	Eroare totală %
			Durată Experiment [min.]		Durată Experiment [min.]		Durată Experiment [min.]	
Fig.6.1.5.2 a	2576 – 80 – 40	0.01	55,94	50,35	23,92	16,75	14,80	7,40
			3,56 min.		10,14 min.		16,66 min.	
Fig.6.1.5.2 b	210 – 80 – 40	0.01	41,16	37,05	14,50	10,15	8,80	4,40
			2,25 min.		3,27 min.		4,58 min.	

Tab.6.2.2.1 Rezultate medii pentru 5 experimente consecutive efectuate cu sistemele din fig.6.1.5.2 a și b, adică un singur clasificator neuronal cu/fără extragere de trăsături prin metoda operatorului de interes. Imaginile originale au fost reșantionate cu un factor de ½ deci sunt de dimensiune 56x46 pixeli, iar dimensiunea ferestrei din care se extrag trăsăturile este 8x8 pixeli.

Mulțimile de antrenament și test au fost obținute cf. specificațiilor din § 6.2.1.

Rezultatele experimentale prezentate în tab.6.2.2.1 reprezintă valori medii calculate în urma efectuării unui număr de 5 experimente. Timpii medii de efectuare a experimentelor rezultă în urma efectuării operațiilor de generare aleatoare a ordinii persoanelor și imaginilor aferente ce constituie setul de date de antrenament (40 persoane x 5 imagini = 200 de imagini), extragere trăsături pentru întreaga bază de date, antrenare RNA-MLP, clasificare set de date de antrenament și test.

Pentru implementarea algoritmilor s-a folosit mediul MATLAB v.5.3, 1999, rulând pe hardware PC INTEL CELERON 533 MHz.

În urma analizei rezultatelor experimentale se desprind următoarele concluzii:

- în urma folosirii sistemului cu extragere de trăsături se constată o **creștere a performanței clasificatorului cu aproximativ 40%** față de cazul fără extragere de trăsături (fig.6.2.2.1);
- se constată **reducerea dimensiunii datelor** aplicate la intrarea RNA-MLP de aproximativ **12 ori** pentru cazul 6.1.5.2 b față de 6.1.5.2 a;
- **timpul mediu/experiment este de 4 ori mai mic** în cazul al doilea; spre deosebire de primul caz, timpul mediu/experiment pentru sistemul cu extragere de trăsături nu e direct proporțional cu numărul de tipare de antrenament;

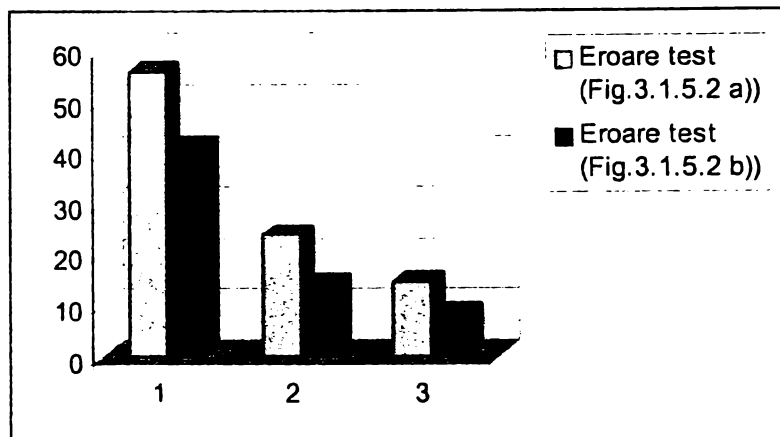


Fig.6.2.2.1 Rezultate comparative pentru cazul sistemelor de recunoaștere facială din fig.6.1.5.2 a și b.

Concluziile precedente ne îndreptățesc să considerăm metoda de extragere a trăsăturilor propusă drept deosebit de eficientă, având în vedere rezultatele obținute în condiții similare, asupra aceleiași baze de date, de către alte sisteme de recunoaștere facială prezentate în literatură [96].

Fișierul sursă aferent realizării acestor experimente este prezentat în ANEXA 3.

### 6.2.3 Influența rezoluției imaginii faciale și a dimensiunilor ferestrei de extragere a trăsăturilor asupra performanțelor procesului de recunoaștere facială

Așa cum s-a mai menționat, imaginile bazei de date au dimensiunea de 112x92 pixeli. În cele ce urmează se va urmări evoluția performanțelor ansamblului extragere trăsături + clasificator neuronal pentru cazurile în care imaginea originală va fi reeșantionată la 75%, 50% respectiv 25% din dimensiunile inițiale (tab.6.2.3.1) precum și influența dimensiunii ferestrei de extragere a trăsăturilor (tab.6.2.3.2).

Factor de reeșantionare (dimensiune în pixeli)	25% (5x5 pixeli)	50% (56x46 pixeli)	75% (84x69 pixeli)	100% (112x92 pixeli)
Eroare test [%] (dimensiune fereastră)	12,90 (5x5 pixeli)	8,80 (8x8 pixeli)	10,20 (7x10 pixeli)	10,30 (8x8 pixeli)

Tab.6.2.3.1 Influența rezoluției imaginii asupra performanțelor ansamblului extragere trăsături + clasificator neuronal

Dimensiunea ferestrei, în pixeli	4 x 6	7 x 6	8 x 8	14 x 12
Eroare test [%]	9,30	8,20	8,80	9,80

Tab.6.2.3.2 Influența dimensiunii ferestrei de extragere a trăsăturilor asupra performanțelor ansamblului extragere trăsături + clasificator neuronal, dimensiunea imaginii 56x46

Din analiza rezultatelor experimentale prezentate în tab.6.2.3.1 și 6.2.3.2 se constată următoarele:

- ***performanțele sistemului de recunoaștere facială cresc pe măsură ce rezoluția imaginilor descrește, ating un maxim pentru un factor de reeșantionare de 1/2 iar dacă rezoluția scade în continuare (factor de reeșantionare 1/4) performanțele se înrăutățesc.*** Explicația probabilă a acestui fapt constă în aceea că imaginile la rezoluție ridicată conțin și multă informație irelevantă pentru discriminarea facială, iar cele cu rezoluție foarte scăzută nu oferă suficientă informație pentru a putea individualiza imaginile faciale.
- la imaginile care folosesc jumătate din rezoluția inițială se obțin cele mai bune performanțe vizavi de rata clasificării corecte (8,80% eroare la datele de test, cu fereastră 8x8), dar acestea pot fi în continuare îmbunătățite prin optimizarea dimensiunii ferestrei de extragere a trăsăturilor. Astfel cea mai scăzută rată a erorii pentru datele de test, 8,20%, se obține pentru o dimensiune a ferestrei de 7x6 pixeli.

Fișierul codului sursă MATLAB aferent experimentelor prezentate în cadrul

acestui paragraf este prezentat în ANEXA 3.

#### **6.2.4 Influența folosirii unor arhitecturi paralele și ierarhice de RNA-MLP asupra procesului de recunoaștere facială**

Se arată de către Căleanu ([10], [11]) că performanțele sistemului de recunoaștere facială pot fi în continuare îmbunătățite prin folosirea unei arhitecturi paralele ale ansamblului extractor de trăsături + clasificator neuronal.

Rezultatele experimentale pentru cazurile în care agregarea deciziei este efectuată de către o RNA-MLP ierarhic superioară (fig.6.1.5.3.a) și pentru cazul în care decizia finală se bazează pe medierea rezultatelor parțiale (fig.6.1.5.3.b), sunt prezentate în tab.6.2.4.1.

Din analiza rezultatelor prezentate în tab.6.2.4.1 se constată următoarele:

- ambele arhitecturi paralele oferă **rezultate superioare** față de sistemul prezentat în paragraful anterior care nu beneficia de acest tip de arhitectură;
- cele mai bune performanțe sunt obținute în cazurile în care trăsăturile sunt extrase din regiuni **distincte** ale imaginii;
- agregarea deciziei prin intermediul **operatorului medie** oferă rezultate cu 30...40% mai bune decât sistemul cu agregarea deciziei prin intermediul RNA-MLP și cu 30...60% mai bune decât sistemul format dintr-un singur ansamblu extractor de trăsături + clasificator neuronal (fig.6.1.5.2 b). **Diferențele dintre sisteme sunt ușor amplificate pe măsură ce numărul de imagini de antrenament/ clasă crește.**
- prin folosirea arhitecturilor paralele **scade dramatic dimensiunea** RNA-MLP implicate, ceea ce conduce la o economie de memorie și timp de calcul.

Codul sursă MATLAB care permite rularea experimentelor prezentate în cadrul acestui paragraf este prezentat în ANEXA 4.

Tip Sistem	Dimensiunea regiunilor	EPM %	1	3	5
			imagine/persoană	imagini/persoană	imagini/persoană
			Eroare test [%] Eroare totală [%] Durată experiment [min]	Eroare test [%] Eroare totală [%] Durată experiment [min]	Eroare test [%] Eroare totală [%] Durată experiment [min]
Fig.6.1.5.3 a) (3RNA + RNA)	3 regiuni nesuprapuse: 14x46 28x46 14x46	0,01	40,61	14,00	6,40
			36,55	9,80	3,20
			5,4	12,8	22,4
	3 regiuni parțial suprapuse 28x46 28x46 28x46	0,01	43,94	17,28	12,00
			39,55	12,10	6,00
			6,2	13,8	17,8
	3 regiuni complet suprapuse 56x46 56x46 56x46	0,01	39,27	15,21	9,3
			35,35	10,65	4,65
			10,4	19,2	27,4
Fig.6.1.5.3 b) (3RNA + MEDIE)	3 regiuni nesuprapuse: 14x46 28x46 14x46	0,01	31,27	10,28	3,70
			28,15	7,20	1,85
			4,4	10,4	18,3
	3 regiuni parțial suprapuse 28x46 28x46 28x46	0,01	37,22	12,85	8,70
			33,50	9,00	4,35
			5,2	11,1	13,1
	3 regiuni complet suprapuse 56x46 56x46 56x46	0,01	31,33	10,57	6,30
			28,20	7,40	3,15
			9,4	19,2	23,9

Tab.6.2.4.1 Rezultatele medii pentru 5 experimente consecutive efectuate pentru cazurile în care agregarea deciziei este efectuată de către o RNA-MLP ierarhic superioară (fig.6.1.5.3.a) și pentru cazul în care decizia finală se bazează pe medierea rezultatelor parțiale (fig.6.1.5.3.b). Imaginile originale au fost reeșantionate cu un factor de  $\frac{1}{2}$  deci sunt de dimensiune 56x46 pixeli, iar dimensiunea ferestrei din care se extrag trăsăturile este 7x6 pixeli. Mulțimile de antrenament și test au fost obținute cf. specificațiilor din §6.2.1.

### 6.3 Concluzii

În subcapitolul 6.1 autorul tezei propune o arhitectură [85] pentru un sistem de detecție și recunoaștere facială precum și modalități concrete de implementare a etapelor ce le implică un astfel de sistem [93],[94], [95].

În subcapitolul 6.2 sunt prezentate rezultatele experimentale ce vin să susțină validitatea propunerilor din 6.1.

Principalele concluzii desprinse din analiza subcapitolului 6.1 sunt următoarele:

- în etapa de achiziție a imaginii pot fi folosite cu succes camere video tip WEBCAM care deși prezintă un preț redus oferă rezoluții satisfăcătoare;
- doar în cazuri speciale (prezența zgomotului sau variații ale iluminării) se impun măsuri de preprocesare a imaginii achiziționate;
- în ceea ce privește detecția feței, autorul tezei a implementat două tipuri de algoritmi, unul bazat pe RNA și altul clasic, bazat pe decompoziție subspațială. În primul caz s-au constatat următoarele dezavantaje: timpul consacrat fazei de antrenament este considerabil iar pentru o acuratețe a detecției e nevoie de un număr ridicat de exemple din categoria “non-fețe”. Și în cazul algoritmului bazat pe decompoziție subspațială au fost identificate anumite dezavantaje: nu se folosesc în nici un fel proprietățile geometrice ale feței iar performanțele depind de raportul de aspect al fețelor prezente în imagine. În final s-a optat pentru folosirea celui de al doilea algoritm întrucât viteza de procesare a imaginilor a fost superioară primului.
- pentru etapa de extragere a trăsăturilor autorul tezei a propus o nouă metodă în sensul în care aceasta nu a mai fost aplicată în problema recunoașterii faciale: metoda operatorului de interes. Justețea propunerii este ilustrată de rezultatele experimentale prezentate în subcapitolul 6.2
- având în vedere avantajele (vezi § 3.1, § 5.4) ca viteza și acuratețea clasificării se preferă folosirea, în etapa de clasificare, unui clasificator neuronal, într-o structură



paralelă și ierarhică, prezentată de autorul tezei în [95].

Principalele concluzii desprinse din analiza subcapitolului 6.2 sunt următoarele:

- în ceea ce privește influența folosirii tehnicii de extragere a trăsăturilor de tip operator de interes asupra procesului de recunoaștere facială s-a constatat o creștere a performanței clasificatorului cu 40% , o reducere a dimensiunii datelor la intrarea RNA de 12 ori și reducerea timpului de procesare cu 75% față de cazul fără extragere de trăsături;
- în ceea ce privește influența rezoluției imaginii faciale și a dimensiunilor ferestrei de extragere a trăsăturilor asupra performanțelor procesului de recunoaștere facială s-a constatat faptul că performanțele sistemului de recunoaștere facială cresc pe măsură ce rezoluția imaginilor descrește, ating un maxim pentru un factor de reeșantionare de 1/2 iar dacă rezoluția scade în continuare (factor de reeșantionare 1/4) performanțele se înrăutățesc. De subliniat și concluzia referitoare la existența unui optim, în ceea ce privește dimensiunea (7x6 pixeli, pentru cazul particular al bazei de date ORL) ferestrei de extragere a trăsăturilor.
- examinând performanțele arhitecturii paralele și ierarhice de RNA-MLP propusă de autorul tezei se constată o îmbunătățire a acestora față de cazul în care s-a folosit doar un singur clasificator RNA-MLP global. În ceea ce privește agregarea răspunsurilor RNA ierarhic inferioare s-a constatat că operatorul medie oferă rezultate mai bune decât o RNA ierarhic superioară. Rezultatele cele mai bune asupra bazei de date ORL (pentru cazul 5 imagini/persoană, eroare date antrenament 0%, eroare date test 3,7%, eroare globală 1,85%) s-au obținut în cazul în care câmpul receptiv al clasificatorilor neuronali paraleli a fost disjunct.

Comparând performanțele obținute de către autorul tezei cu cele prezentate în literatura recunoașterii faciale (pentru o sinteză a rezultatelor vezi [79]), referitoare la aceeași bază de date și în aceleași condiții de experimentare, se poate afirma faptul că



**- 90 - Propuneri privind realizarea unui sistem neuronal de recunoaștere facială**

soluția aleasă de autorul tezei se situează la doar 0,7% în urma celei mai bune performanțe raportate în literatură [71].

# CAPITOLUL 7

## Implementarea unui sistem de recunoaștere facială

### 7.1 Introducere

Pe baza specificațiilor prezentate în capitolul anterior se urmărește în cele ce urmează dezvoltarea unei aplicații capabile să efectueze detecția și recunoașterea imaginilor faciale în timp real.

O astfel de aplicație trebuie să îndeplinească anumite condiții:

- Posibilitatea **interfațării aplicației cu sursa de semnal video** folosită la captura imaginilor faciale. Aceasta presupune pornirea/oprirea fluxului video precum și captura anumitor cadre din acesta.
- Posibilitatea de **selecție și/sau detecție automată a prezenței unei imagini faciale** într-o imagine.
- Posibilități de **manipulare** (creare, adăugare, ștergere) a unei **baze de date** care să cuprindă imagini faciale. Este recomandată și posibilitatea de vizualizare a bazei de date.
- Posibilitatea lansării unui **proces de recunoaștere** a imaginii faciale selectate sau detectate din fluxul video prin compararea cu cele existente în baza de date. Aplicația trebuie să divizeze imaginea facială extrasă din scenă în **subimagini**, conform celor discutate anterior. Fiecare dintre aceste subimagini este supusă procedurii de **extragere a trăsăturilor** prin metoda operatorului de interes. **Rețelele neuronale** aferente fiecărei subimagini, în prealabil antrenate pentru recunoașterea bazei de date existente la un moment dat, vor lua independent decizii în ceea ce privește apartenența imaginii faciale prezentate la una din clasele deja existente. Decizia finală va fi constituită pe baza agregării

răspunsurilor RNA individuale. Este recomandată existența posibilității de modificarea a unui așa-numit prag de recunoaștere. Prin aceasta se poate modifica nivelul de încredere cu care RNA semnalizează existența unei persoane în baza de date.

Soluțiile de implementare pentru un sistem de recunoaștere facială care să îndeplinească condițiile mai sus menționate pot fi atât **software** cât și **hardware**. Opțiunea se face în funcție de destinația finală (supraveghere aeroporturi, stadioane, acces clădiri etc.), modul de operare (asistat sau autonom) și resurse disponibile (camere video, calculatoare, sisteme cu procesor de semnal).

În cele ce urmează s-a optat pentru implementarea software a sistemului de recunoaștere facială (subcapitolul 7.2) dar sunt prezentate soluții de implementare și pentru un sistem hardware (subcapitolul 7.3). Argumentele care stau la baza acestei alegeri au în vedere în primul rând versatilitatea, flexibilitatea soluției soft. Prin contrast, soluția hardware deși este mai rapidă, e utilă doar în momentul în care se operează cu o bază de date stabilă, pentru care procesul de antrenament al RNA nu trebuie să fie reluat.

## **7.2 Implementarea software**

Deși nu este cea mai rapidă metodă de implementare, oferă avantajul flexibilității, în sensul în care pot fi operate cu ușurință modificări necesare în special în faza de antrenare, testare și optimizare a sistemului de recunoaștere facială.

Există numeroase medii și limbaje de programare, dar potrivite pentru dezvoltarea unor aplicații cu RNA sunt **C/C++** și **MATLAB**. Atât în C++ cât și în MATLAB se poate aplica noțiunea de obiect în construcția RNA. Deosebirea dintre cele două limbaje este aceea că C este **compilat** pe când scriptul **MATLAB** e interpretat. De aici ar rezulta o diferență de viteză favorabilă C-ului. În realitate, experimentele descrise în continuare arată o diferență de viteză de 15% între implementări identice C și

MATLAB ale unei RNA, care nu reușește să surmonteze anumite avantaje pe care le oferă mediul MATLAB și care sunt discutate în cele ce urmează.

### 7.2.1 Mediul MATLAB v.5.3

În cadrul acestei lucrări toate referințele au în vedere **MATLAB versiunea 5.3.0** (R11), 21.01.1999.

MATLAB (**MATrix LABoratory**) [96], [97], [98], [99] reprezintă un mediu de programare destinat calculului numeric și reprezentărilor grafice în domeniul științei și ingineriei. Elementul de bază cu care operează MATLAB este **matricea**. Este ușor de extins, prin faptul că orice utilizator poate adăuga propriile funcții sau le poate modifica pe cele existente. Folosind funcțiile predefinite ale MATLAB-ului se obține o **importantă economie de timp** în crearea de noi aplicații. Deasemenea pachetul software include un set de funcții specifice (denumite “toolbox”) anumitor domenii, ca de exemplu: rețele neuronale, logică fuzzy, prelucrări de imagine etc. .

Există posibilitatea modelării, analizei și simulării **sistemelor dinamice**, prin descrierea acestora **la nivel de schemă bloc** prin intermediul mediului Simulink. În această categorie pot fi incluse, de exemplu, sisteme cu procesoare numerice de semnal (“DSP Blockset”) sau sisteme bazate pe circuite electronice de putere (“Power System Blockset”).

Adăugând la cele de mai sus și numeroasele posibilități de reprezentare grafică 2 sau 3D a datelor și **posibilitatea interfațării codului MATLAB cu cel scris în “C” sau limbaj de asamblare** pentru procesoarele de semnal, avem argumentele necesare care să justifice implementarea aplicațiilor cu rețele neuronale prin intermediul MATLAB.

Aceste posibilități sunt sintetizate în fig.7.2.1.1.

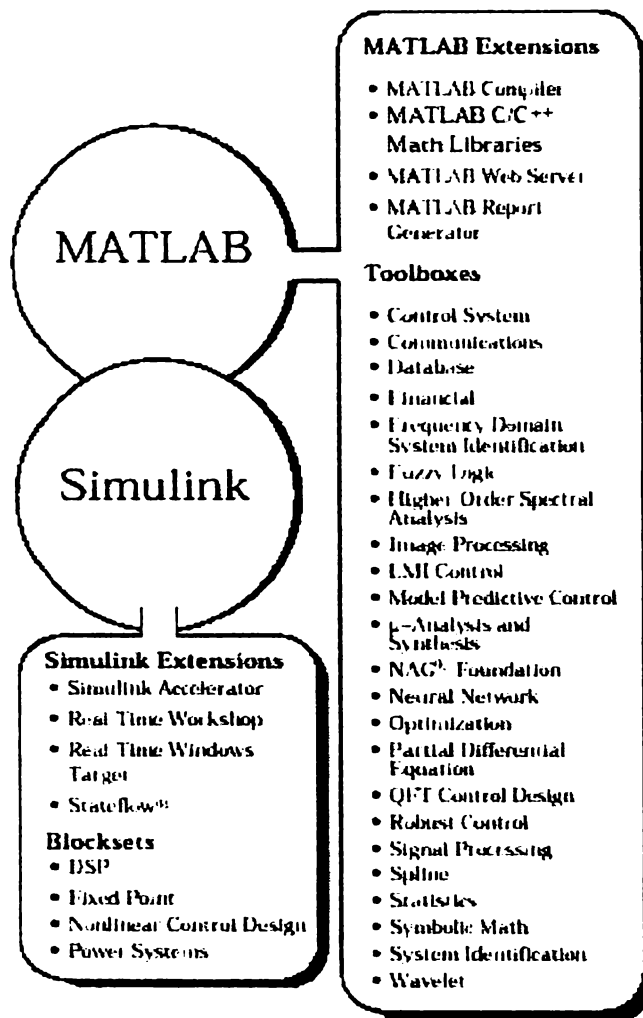


Fig. 7.2.1.1 Posibilitățile oferite de mediul MATLAB v.5.3 [96].

*Multitudinea posibilităților de implementare pentru RNA oferită de setul specific de funcții (toolbox) dedicat acestui domeniu [100], posibilitatea interfațării codului MATLAB cu cel din C sau ASM, facilitățile oferite în dezvoltarea interfeței grafice utilizator sunt argumente pentru alegerea acestui mediu în dezvoltarea aplicației pentru recunoașterea facială.*

### 7.2.2 Dezvoltarea interfeței grafice utilizator

Interfața grafică utilizator, (GUI – Graphical User Interface) are rolul de a mijloci comunicarea între program și cel care îl utilizează. Deși, în aparență, ar putea reprezenta un aspect secundar în realizarea unei aplicații, de multe ori ***succesul acesteia depinde de calitatea designului GUI.***

S-a considerat utilă formularea unor principii după care se va efectua proiectarea interfeței grafice:

- ***Considerații privind aspectele statice ale GUI***

Principiile pe care trebuie să le îndeplinească GUI sunt, cf. [101]: simplitatea, consistența și familiaritatea (fig.7.2.2.1).

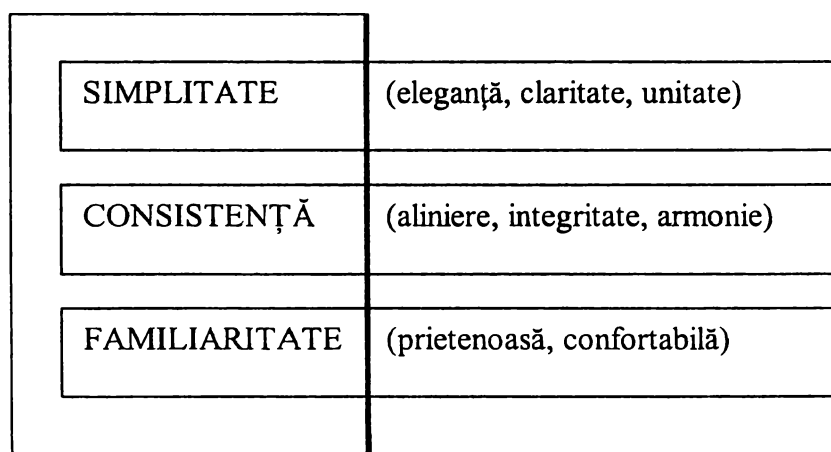


Fig.7.2.2.1 Principiile după care trebuie efectuat designul unei GUI [101].

**Simplitatea.** Reprezintă scopul principal în proiectarea GUI. O interfață grafică simplă sporește claritatea prezentării și dă un sens unitar acesteia. ***Reprezentarea calitativă***, adică sublinierea formei, poate fi mult mai importantă decât ***reprezentarea cantitativă***, numerică.

Tot în acest context se recomandă o ***arie minimă de interacțiune*** între utilizator și program. Se preferă păstrarea unui număr redus de figuri pe ecran. ***Introducerea***

*datelor* se preferă a fi făcută *grafic* și nu numeric.

**Consistența.** Servește la eliminarea confuziei și lipsei orientării utilizatorului în momentul în care interacționează cu programul.

De exemplu, în fig. 7.2.2.2 sunt prezentate două programe MATLAB demonstrative total diferite în fondul problemei. Una se referă la capacitățile MATLAB de analiză a sunetului iar cealaltă la posibilitățile de reprezentare grafică 3D.

Se observă însă același amplasament în pagină a controalelor (în partea dreaptă a figurilor, cu chenar) și chiar unele controale comune (“Info”, “Close”). Acest aspect înlesnește utilizarea unor aplicații diferite ca fond dar care îmbracă aceeași formă.

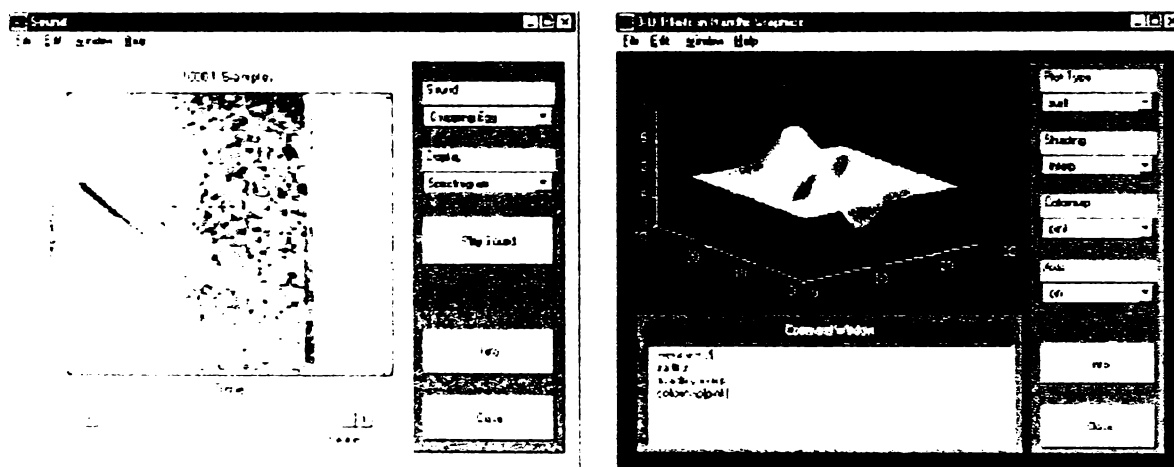


Fig.7.2.2.2 Deși cele două aplicații MATLAB tratează aspecte cu totul diferite, amplasamentul în pagină este identic. Acest fapt elimină confuzia și dezorientarea utilizatorului.

**Familiaritatea.** Dacă interfața grafică este într-un anumit sens familiară utilizatorilor, aceștia vor învăța mai repede să o utilizeze. GUI poate să facă apel la experiența utilizatorului pentru a grăbi înțelegerea acesteia. De exemplu, în fig. 7.2.2.3 se prezintă forma de undă (sus) și analiza spectrală (jos) a tonurilor generate de

formarea unui număr de telefon. Pentru generarea tonurilor se folosește chiar reprezentarea grafică a tastaturii acestuia.

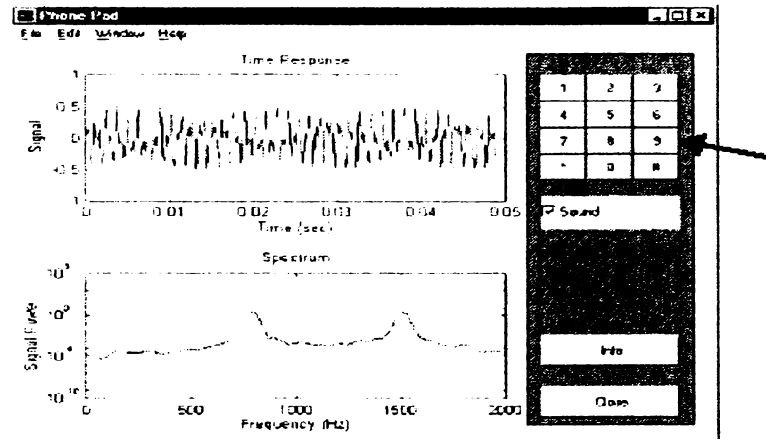


Fig. 7.2.2.3. GUI trebuie să introducă elemente familiare utilizatorului.

- **Considerații privind aspectele dinamice la GUI**

În momentul în care se interacționează cu GUI, acțiunile trebuie să fie: *imEDIATE*, *continue* și *reversibile* (fig.7.2.2.4).

IMEDIAT	(direct)
CONTINUU	(lin)
REVERSIBIL	(prietenos, încurajator)

Fig.7.2.2.4 Principii ale aspectului dinamic al GUI [101].



În acest sens este recomandată manipularea directă a datelor, ca și când acestea ar reprezenta un obiect solid. Având în vedere conceptele de acțiune imediată și continuă, se recomandă, dacă timpul de calcul o permite, afișarea instantanee a rezultatului obținut asupra datelor selectate. Dacă timpul de calcul necesar unei acțiuni este semnificativ, se recomandă folosirea unui buton pentru invocarea acesteia.

În exemplul din fig. 7.2.2.5 utilizatorul are posibilitatea selecției directe a formei de undă (sus) după care transformata Fourier corespunzătoare acesteia va fi afișată instantaneu (jos). Se poate ilustra astfel cu ușurință relația dintre semnal și transformata sa Fourier.

În final, reversibilitatea se referă la capacitatea de a anula efectul uneia sau mai multor acțiuni deja efectuate. Este uneori mai greu de implementat, dar întotdeauna apreciată de utilizator. Capacitatea de anulare încurajează experimentarea diverselor acțiuni și dă un confort sporit în utilizarea GUI.

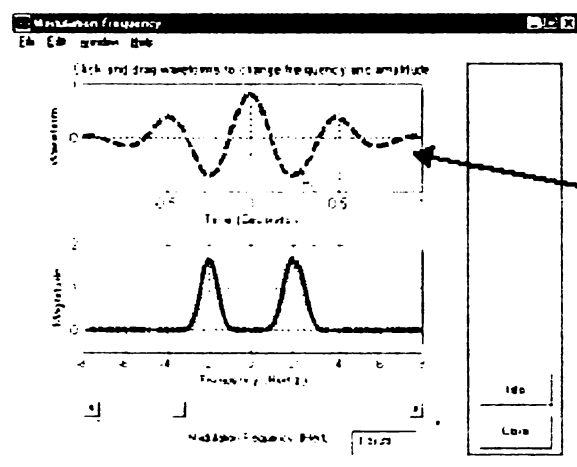


Fig.7.2.2.5 Exemplu de manipulare directă a datelor, cu afișarea instantanee a rezultatului acțiunii.

Se poate afirma în concluzie că pe baza principiilor mai sus enunțate, crearea unei interfețe grafice utilizator, în general, sau folosind mediul MATLAB, în particular, presupune existența a două faze: proiectare și implementare (fig.7.2.2.6).

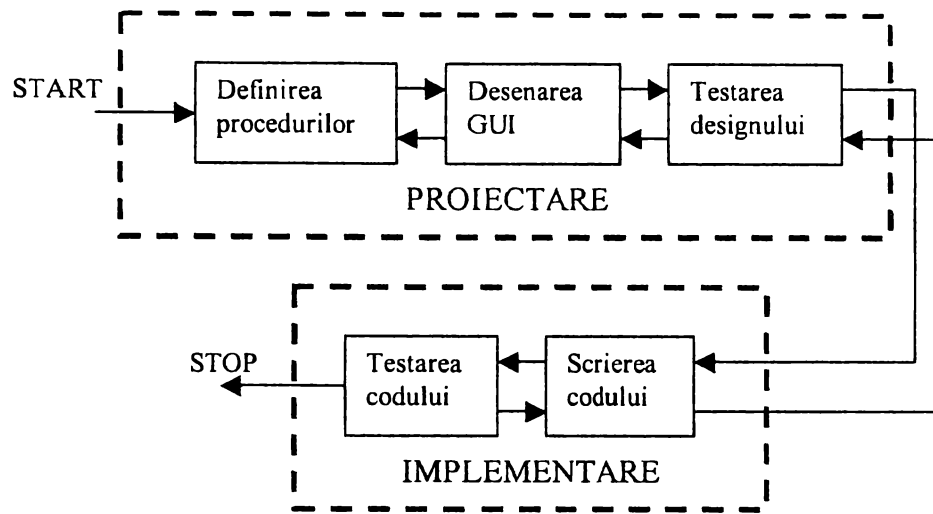


Fig. 7.2.2.6 Etapele realizării unei interfețe grafice utilizator.

Ținând cont de aspectele precizate anterior se va trece la realizarea programului destinat detecției și recunoașterii faciale folosind mediul MATLAB.

### 7.2.3 Recunoaștere facială bazată pe rețele neuronale – implementare MATLAB

Schema bloc a programului MATLAB este prezentată în fig.7.2.3.1. Conform acesteia, pașii necesari a fi parcurși sunt următorii:

1. **Inițializarea.** În cadrul acestei etape se inițializează anumite variabile, se încarcă baza de date ce conține imagini faciale, se lansează în execuție interfața grafică utilizator și funcția care permite afișarea bazei de date.
2. **Mod de operare.** La nivelul GUI se analizează în primul rând starea logică a modului de operare ("Continuu" sau "Secvențial"), implicit setată ca "adevărat" pentru modul "Secvențial". În acest caz succesiunea temporală a operațiilor este lăsată la latitudinea utilizatorului, fiind condiționată uneori doar ordinea acestora. În modul "Continuu" se vor efectua în mod automat și ciclic operațiile: "Start video", "Captură", "Detecție", "Recunoaștere", descrise în cele ce

urmează.

3. **Start video.** Funcția permite pornirea unei surse video (fig.7.2.3.2). Deoarece MATLAB nu furnizează această facilitate s-a folosit standardul Microsoft Video for Windows, clasa AVICap, care permite manipularea surselor video, prin crearea unei biblioteci încărcate dinamic (\*.dll) apelabilă din MATLAB.
4. **Captură.** În momentul în care este apelată permite selectarea cadrului curent din fluxul video (fig.7.2.3.3).
5. **Selecție față.** Permite selectarea manuală, prin intermediul mouse-ului, a unui dreptunghi care să cuprindă o față umană, din scena capturată anterior.
6. **Detecție față.** Permite izolarea automată a unei fețe umane conținută în imaginea obținută la punctul 4 (fig.7.2.3.4).. Deoarece algoritmul procesează imaginea capturată în multiple rezoluții, operațiunea de detecție automată poate să dureze un timp îndelungat, dependent de parametrii algoritmului și viteza procesorului pe care rulează aplicația (ex.: 2 min. pentru INTEL CELERON 533Mhz).
7. **Recunoaștere.** Presupune extragerea trăsăturilor și antrenarea rețelelor neuronale pentru baza de date curentă, apoi extragerea trăsăturilor din imaginea facială obținută la pct. 5 sau 6 și compararea acestora cu cele existente în baza de date. Dacă răspunsul oferit se situează sub un anumit prag, setabil din "Prag recunoaștere", nu este evidențiată nici o imagine din baza de date. Altfel, se va evidenția imaginea recunoscută.

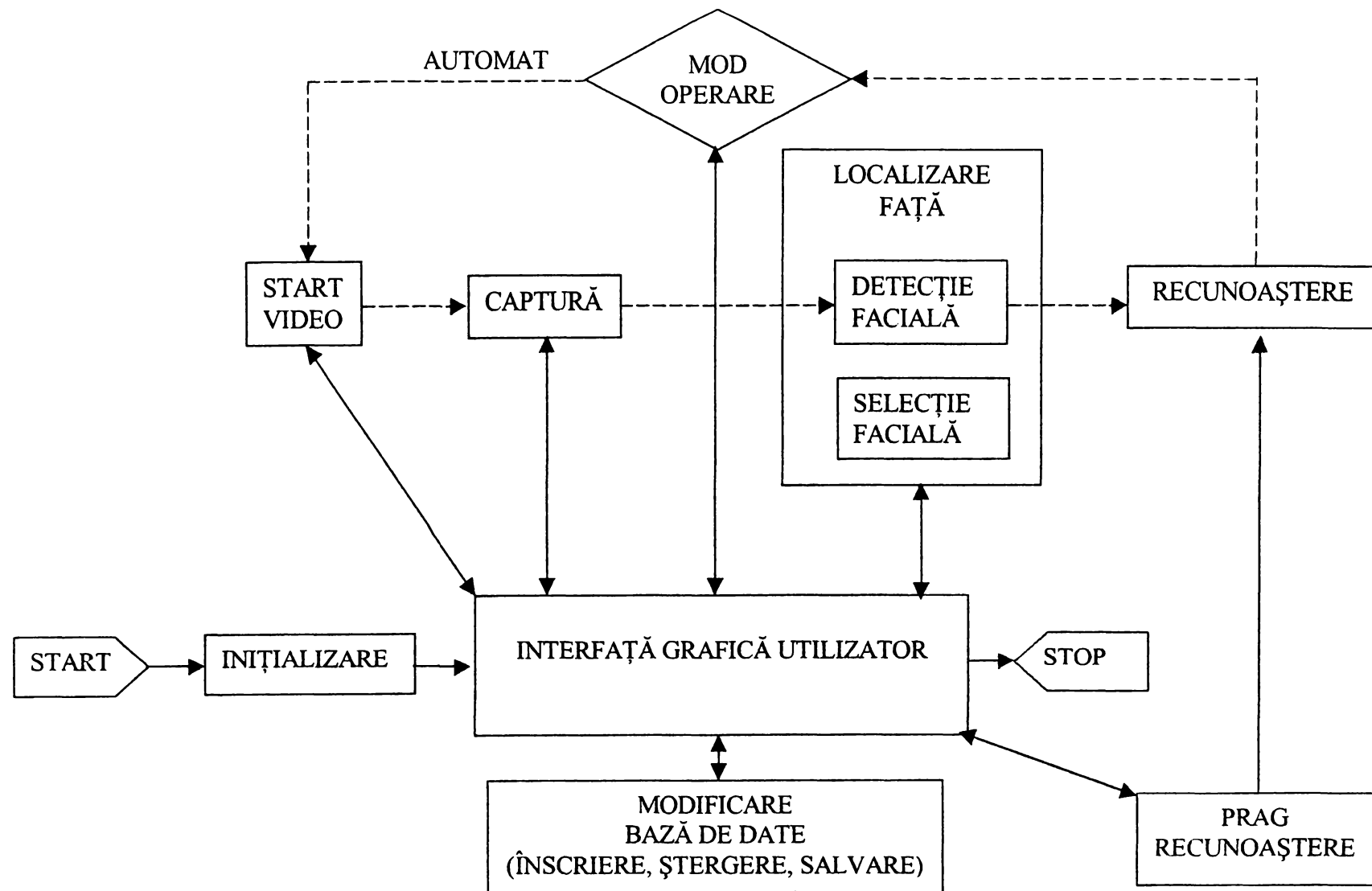


Fig.7.2.3.1 Schema bloc a programului de recunoaștere facială.

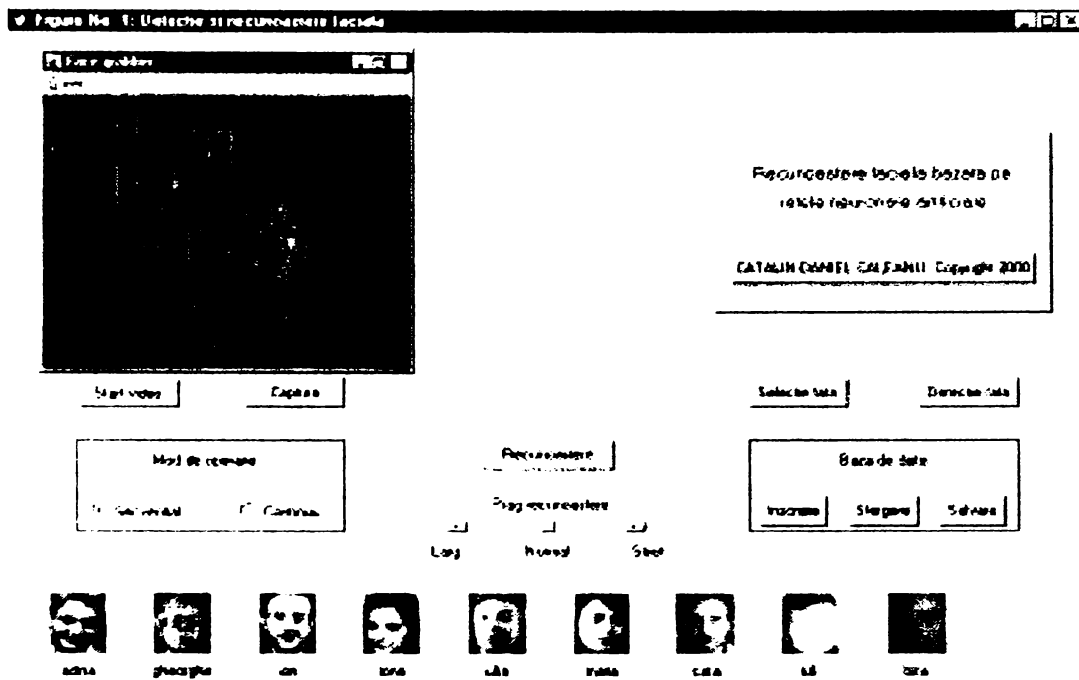


Fig.7.2.3.2 Interfața grafică utilizator permite vizualizarea unui flux video provenit de la o cameră video, în acest caz de tip WEBCAM.

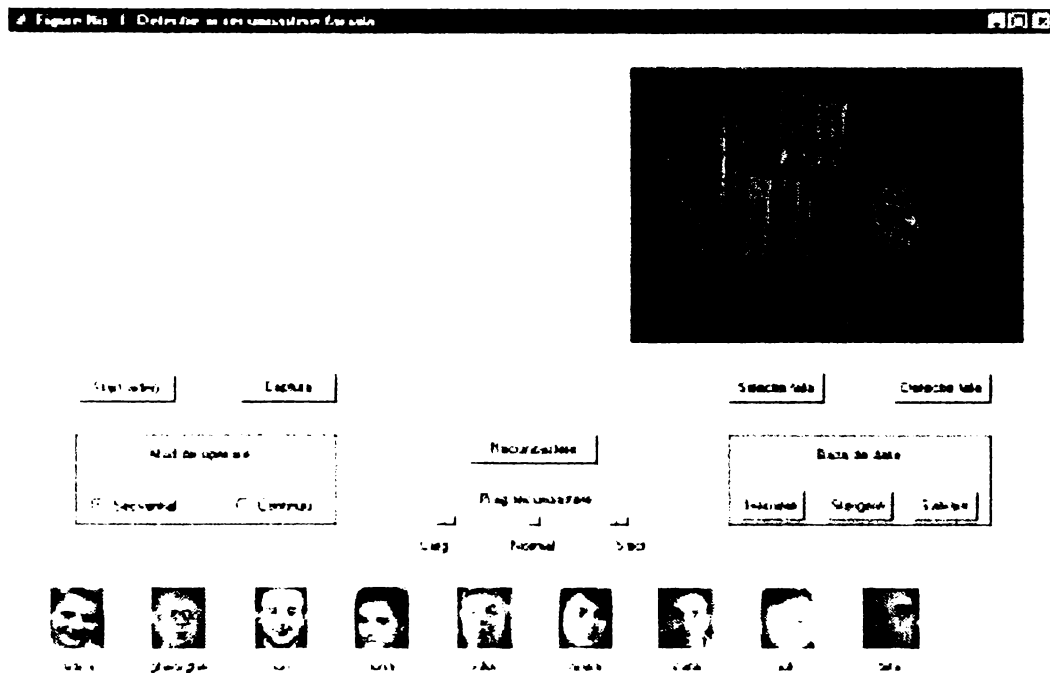


Fig.7.2.3.3 Prin funcția “Captură” se achiziționează cadrul curent din fluxul video.

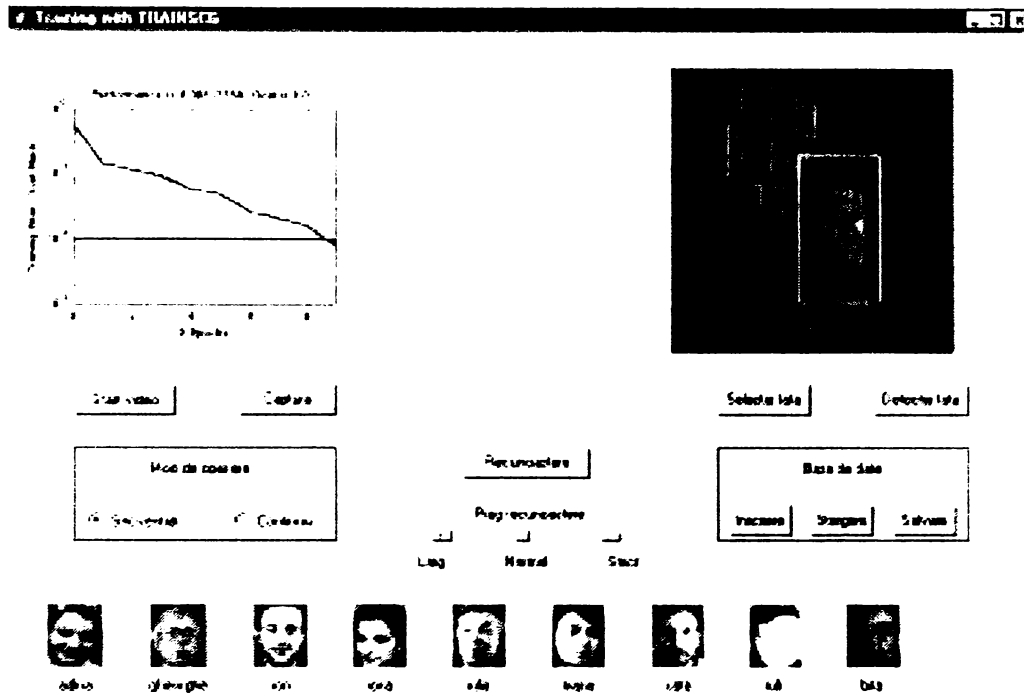


Fig.7.2.3.4 Se observă imaginea facială detectată automat în imagine ("Detecție față") și evoluția procesului de antrenament pentru recunoașterea identității ("Recunoaștere").

#### 7.2.4 Mediu de dezvoltare pentru aplicații MLP – implementare "C/C++"

*BPNNSim v.1.0* (fig.7.2.4.1) reprezintă o aplicație *Windows 95/98* scrisă în *Microsoft Visual C++ 5.0*, dezvoltată de către autorul tezei [84] în scopul implementării unei rețele neuronale artificiale (RNA) total conectată de tip feedforward (*Multilayer Perceptron, MLP*) adică un complex de neuroni artificiali organizați pe nivele (straturi) și între care există conexiuni ponderate astfel încât un neuron nu poate fi conectat decât cu neuroni din stratul imediat superior. În acest mod s-a reușit evaluarea comparativă a implementărilor MATLAB și C/C++ pentru RNA.

Algoritmul de învățare este de tip supervizat cu propagarea înapoi a erorii (*Backpropagation, BP*).

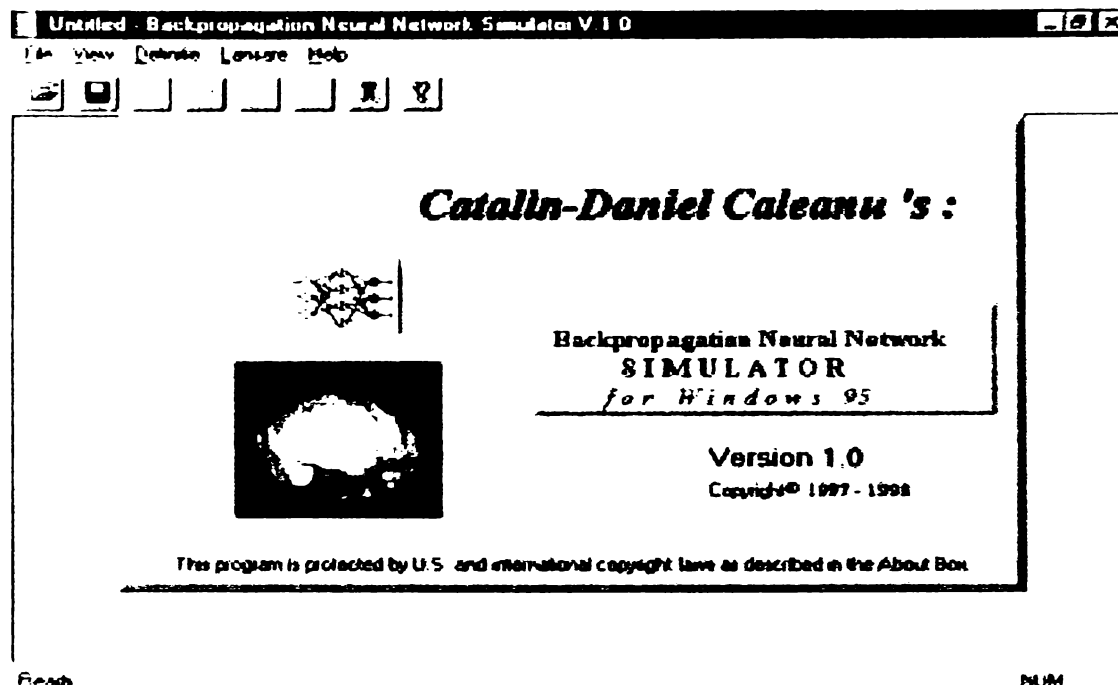


Fig.7.2.4.1 Mediul de dezvoltare C/C++ pentru RNA-MLP

Pentru a crea o aplicație cu RNA folosind BPNNSim se impune parcurgerea următoarelor etape [84]:

1. DESCRIEREA REȚELEI; se face prin deschiderea meniului "Definiție".

a) Submeniul "Număr neuroni" (fig 7.2.4.2) permite specificarea:

-numărului de straturi ascunse ale rețelei;

-numărului de neuroni din stratul de intrare, ieșire sau ascuns.

b) Submeniul "Constante rețea" (fig.7.2.4.3) permite modificarea:

-ratei de învățare inițiale,  $\eta_0$ ; reglează viteza de învățare a rețelei.

- $\tau$ ; rata de învățare se modifică după expresia:

$$\eta[nr\_epoci] = \eta_0 / [1 + nr\_epoci / \tau];$$

-momentum; adaugă o anumită inerție în modificarea ponderilor.

-constanta funcției de activare; fiecare neuron are o funcție de activare sigmoidală.

-eroarea medie minimă după care procesul de învățare este oprit.

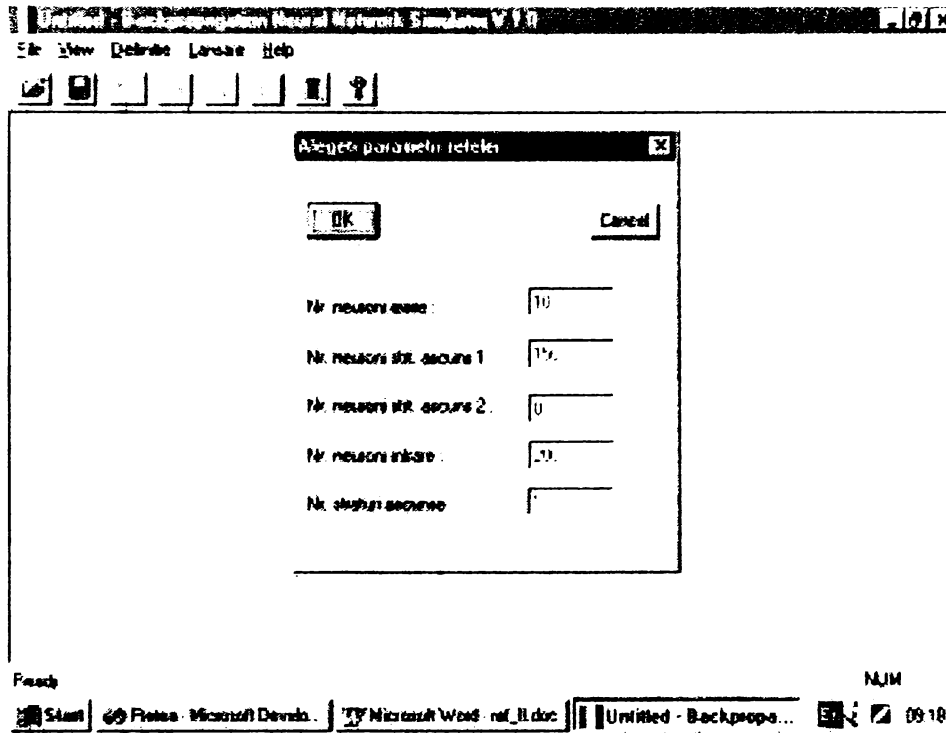


Fig. 7.2.4.2 Configurarea interactivă a RNA, submeniul "Număr neuroni".

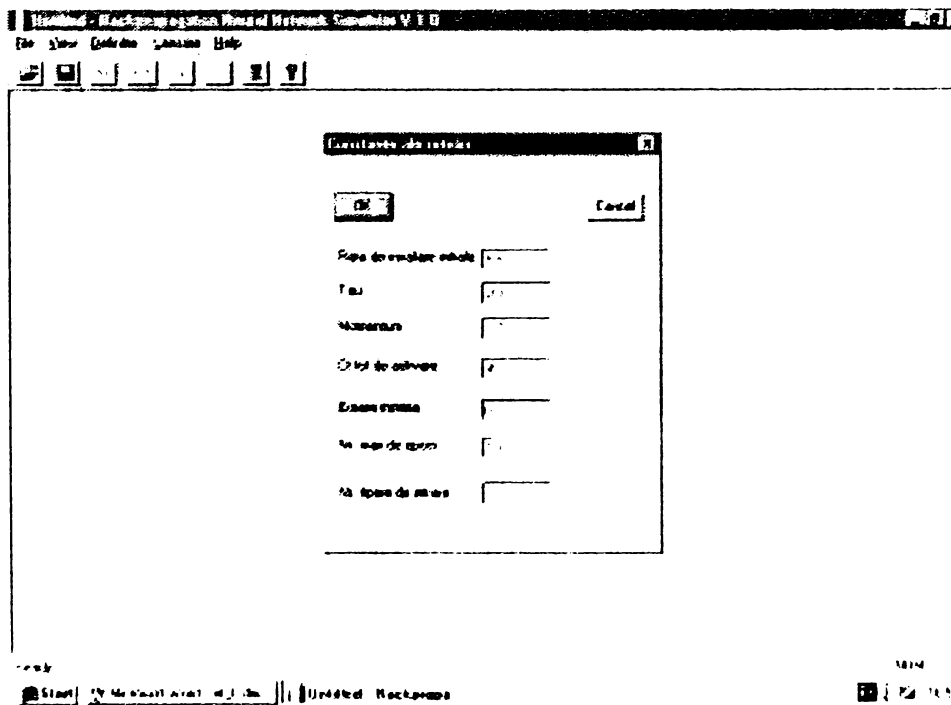


Fig. 7.2.4.3 Configurarea interactivă a RNA, submeniul "Constante rețea".



-numărul maxim de epoci după care procesul de învățare este oprit.

-numărul de tipare aplicate la intrarea rețelei.

2. LANSAREA PROCESULUI DE ANTRENAMENT; se face prin deschiderea submeniului "Antrenament" din meniul "Lansare" (fig. 7.2.4.4). În această etapă rețeaua "învață" un număr de tipare specificat la 1b), fiecare având dimensiunea stratului de intrare.

Dacă eroarea a scăzut suficient de mult se pot salva cunoștințele acumulate ale rețelei sub forma ponderilor și deplasamentelor neuronilor.

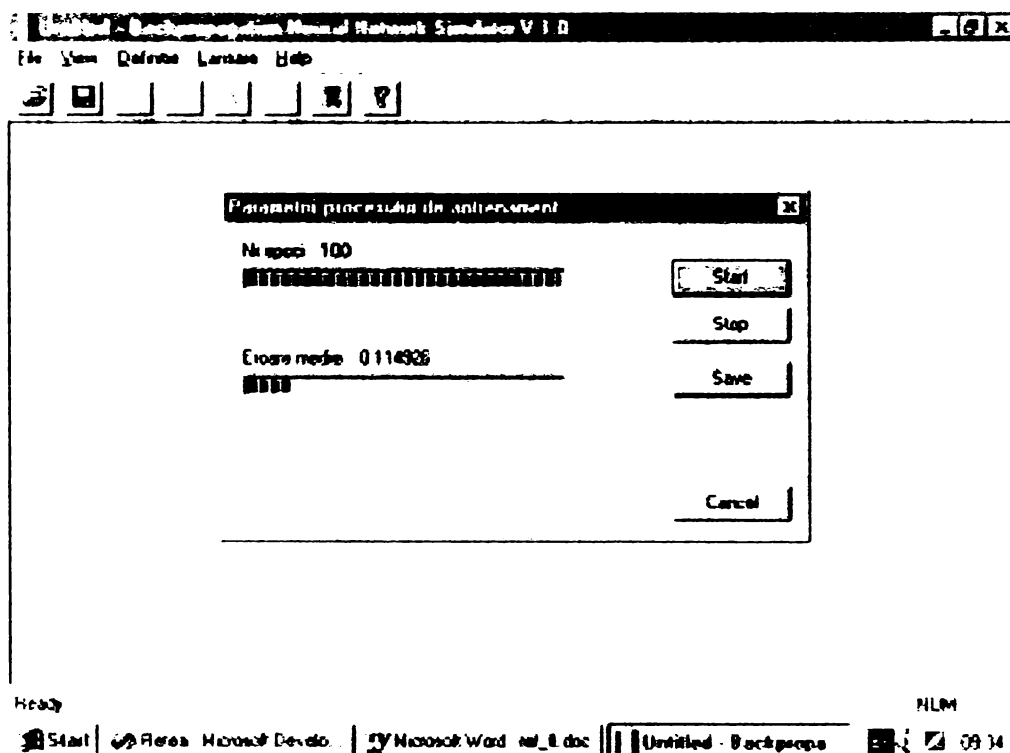


Fig. 7.2.4.4 Desfășurarea procesului de antrenament

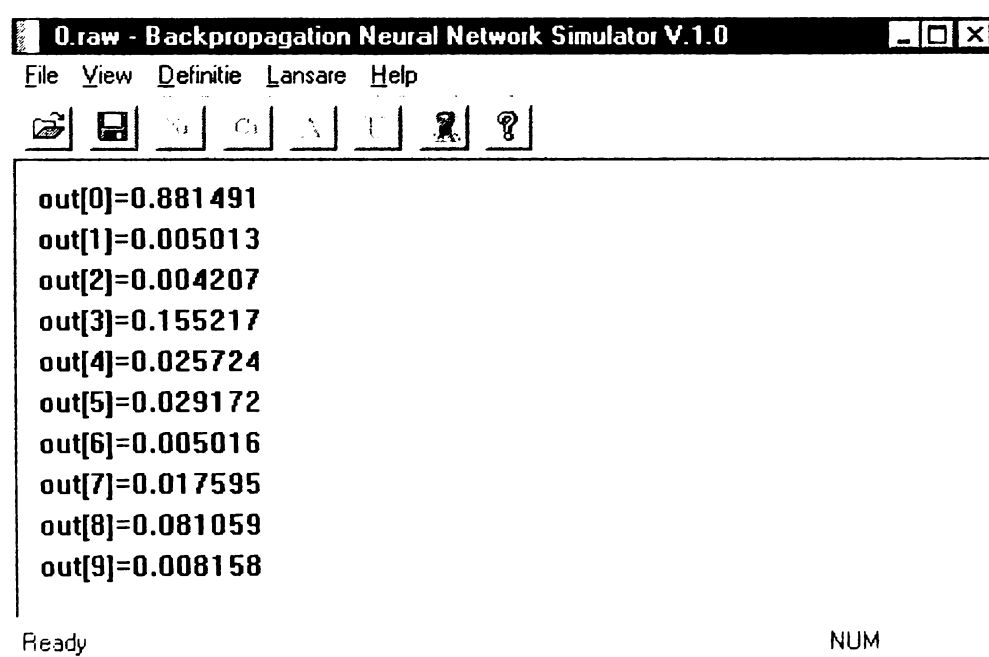
3. LANSAREA PROCESULUI DE UTILIZARE; se selectează fișierul de intrare (în cazul din fig. 7.2.4.5 este vorba despre 0.raw care reprezintă datele de antrenament referitoare la clasa "0") pentru care se dorește efectuarea clasificării ("Deschide" din meniul "Fișier").

Se apelează “Utilizare” din meniul “Lansare”. După inițializarea rețelei (încărcarea cunoștințelor) este afișată starea de activare a fiecărui neuron din stratul de ieșire (se observă faptul că tiparul aplicat la intrare a fost clasificat corect, ieșirea neuronului răspunzător pentru clasa “0” fiind cea activă). Se poate repeta aplicarea de tipare la intrare după același procedeu.

#### 4. OBSERVAȚII

4.1 Numărul de octeți citați din fișierele de intrare (\*.raw) este identic cu cel al numărului de neuroni din stratul de intrare. Fiecare neuron din stratul de intrare primește o valoare cuprinsă între 0 și 255.

4.2 Deoarece rețeaua este folosită ca un clasificator, ieșirea neuronilor din stratul de ieșire ia valori în intervalul 0...1. Tiparul aplicat la ieșirea rețelei (\*.out) este format din caractere 0 sau 1.



```

0.raw - Backpropagation Neural Network Simulator V.1.0
File View Definitie Lansare Help
out[0]=0.881491
out[1]=0.005013
out[2]=0.004207
out[3]=0.155217
out[4]=0.025724
out[5]=0.029172
out[6]=0.005016
out[7]=0.017595
out[8]=0.081059
out[9]=0.008158
Ready NUM

```

Fig. 7.2.4.5 Afișarea stării neuronilor stratului de ieșire.

Evaluând comparativ performanțele a două RNA identice implementate în MATLAB respectiv în C/C++ folosind BPNNSim se constată următoarele:

## **- 108 - Implementarea unui sistem de recunoaștere facială**

- viteza de execuție a versiunii MATLAB e în medie cu 15% mai lentă decât cea C/C++;
- ușurința implementării RNA în MATLAB este net superioară celei "C/C++". Spre exemplu scrierea și depanarea aplicației "C/C++" a durat 4 săptămâni pe când implementarea MATLAB, folosind funcțiile predefinite existente în Neural Network Toolbox, ia câteva minute.

## 7.3 Implementarea hardware

Procesoarele numerice de semnal (DSP) par a fi una dintre opțiunile viabile pentru implementarea hardware a RNA datorită vitezei mari de procesare și a arhitecturii optimizate pentru procesarea paralelă cerută în cazul acestor aplicații. În [102] autorul tezei și colectivul prezintă un sistem care permite dezvoltarea rapidă a aplicațiilor industriale ale RNA iar în [103] este prezentată o aplicație concretă a principiilor enunțate în [102]. Procedura de dezvoltare implică doi pași:

- a) Simularea RNA folosind un mediu corespunzător (ex.: MATLAB, BPNNSim), pentru stabilirea configurației și parametrilor optimi pentru aplicația în cauză;
- b) Implementarea RNA pe un sistem cu procesor de semnal care să îndeplinească cerințele necesare operării în timp real.

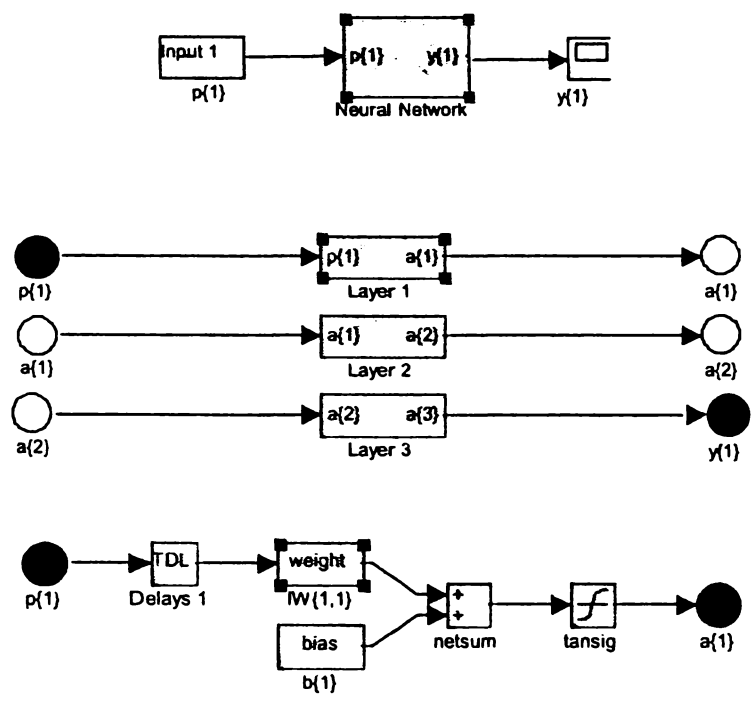
Problema principală constă în definirea unui obiect de tip rețea neuronală care să poată circumscrie totalitatea arhitecturilor posibile (RNA tip MLP, RBF, SOFM etc.) printr-o reprezentare unificatoare. Un exemplu de rezolvare pentru această problemă este propus în [100]; se pot observa în fig. 7.3.1 a și b proprietățile unui obiect de tip RNA pentru cazul MLP cu un singur strat ascuns și implementarea la nivel de bloc. De asemenea există posibilitatea implementării unor arhitecturi RNA atipice (fig.7.3.3).

În concluzie, cvasitotalitatea RNA pot fi implementate definind doar 3 tipuri de blocuri: a) tip intrare; b) tip funcție de transfer; c) tip funcție pondere (fig.7.3.2). Practic, printr-o interfață grafică simplă, câmpurile obiectului “rețea neuronală” sunt trimise DSP-ului. Acesta dispune de totalitatea blocurilor implementate în limbajul de asamblare specific DSP-ului, ceea ce conferă viteza necesară unei aplicații în timp real.

O posibilă soluție hardware constă din procesorul de semnal de uz general, preț scăzut, TMS320VC33 [104] folosit ca și coprocesor și un microcontroller tip 8051 care să furnizeze semnalele de comandă pentru proces și să asigure schimbul de date (RS232/RS485) între sistem și computer. Sistemul cu DSP poate conține o placă de extensie (“daughter board”) pentru achiziție de date, întreg ansamblul fiind guvernat de către un sistem de operare care rulează pe microcontroller.

<pre>net1 = Neural Network object:  architecture:    numInputs: 1   numLayers: 2   biasConnect: [1; 1]   inputConnect: [1; 0]   layerConnect: [0 0; 1 0]   outputConnect: [0 1]   targetConnect: [0 1]    numOutputs: 1 (read-only)   numTargets: 1 (read-only)   numInputDelays: 0 (read-only)   numLayerDelays: 0 (read-only)  subobject structures:    inputs: {1x1 cell} of inputs   layers: {2x1 cell} of layers   outputs: {1x2 cell} containing 1 output   targets: {1x2 cell} containing 1 target   biases: {2x1 cell} containing 2 biases   inputWeights: {2x1 cell} containing 1 input weight   layerWeights: {2x2 cell} containing 1 layer weight</pre>	<p>functions:</p> <pre> adaptFcn: 'adaptwb' initFcn: 'initlay' performFcn: 'mse' trainFcn: 'trainrp' </pre> <p>parameters:</p> <pre> adaptParam: .passes initParam: (none) performParam: (none) trainParam: .epochs, .show, .goal, .time,             .min_grad, .max_fail, .delt_inc, .delt_dec,             .delta0, .deltamax, .lr, .mc </pre> <p>weight and bias values:</p> <pre> IW: {2x1 cell} containing 1 input weight matrix LW: {2x2 cell} containing 1 layer weight matrix b: {2x1 cell} containing 2 bias vectors </pre> <p>other:</p> <pre> userdata: (user stuff) </pre>
--	---

a)



b)

Fig.7.3.1 a) Proprietățile unui obiect de tip RNA. b) Schema bloc ierarhizată pentru implementarea unei RNA-MLP cu un singur strat ascuns.

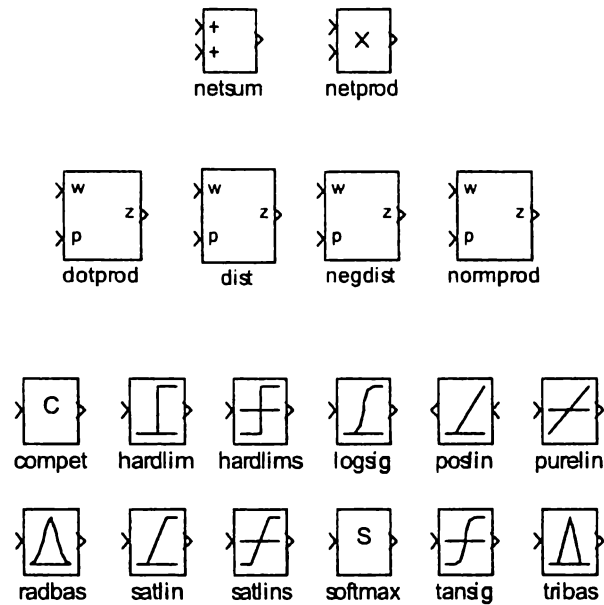


Fig.7.3.2 Blocuri necesare pentru implementarea RNA: tip intrare, pondere și transfer.

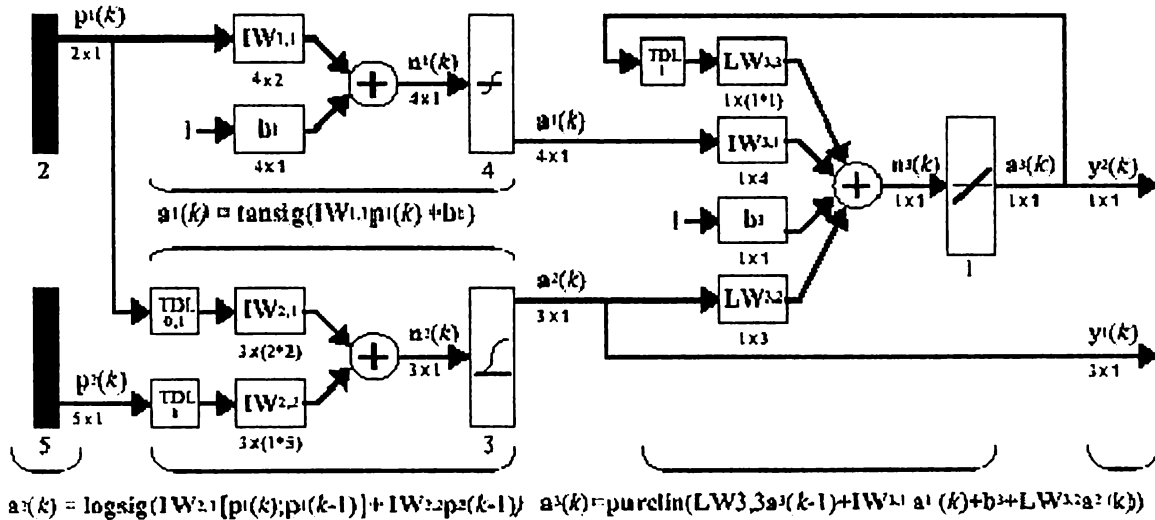


Fig. 7.3.3 Folosind specificațiile pentru obiectul “rețea neuronală” și blocurile funcționale predefinite se poate implementa orice tip de arhitectură de RNA. Se prezintă aici un caz atipic de RNA cu două straturi ascunse.

## 7.4 Concluzii

În cadrul acestui capitol se tratează problema implementării unui sistem de recunoaștere facială în timp real. Sunt subliniate posibilitățile pe care o astfel de aplicație trebuie să le ofere: posibilitatea **interfațării aplicației cu sursa de semnal video** folosită la captura imaginilor faciale, posibilitatea de **selecție și/sau detecție automată a prezenței unei imagini faciale** într-o imagine, posibilități de **manipulare a unei baze de date** care să cuprindă imagini faciale, posibilitatea lansării unui **proces de recunoaștere**.

Sunt propuse două metode concrete de implementare: **software și hardware**. Referitor la opțiunea software se poate concluziona faptul că oferă o viteză de execuție în general mai mică decât cea hardware dar avantajul unei versatilități sporite. Va fi deci deosebit de importantă în etapa de dezvoltare a aplicației. Metoda hardware oferă prin posibilitatea procesării paralele a instrucțiunilor, viteză de lucru sporită la un cost scăzut, însă flexibilitatea metodei este redusă.

În ceea ce privește modalitatea software de implementare sunt analizate posibilitățile oferite de mediile **MATLAB v.5.3** și **Microsoft Visual C++ 5**. Sunt evidențiate comparativ avantajele și dezavantajele celor două medii. Principalele concluzii sunt următoarele: **MATLAB** oferă, prin folosirea funcțiilor specifice domeniului rețelelor neuronale (“Neural Network Toolbox”) și celor specifice procesării de imagini (“Image Processing Toolbox”) posibilitatea **dezvoltării extrem de rapide a unei aplicații**. Se pot modifica cu ușurință diverși parametri ai procesului de antrenament, inclusiv diverși algoritmi de antrenament. **Facilitățile de vizualizare** în acest caz sunt impresionante. Există deasemenea posibilitatea **translației codului MATLAB în C/C++** sau folosirea funcțiilor MATLAB din C/C++.

Se arată de către autorul tezei că cea de-a doua soluție de implementare software, mediul **Visual C++ 5.0**, oferă un spor de viteză mediu de 15% în cazul implementării unei RNA de tip feedforward, față de implementarea MATLAB. Având în vedere faptul că algoritmul care descrie funcționarea unei RNA este deosebit de

complex, costul dezvoltării acestuia în C/C++ devine prohibitiv.

În concluzie, pe baza argumentației sus-menționate, pentru sistemul de recunoaștere facială, în versiune software, este aleasă implementarea MATLAB.

Se remarcă importanța deosebită a principiilor care stau la baza designul unei interfețe grafice utilizator (simplitatea, consistența și familiaritatea – pentru aspectul static al GUI; imediate, continue și reversibile – pentru aspectele dinamice ale GUI) și se concluzionează că succesul aplicației depinde în mare măsură și de calitatea interfeței grafice utilizator. Pe baza acestor principii se realizează, în MATLAB v.5.3, sistemul de recunoaștere facială (§ 7.2.3) și, în Visual C++, un mediu de dezvoltare pentru aplicații cu RNA-MLP (§ 7.2.4). ANEXA 5 conține codul sursă MATLAB pentru sistemul de recunoaștere facială propus de către autorul tezei.

În ceea ce privește implementarea hardware o posibilă soluție propusă de autorul tezei ([102], [103]) constă din procesorul de semnal de uz general, preț scăzut, TMS320VC33 folosit ca și coprocesor și un microcontroller tip 8051 care să furnizeze semnalele de comandă pentru proces și să asigure schimbul de date (RS232/RS485) între sistem și computer. Sistemul cu DSP poate conține o placă de extensie (“daughter board”) pentru achiziție de date, întreg ansamblul fiind guvernat de către un sistem de operare care rulează pe microcontroller.





# CAPITOLUL 8

## Concluzii

În prezenta lucrare se abordează domeniul prelucrărilor digitale de imagini (PDI) din perspectiva rețelelor neuronale artificiale (RNA). Se arată că majoritatea prelucrărilor de imagini (filtrare, codare, compresie, segmentare, reprezentare și interpretare) pot fi abordate cu succes de către RNA și se concluzionează faptul că acestea oferă certe avantaje față de metodele clasice ale PDI.

Particularizând aspectele sus menționate, teza tratează detaliat problema detecției și recunoașterii faciale bazate pe RNA. Autorul tezei propune o arhitectură pentru un sistem de recunoaștere facială bazată pe o combinație dintre metode convenționale ale PDI, în sensul în care acestea nu folosesc RNA, pentru partea de detecție și extragere de trăsături și RNA tip perceptron multistrat (RNA-MLP) într-o structură paralelă și ierarhică pentru etapa de clasificare.

Pentru elaborarea modelului sistemului de recunoaștere facială sunt analizate și comparate metodele convenționale sau cu RNA prezentate în literatura detecției și recunoașterii faciale. În urma acestei analize se desprinde concluzia referitoare la utilitatea unei soluții hibride convențional-neuronal pentru problema recunoașterii faciale.

Este identificat un principal dezavantaj al soluțiilor RNA și anume acela al timpului considerabil aferent etapei de antrenament, mai ales în cazul des întâlnit în PDI în care vectorii de antrenament au o dimensionalitate ridicată. În sensul rezolvării acestei probleme, autorul tezei propune două metode de antrenament pentru cazurile în care nu sunt/sunt extrase trăsături din imaginea ce urmează a fi prelucrată: o soluție neuro-fuzzy pentru adaptarea ratei de învățare și o soluție obținută din modificarea algoritmilor bazați pe metoda gradientului conjugat.

În final autorul tezei oferă implementarea software a considerațiilor teoretice

referitoare la arhitectura optimă a unui sistem de recunoaștere facială. Sunt identificate însă și posibilități hardware de implementare a sistemului.

## 8.1 Comparație cu alte sisteme de recunoaștere facială

Efectuând comparația sistemului de recunoaștere facială propus în cadrul acestei lucrări cu alte sisteme de recunoaștere facială prezentate în literatură, asupra aceleiași baze de date și în aceleași condiții de experimentare, se constată ocuparea poziției secunde într-un clasament al performanțelor celor mai bune 8 sisteme (tab.8.1.1). Criteriul de comparație este cel standard folosit în cazul bazei de date ORL și anume rata erorii asupra datelor de test pentru cazul 5 imagini/persoană în etapa de antrenament. Performanța sistemului propus de autorul tezei este situată la o diferență de doar 0,6% față de cea mai bună metodă prezentată în literatura recunoașterii faciale.

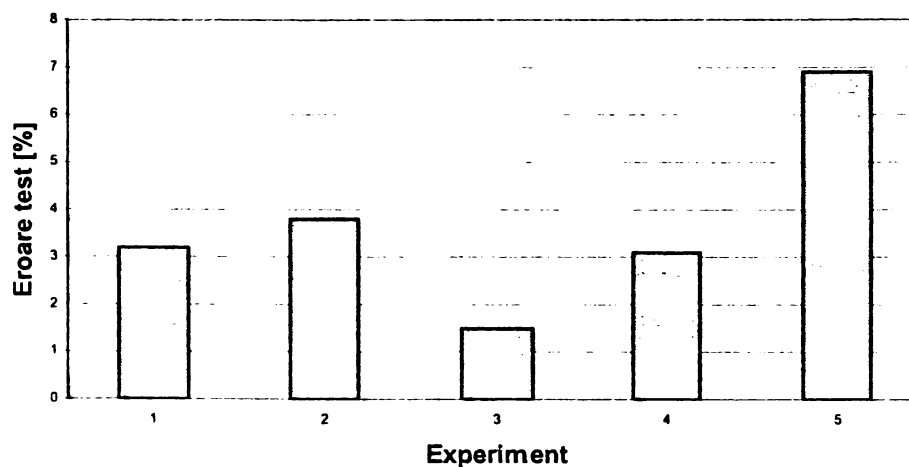


Fig.8.1.1 Eroare medie în etapa de test obținută ca medie a erorilor în 5 experimente consecutive.

Se constată nivelul record al erorii de test 1,5% obținut în experimentul nr.3.

De subliniat faptul că performanța de 3,7% eroare asupra datelor de test reprezintă o *medie efectuată asupra a 5 experimente succesive*. După cum se poate remarca în fig.8.1.1 au fost obținute *rezultate individuale* în care eroarea de test scădea

sub 1.5%, performanță neraportată până în prezent de nici unul din sistemele de recunoaștere facială prezentate în literatură. Motivul pentru care se obțin rezultate diferite pentru experimente consecutive este justificat prin modul de alcătuire aleator pentru imaginile de test și antrenament, cele 200 de imagini de test și 200 de antrenament fiind de fiecare dată altele. La aceasta s-ar mai putea adăuga, cu o influență mai mică însă, și modul aleator de inițializare a ponderilor RNA-MLP.

Autor	Tehnică	Eroare date test [%]			Timp de prelucrare (caz 5 img./pers.)	
		Număr de imagini/persoană			Antrenament	Clasificare
		1	3	5		
1. S.Z. Li și J. Lu [71]	Linia trăsăturilor	-	-	3,125	-	-
2. C.D. Căleanu [95]	Operator interes + 3 x MLP + MED.	31,27	10,28	3,70	18 min.	0,03 s INTEL CELERON 533MHz
3. Lawrence și colectiv [75]	SOM + CN	30,0	11,8	3,80	4 ore	<0,5 s SGI INDY R4400 100MHz
4. Lin și colectiv [77]	PDBNN	-	-	4,00	20 min.	< 0,1s SGI INDY R4400 100MHz
5. Samaria și Hartner [105]	Pseudo 2D-HMM	-	-	5,00	-	4min.
6. Howell și Buxton [79]	Gabor+RBF	51	38	14	8 s	0,01s
	Gabor+RBF cu eliminare	16	9	5	8 s	0,01s Sun SPARC 20
7. Pessoa și Leitao [83]	Celule complexe	26,25	10,95	6,65	-	-
8. Lawrence și colectiv [75]	Fete proprii	39	18	11	-	-
	PCA + CN	44	13	8	-	-

Tab.8.1.1 Comparația între cele mai bune sisteme de recunoaștere facială asupra bazei de date ORL în condițiile standard de experimentare.

## 8.2 Contribuții

Sunt sumarizate în continuare contribuțiile originale ale autorului tezei, în ordinea în care acestea apar în structura tezei.

### 1. Contribuții în domeniul rețelelor neuronale artificiale folosite în prelucrarea digitală a imaginilor.

- Sunt identificate proprietăți ale RNA care fac utilă folosirea acestora în PDI [13], [39].
- Se investighează modalitățile de implementare a prelucrărilor de imagini (filtrare, codare, compresie, segmentare, reprezentare și interpretare) cu ajutorul RNA. Prin rezolvarea câtorva probleme concrete autorul tezei demonstrează că RNA reprezintă o soluție viabilă pentru PDI [29], [20], [21], [22].

### 2. Contribuții privind algoritmi rapizi de antrenament pentru rețele neuronale cu propagare înainte (feedforward).

- Se prezintă algoritmi de antrenament pentru o RNA feedforward într-o manieră unitară, ca fiind derivați ai unei strategii de optimizare.
- Se efectuează analiza performanțelor principalilor algoritmilor de antrenament.
- Autorul tezei propune două metode de antrenament pentru cazurile în care nu sunt/sunt extrase trăsături din imaginea ce urmează a fi prelucrată: o soluție neuro-fuzzy pentru adaptarea ratei de învățare și o soluție obținută din modificarea algoritmilor bazați pe metoda gradientului conjugat [44], [45], [106].
- Este dezvoltată, conform standardelor MATLAB, o funcție (*trainfuzzy*) care să implementeze metoda de antrenament cu adaptarea ratei de învățare (ANEXA 1) și sunt comparate performanțele acesteia cu alte metode de antrenament în trei tipuri de probleme (ANEXA 2).

### 3. Contribuții în domeniul detecției și recunoașterii faciale.

- Se realizează o privire de ansamblu asupra metodelor convenționale și neuronale de recunoaștere facială [85]. Se compară avantajele și dezavantajele metodelor mai sus menționate în ceea ce privește modalitățile de preprocesare, extragere trăsături și clasificare și se deduce faptul că arhitectura optimă a unui sistem de recunoaștere trebuie să fie bazată pe o soluție hibridă convențional-neuronală [84], [85].
- Autorul tezei propune o arhitectură pentru un sistem de detecție și recunoaștere facială. Pentru fiecare din etapele ce le presupune acest sistem sunt oferite soluții de implementare.
- Se demonstrează viabilitatea unei metode de extragere a trăsăturilor, denumită metoda operatorului de interes pentru cazul recunoașterii faciale. După cunoștința autorului tezei această metodă nu a mai fost aplicată în problema recunoașterii faciale. Se arată că prin folosirea acestei metode se obțin: o eroare aferentă datelor de test pentru problema ORL de cca. 8,80% deci o acuratețe a performanțelor clasificatorului cu 40% mai bună față de cazul în care imaginile ar fi fost aplicate direct, o reducere a dimensionalității vectorilor de antrenament de 12 ori și o reducere a timpului de antrenament de 4 ori [93].
- Se studiază efectul rezoluției imaginii faciale asupra ratei de clasificare. S-a constatat că performanțele sistemului de recunoaștere facială cresc pe măsură ce rezoluția imaginilor descrește, ating un maxim pentru un factor de reeșantionare de 1/2 iar dacă rezoluția scade în continuare (factor de reeșantionare 1/4) performanțele se înrăutățesc. Totodată s-a studiat efectul dimensiunii ferestrei din care sunt extrase trăsăturile asupra performanței sistemului de recunoaștere facială [94]. Codul sursă MATLAB aferent acestor experimente este oferit în ANEXA 3.
- Se arată că performanțele sistemului pot fi în continuare îmbunătățite prin folosirea unei structuri paralele și ierarhice ale ansamblului extragere trăsături – clasificator. Se investighează două modalități concrete de agregare a răspunsurilor RNA individuale: printr-o RNA ierarhic superioară și prin medierea răspunsurilor RNA

individuale. A doua metodă oferă rezultatele cele mai bune, obținându-se pentru baza de date ORL, cazul 5 imagini/persoană, performanța de 3,70% pentru eroarea aferentă datelor de test (valoare medie a 5 experimente consecutive) ceea ce situează metoda propusă pe poziția a doua în topul celor mai buni 10 algoritmi de recunoaștere facială [95]. Codul sursă MATLAB aferent acestor experimente este oferit în ANEXA 4.

#### **4. Contribuții în implementarea unui sistem de recunoaștere facială.**

- Se analizează posibilitățile software (MATLAB și Visual C++) de implementare a sistemului de recunoaștere facială propus și se compară performanțele obținute. Se concluzionează că deși varianta MATLAB are un deficit de 10% în ceea ce privește viteza de execuție pentru cazul concret al unei aplicații de recunoaștere facială, este preferabilă celei Visual C++ pentru implementarea sistemului de recunoaștere facială datorită facilităților oferite de Neural Network Toolbox și Graphical User Interface Design Environment.
- Se propune și o soluție hardware bazată pe procesorul de semnal de uz general, preț scăzut, TMS320VC33 folosit ca și coprocesor în conjuncție cu un microcontroller tip 8051 [102], [103].
- În final se realizează un sistem de recunoaștere facială capabil să opereze în timp real. Codul sursă MATLAB aferent acestuia este prezentat în ANEXA 5.

### 8.3 Direcții viitoare de cercetare

Problema recunoașterii faciale este studiată de către autorul tezei, ca de altfel și de cvasitotalitatea celorlalte abordări din literatura specifică acestui domeniu, din perspectiva prelucrării imaginilor reprezentate în tonuri de gri.

O posibilă direcție de investigație ar reprezenta-o prelucrarea imaginilor color, având în vedere că la ora actuală majoritatea camerelor de luat vederi oferă posibilitatea achiziției acestor tipuri de imagini. Este probabil, ca prin tehnici de extragere a trăsăturilor adecvate, să se obțină informație suplimentară față de cazul imaginilor alb-negru care să ajute în final la îmbunătățirea performanțelor etapei de clasificare.





# ANEXA 1

## A1.1 Definiție controler fuzzy.

## A1.2 Funcție de antrenament fuzzy (trainfuzzy) pentru RNA tip feedforward definită conform standardului MATLAB.

### A.1.1 Definiție controler fuzzy

```
[System]
Name='controler0'
Type='mamdani' % tip controler
Version=2.0
NumInputs=2
NumOutputs=1
NumRules=25
AndMethod='min'
OrMethod='max'
ImpMethod='min'
AggMethod='max'
DefuzzMethod='centroid' % metoda de defuzzyficare

[Input1]
Name='p'
Range=[0.5 1.5]
NumMFs=5
MF1='p1': 'trapmf', [0.5 0.5 0.7 0.85]
MF2='p2': 'trimf', [0.75 0.85 1]
MF3='p3': 'trimf', [0.95 1 1.05]
MF4='p4': 'trimf', [1 1.15 1.25]
MF5='p5': 'trapmf', [1.15 1.3 1.5 1.5]

[Input2]
Name='dp'
Range=[-0.05 0.05]
NumMFs=5
MF1='dp1': 'trapmf', [-0.05 -0.05 -0.03 -0.02]
MF2='dp2': 'trimf', [-0.025 -0.015 -0.005]
MF3='dp3': 'trimf', [-0.01 0 0.01]
MF4='dp4': 'trimf', [0.005 0.015 0.025]
MF5='dp5': 'trapmf', [0.02 0.03 0.05 0.05]

[Output1]
Name='c'
Range=[0.4 1.3]
NumMFs=5
MF1='c1': 'trapmf', [0.4 0.4 0.65 0.85]
MF2='c2': 'trimf', [0.75 0.85 1]
MF3='c3': 'trimf', [0.95 1 1.05]
MF4='c4': 'trimf', [1 1.1 1.2]
```

```
MF5='c5': 'trapmf', [1.1 1.2 1.3 1.3]
```

```
[Rules]
1 1, 5 (1) : 1
1 2, 5 (1) : 1
1 3, 4 (1) : 1
1 4, 3 (1) : 1
1 5, 2 (1) : 1
2 1, 5 (1) : 1
2 2, 4 (1) : 1
2 3, 4 (1) : 1
2 4, 2 (1) : 1
2 5, 2 (1) : 1
3 1, 4 (1) : 1
3 2, 4 (1) : 1
3 3, 4 (1) : 1
3 4, 2 (1) : 1
3 5, 1 (1) : 1
4 1, 3 (1) : 1
4 2, 2 (1) : 1
4 3, 2 (1) : 1
4 4, 2 (1) : 1
4 5, 1 (1) : 1
5 1, 2 (1) : 1
5 2, 2 (1) : 1
5 3, 1 (1) : 1
5 4, 1 (1) : 1
5 5, 1 (1) : 1
```

### **A1.2 Funcție de antrenament fuzzy (trainfuzzy) pentru RNA tip feedforward definită conform standardului MATLAB.**

```
function [net,tr] = trainfuzzy(net,Pd,Tl,Ai,Q,TS,VV,TV)
fismat = readfis('controler0');

if isstr(net)
    switch (net)
        case 'pnames',
            net = fieldnames(trainfuzzy('pdefaults'));
        case 'pdefaults',
            trainParam.epochs = 200;
            trainParam.goal = 0;
            trainParam.lr = 0.01;
            c=1;
            trainParam.lr_dec = 0.7;
            trainParam.lr_inc = 1.05;
            trainParam.max_fail = 5;
            trainParam.max_perf_inc = 1.04;
            trainParam.mc = 0.9;
            trainParam.min_grad = 1.0e-6;
            trainParam.show = 25;
            trainParam.time = inf;
            net = trainParam;
        otherwise
            error('Unrecognized code.')
```

```

end
return
end

% CALCULATION
% =====

% Constants
this = 'trainfuzzy0';
epochs = net.trainParam.epochs;
goal = net.trainParam.goal;
lr = net.trainParam.lr;
lr_inc = net.trainParam.lr_inc;
lr_dec = net.trainParam.lr_dec;
max_fail = net.trainParam.max_fail;
max_perf_inc = net.trainParam.max_perf_inc;
mc = net.trainParam.mc;
min_grad = net.trainParam.min_grad;
show = net.trainParam.show;
time = net.trainParam.time;
doValidation = ~isempty(VV);
doTest = ~isempty(TV);

% Initialize
stop = '';
startTime = clock;
X = getx(net);
[perf,E,Ac,N,Zb,Zi,Zl] = calcperf(net,X,Pd,Tl,Ai,Q,TS);
perf1=perf;
[gX,normgX] = calcgx(net,X,Pd,Zb,Zi,Zl,N,Ac,E,perf,Q,TS);
dX = lr*gX;
if (doValidation)
    VV.net = net;
    VV.perf = calcperf(net,X,VV.Pd,VV.Tl,VV.Ai,VV.Q,VV.TS);
    VV.numFail = 0;
end
tr = newtr(epochs,'perf','vperf','tperf','lr');
performanta=1;
dperformanta=0;
% Train
for epoch=0:epochs

    % Training Record
    epochPlus1 = epoch+1;
    tr.perf(epochPlus1) = perf;
    tr.lr(epochPlus1) = lr;
    if (doValidation)
        tr.vperf(epochPlus1) = VV.perf;
    end
    if (doTest)
        tr.tperf(epochPlus1) =
calcperf(net,X,TV.Pd,TV.Tl,TV.Ai,TV.Q,TV.TS);
    end

    % Stopping Criteria
    currentTime = etime(clock,startTime);
    if (perf <= goal)

```

```
    stop = 'Performance goal met.';
elseif (epoch == epochs)
    stop = 'Maximum epoch reached, performance goal was not met.';
elseif (currentTime > time)
    stop = 'Maximum time elapsed, performance goal was not met.';
elseif (normgX < min_grad)
    stop = 'Minimum gradient reached, performance goal was not met.';
elseif (doValidation) & (VV.numFail > max_fail)
    stop = 'Validation stop.';
    net = VV.net;
end

% Progress
if ~rem(epoch,show) | length(stop)
    fprintf(this);
    if isfinite(epochs) fprintf(', Epoch %g/%g',epoch, epochs); end
    if isfinite(time) fprintf(', Time %g%%',currentTime/time/100); end
    if isfinite(lr) fprintf(', lr %g%',lr); end
    if isfinite(c) fprintf(', c %g%',c); end
    if isfinite(perf) fprintf(', perf/dperf
%g/%g',performanta,dperformanta); end
    if isfinite(goal) fprintf(', %s
%g/%g',upper(net.performFcn),perf,goal); end
    if isfinite(min_grad) fprintf(', Gradient %g/%g',normgX,min_grad);
end
    fprintf('\n')
    plotperf(tr,goal,this,epoch)
    if length(stop) fprintf('%s, %s\n\n',this,stop); break; end
end

% Gradient Descent with Momentum and Adaptive Learning Rate

dX = mc*dX + (1-mc)*lr*gX;
X2 = X + dX;
net2 = setx(net,X2);
[perf2,E,Ac,N,Zb,Zi,Zl] = calcperf(net2,X2,Pd,Tl,Ai,Q,TS);
performanta=(perf2/perf);
dperformanta=(performanta-(perf/perf1));

if performanta > 1.5
    performanta=1.49;
end
if performanta < 0.5
    performanta=0.51;
end
if dperformanta > 0.05
    dperformanta=0.049;
end
if dperformanta < -0.05
    dperformanta=-0.049;
end
c=evalfis([performanta dperformanta],fismat);
lr=lr*c;

if performanta >= 1.04
    dX = lr*gX;
    perf1=perf;
```

```
%dperformanta=1;
else
  if (perf2 < perf)
    end
  X = X2;
  net = net2;
  perf1=perf;
  perf = perf2;
  [gX,normgX] = calcgx(net,X,Pd,Zb,Zi,Zl,N,Ac,E,perf,Q,TS);
  norm_g = sqrt(sum(sum(gX.^2)));
end
% Validation
if (doValidation)
  vperf = calcperf(net,X,VV.Pd,VV.Tl,VV.Ai,VV.Q,VV.TS);
  if (vperf < VV.perf)
    VV.perf = vperf; VV.net = net; VV.numFail = 0;
  elseif (vperf > VV.perf)
    VV.numFail = VV.numFail + 1;
  end
end
end
end

% Finish
tr = cliptr(tr,epoch);
```



## ANEXA 2

**A2.1 Comparația metodei “trainfuzzy” cu alte metode de antrenament în problema aproximării unei funcții.**

**A2.2 Comparația metodei “trainfuzzy” cu alte metode de antrenament în problema mine versus stânci.**

**A2.3 Comparația metodei “trainfuzzy” cu alte metode de antrenament în probleme de clasificare a tiparelor.**

**A2.1 Comparația metodei “trainfuzzy” cu alte metode de antrenament în problema aproximării unei funcții.**

```
% Comparatie intre algoritmi pentru problema
% aproximarii unei functii
% © CATALIN-DANIEL CALEANU, 2000

clear all;
P = 0:0.1:1; % suportul functiei, faza de antrenament
T = 0.2 + 0.8*(P + 0.7*sin(2*pi*P)); % functie
testx=0:0.01:1; % suportul functiei, faza de test
testy=0.2 + 0.8*(testx + 0.7*sin(2*pi*testx));

% Implementarea si antrenamentul RNA, met. gradient descendent
net1= newff(minmax(P), [9 1], {'tansig' 'logsig'}, 'traingd');
net1.trainParam.lr=0.01;
net1.trainParam.mc=0.3;
net1.trainParam.min_grad=1e-10;
net1.trainParam.show = 1;
net1.trainParam.epochs = 150;
net1.trainParam.goal = 0.01;
t1 = clock;
[net1,tr1]= train(net1,P,T);
time1=etime(clock,t1);

% Implementarea si antrenamentul RNA, met. delta-delta
net2= newff(minmax(P), [9 1], {'tansig' 'logsig'}, 'traingdx');
net2.trainParam.lr = net1.trainParam.lr;
net2.trainParam.mc = net1.trainParam.mc;
net2.trainParam.min_grad = net1.trainParam.min_grad;
net2.trainParam.show = net1.trainParam.show;
net2.trainParam.epochs = net1.trainParam.epochs;
net2.trainParam.goal = net1.trainParam.goal;
t2 = clock;
[net2,tr2]= train(net2,P,T);
```



```
time2=etime(clock,t2);

% Implementarea si antrenamentul RNA, met. fuzzy
net3= newff(minmax(P),[9 1],{'tansig' 'logsig'},'trainfuzzy');
net3.trainParam.lr = net1.trainParam.lr;
net3.trainParam.mc = net1.trainParam.mc;
net3.trainParam.min_grad = net1.trainParam.min_grad;
net3.trainParam.show = net1.trainParam.show;
net3.trainParam.epochs = net1.trainParam.epochs;
net3.trainParam.goal = net1.trainParam.goal;
t3 = clock;
[net3,tr3]= train(net3,P,T);
time3=etime(clock,t3);

y1test = sim(net1,testx);
y2test = sim(net2,testx);
y3test = sim(net3,testx);
y1antr = sim(net1,P);
y2antr = sim(net2,P);
y3antr = sim(net3,P);

er1test=(sum(sum(abs(ones(1,length(testy)) -
(y1test/testy)))))/length(testy);
er2test=(sum(sum(abs(ones(1,length(testy)) -
(y2test/testy)))))/length(testy);
er3test=(sum(sum(abs(ones(1,length(testy)) -
(y3test/testy)))))/length(testy);
erctest=[er1test er2test er3test];
er1antr=(sum(sum(abs(ones(1,length(T)) - (y1antr/T)))))/length(T);
er2antr=(sum(sum(abs(ones(1,length(T)) - (y2antr/T)))))/length(T);
er3antr=(sum(sum(abs(ones(1,length(T)) - (y3antr/T)))))/length(T);
erantr=[er1antr er2antr er3antr];

time=[time1 time2 time3]

clf;
figure
plot(testx,testy,'k');
title('Aproximare functiei 0.2 + 0.8*(x + 0.7*sin(2*pi*x))');
hold
plot(testx,y1test,':');
plot(testx,y2test,'--');
plot(testx,y3test,'.-');
xlabel('x');
ylabel('traingd .. traingdx -- trainfuzzy0 .-')
hold off
figure
semilogy(tr1.epoch,tr1.perf,':');
hold
semilogy(tr2.epoch,tr2.perf,'--');
semilogy(tr3.epoch,tr3.perf,'.-');
title('EPM versus numar de epoci');
xlabel('Numar de epoci');
ylabel('traingd .. traingdx -- trainfuzzy0 .-')
hold off
```

```

figure
bar((ertest)*100);
ylabel('Eroare aproximare test [%]');
xlabel('traingd 1 traingdx 2 trainfuzzy1 3')
figure
bar((erantr)*100);
ylabel('Eroare aproximare antrenament [%]');
xlabel('traingd 1 traingdx 2 trainfuzzy0 3')
figure
barh(time, 'r');
xlabel('Timp prelucrare [s]');
ylabel('traingd 1 traingdx 2 trainfuzzy0 3')
figure
plot(tr1.epoch, tr1.lr, ':');
hold
plot(tr2.epoch, tr2.lr, '--');
plot(tr3.epoch, tr3.lr, '-.-');
xlabel('Numar de epoci');
ylabel('traingd .. traingdx -- trainfuzzy0 .-')
hold off

ertest=[er1test er2test er3test]*100
erantr=[er1antr er2antr er3antr]*100

```

## A2.2 Comparația metodei “trainfuzzy” cu alte metode de antrenament în problema mine versus stânci

```

% Comparatie intre algoritmi pentru problema
% mine vs stanci
% © CATALIN-DANIEL CALEANU, 2000

clear all;
clc;
cmu;
A=1;B=0;C=cat(2,B,A);
D=C;
for i = 1:(60-1)
    D=cat(1,C,D);
end
Nhid=20;
Nout=1;

net1= newff(D, [Nhid Nout], {'logsig' 'tansig'}, 'traingd');
net1.LW{2,1} = net1.LW{2,1}*0.1;
net1.b{2} = net1.b{2}*0.1;
net1.trainParam.lr = 0.1;
net1.trainParam.mc = 0.9;
net1.trainParam.show = 200;
net1.trainParam.epochs = 800;
net1.trainParam.goal = 0.05;

net2= newff(D, [Nhid Nout], {'logsig' 'tansig'}, 'traingdx');
net2.LW{2,1} = net2.LW{2,1}*0.1;
net2.b{2} = net2.b{2}*0.1;

```

```
net2.trainParam.lr=net1.trainParam.lr;
net2.trainParam.mc=net1.trainParam.mc;
net2.trainParam.show = net1.trainParam.show;
net2.trainParam.epochs = net1.trainParam.epochs;
net2.trainParam.goal = net1.trainParam.goal;

net3= newff(D, [Nhid Nout], {'logsig' 'tansig'}, 'trainfuzzy');
net3.LW{2,1} = net3.LW{2,1}*0.1;
net3.b{2} = net3.b{2}*0.1;
net3.trainParam.lr=net1.trainParam.lr;
net3.trainParam.mc=net1.trainParam.mc;
net3.trainParam.show = net1.trainParam.show;
net3.trainParam.epochs = net1.trainParam.epochs;
net3.trainParam.goal = net1.trainParam.goal;

t1=clock;
[net1,tr1]= train(net1,x_train,y_train_num);
time1=etime(clock,t1);
t2 = clock;
[net2,tr2]= train(net2,x_train,y_train_num);
time2=etime(clock,t2);
t3 = clock;
[net3,tr3]= train(net3,x_train,y_train_num);
time3=etime(clock,t3);
time=[time1 time2 time3]

yantr1 = hardlims(sim(net1,x_train));
erantr1=((sum(abs(yantr1-y_train_num)))/2)/length(y_train_num);
yantr2 = hardlims(sim(net2,x_train));
erantr2=((sum(abs(yantr2-y_train_num)))/2)/length(y_train_num);
yantr3 = hardlims(sim(net3,x_train));
erantr3=((sum(abs(yantr3-y_train_num)))/2)/length(y_train_num);

ytest1 = hardlims(sim(net1,x_test));
ertest1=((sum(abs(ytest1-y_test_num)))/2)/length(y_test_num);
ytest2 = hardlims(sim(net2,x_test));
ertest2=((sum(abs(ytest2-y_test_num)))/2)/length(y_test_num);
ytest3 = hardlims(sim(net3,x_test));
ertest3=((sum(abs(ytest3-y_test_num)))/2)/length(y_test_num);

erantr=[erantr1 erantr2 erantr3]*100
ertest=[ertest1 erest2 erest3]*100

clf;
figure
semilogy(tr1.epoch,tr1.perf, ':');
hold
semilogy(tr2.epoch,tr2.perf, '--');
semilogy(tr3.epoch,tr3.perf, '-');
title('MSE versus number of epochs');
xlabel('Number of epochs');
ylabel('traingd .. traingdx -- trainfuzzy .-')
hold off
figure
bar(ertest);
ylabel('Eroare aproximare test [%]');
xlabel('traingd 1 traingdx 2 trainfuzzy 3')
```

```

figure
bar(erantr);
ylabel('Eroare aproximare antrenament [%]');
xlabel('traingd 1 traingdx 2 trainfuzzy 3')
figure
barh(time,'r');
xlabel('Timp prelucrare [s]');
ylabel('traingd 1 traingdx 2 trainfuzzy 3')
figure
semilogy(tr1.epoch,tr1.lr,':');
hold
semilogy(tr2.epoch,tr2.lr,'--');
semilogy(tr3.epoch,tr3.lr,'.-');
title('Learning rate versus number of epochs');
ylabel('traingd .. traingdx -- trainfuzzy .-')
xlabel('Number of epochs');
hold off

```

### A2.3 Comparația metodei “trainfuzzy” cu alte metode de antrenament în probleme de clasificare a tiparelor

```

% Comparatie intre algoritmi pentru problema
% recunoasterii tiparelor de mari dimensiuni
% © CATALIN-DANIEL CALEANU, 2000

clear all;

A=255;B=0;C=cat(2,B,A);
D=C;
for i = 1:(46*56-1)
    D=cat(1,C,D);
end

antr=[ 11  72  93  74  25  106  47  18  49  810 ...
       101  42  23  24  35  86  77  48  29  410 ...
        41  32  53  34  65  76  97  98  79  910 ...
        51  82  73 104  55  26  67 108  19  310 ...
        21  52  63  44  75  16 107  78  89 1010 ];

for i=1:length(antr)
    P{i}=double((imread(strcat(int2str(antr(i)),'.bmp'))));
    P{i}=P{i}(:);
end
Pantr=cell2mat(P);
T=double(eye(10));
Tantr=[T T T T T];

k=1;
for i=1:10, %pozitia
    for j=1:10, %persoana

Q{k}=double((imread(strcat(strcat(int2str(i),int2str(j)),'.bmp'))));
        Q{k}=Q{k}(:);
        k=k+1;
    end
end
end

```

```
Ptot=cell2mat(Q);
Ttot=[T T T T T T T T T T];

net1= newff(D,[50 10],{'tansig' 'purelin'},'traingd');
net1.LW{2,1} = net1.LW{2,1}*0.1;
net1.b{2} = net1.b{2}*0.1;
net1.trainParam.lr = 0.1;
net1.trainParam.mc = 0.9
;
net1.trainParam.show = 1;
net1.trainParam.epochs = 80;
net1.trainParam.goal = 0.03;

net2= newff(D,[50 10],{'tansig' 'purelin'},'traingdx');
net2.LW{2,1} = net2.LW{2,1}*0.1;
net2.b{2} = net2.b{2}*0.1;
net2.trainParam.lr=net1.trainParam.lr;
net2.trainParam.mc=net1.trainParam.mc;
net2.trainParam.show = net1.trainParam.show;
net2.trainParam.epochs = net1.trainParam.epochs;
net2.trainParam.goal = net1.trainParam.goal;

net3= newff(D,[50 10],{'tansig' 'purelin'},'trainfuzzy');
net3.LW{2,1} = net3.LW{2,1}*0.1;
net3.b{2} = net3.b{2}*0.1;
net3.trainParam.lr=net1.trainParam.lr;
net3.trainParam.mc=net1.trainParam.mc;
net3.trainParam.show = net1.trainParam.show;
net3.trainParam.epochs = net1.trainParam.epochs;
net3.trainParam.goal = net1.trainParam.goal;

t1=clock;
[net1,tr1]= train(net1,Pantr,Tantr);
time1=etime(clock,t1);
t2 = clock;
[net2,tr2]= train(net2,Pantr,Tantr);
time2=etime(clock,t2);
t3 = clock;
[net3,tr3]= train(net3,Pantr,Tantr);
time3=etime(clock,t3);
time=[time1 time2 time3]

yantr1 = compet(sim(net1,Pantr));
erantr1=(sum(sum(abs(yantr1-Tantr)))/2)/length(Tantr);
yantr2 = compet(sim(net2,Pantr));
erantr2=(sum(sum(abs(yantr2-Tantr)))/2)/length(Tantr);
yantr3 = compet(sim(net3,Pantr));
erantr3=(sum(sum(abs(yantr3-Tantr)))/2)/length(Tantr);

ytot1 = compet(sim(net1,Ptot));
ertot1=(sum(sum(abs(ytot1-Ttot)))/2)/length(Ttot);
ytot2 = compet(sim(net2,Ptot));
ertot2=(sum(sum(abs(ytot2-Ttot)))/2)/length(Ttot);
ytot3 = compet(sim(net3,Ptot));
ertot3=(sum(sum(abs(ytot3-Ttot)))/2)/length(Ttot);

erantr=[erantr1 erantr2 erantr3]*100
```

```

ertot=[ertot1 ertot2 ertot3]*100
ertest=[((100*ertot1-50*erantr1)/50)*100 ...
        ((100*ertot2-50*erantr2)/50)*100 ...
        ((100*ertot3-50*erantr3)/50)*100]

clf;
figure
semilogy(tr1.epoch,tr1.perf,':');
hold
semilogy(tr2.epoch,tr2.perf,'--');
semilogy(tr3.epoch,tr3.perf,'.-');
title('MSE versus number of epochs');
xlabel('Number of epochs');
ylabel('traingd .. traingdx -- trainfuzzy .-')
hold off
figure
bar(ertest);
ylabel('Eroare aproximare test [%]');
xlabel('traingd 1 traingdx 2 trainfuzzy 3')
figure
bar(erantr);
ylabel('Eroare aproximare antrenament [%]');
xlabel('traingd 1 traingdx 2 trainfuzzy 3')
figure
barh(time,'r');
xlabel('Timp prelucrare [s]');
ylabel('traingd 1 traingdx 2 trainfuzzy 3')
figure
semilogy(tr1.epoch,tr1.lr,':');
hold
semilogy(tr2.epoch,tr2.lr,'--');
semilogy(tr3.epoch,tr3.lr,'.-');
title('Learning rate versus number of epochs');
ylabel('traingd .. traingdx -- trainfuzzy .-')
xlabel('Number of epochs');
hold off

```



## ANEXA 3

**A3.1. Studiul influenței folosirii tehnicii de extragere a trăsăturilor de tip operator de interes asupra procesului de recunoaștere facială.**

**A3.2. Influența rezoluției imaginii faciale și a dimensiunilor ferestrei de extragere a trăsăturilor asupra performanțelor procesului de recunoaștere facială.**

### a) Program principal

```
% 1 RNA-MLP fara/cu extragere trasaturi
% © CATALIN-DANIEL CALEANU, 2000.

clear all
clc;
goal=0.01 % eroarea patratica medie (EPM)
nrhid1=80 % nr. neuroni ascunsi
nrexperim=1 % numar total de experimente
t0 = clock; % pornire cronometru

for contorret=1:nrexperim

    disp('Extragere trasaturi pentru experimentul nr:')
    disp(contorret)
    gentipaleat; % generare aleatoare de vectori de antrenament si test

    ultimaperf=1;
    while ultimaperf>goal
        % se creeaza RNA-MLP
        net1= newff(D,[nrhid1 nrpersantr],{'tansig'
        'purelin'},'trainscg');
        net1.LW{2,1} = net1.LW{2,1}*0.1;
        net1.b{2} = net1.b{2}*0.1;
        % se specifica parametrii procesului de antrenament
        net1.trainParam.lr = 0.1;
        net1.trainParam.mc = 0.9;
        net1.trainParam.show = 10;
        net1.trainParam.epochs = 550;
        net1.trainParam.goal = goal;
        % se antreneaza RNA
        [net1, tr1]= train(net1, Pantr, Tantr);
        ultimaperf=tr1.perf(max(tr1.epoch+1));
        if ultimaperf>goal % daca nu s-a ajuns la EPM
            clear net1; % se reia procesul de antrenament
        end % end if
    end % end while

    % se calculeaza ies. RNA si eroarea pentru datele de antrenament
    yantr(contorret) = compet(sim(net1, Pantr));
```



```
erantr(contorret)=(sum(sum(abs(yantr{contorret}-
Tantr)))/2)/length(Tantr);
% se calculeaza ies. RNA si eroarea pentru datele globale
(antrenament+test)
ytot{contorret} = compet(sim(net1,Ptot));
ertot(contorret)=(sum(sum(abs(ytot{contorret}-
Ttot)))/2)/length(Ttot);

% se calculeaza erorile exprimate in procente
ertest(contorret)=(nrpersantr*nrpoz*ertot(contorret)- ...
nrpersantr*nrpozantr*erantr(contorret))/(nrpersantr*nrpoz-
nrpersantr*nrpozantr)*100
erantr(contorret)=erantr(contorret)*100
ertot(contorret)=ertot(contorret)*100
clear net1;

end % end for - sfarsit experiment

% se calculeaza erorile medii dupa numarul "nrexperim" de experimente
ertestmed=( sum(ertest) )/nrexperim
erantrmed=( sum(erantr) )/nrexperim
ertotmed=( sum(ertot) )/nrexperim
% durata tuturor experimentelor, in minute
totalminute=(etime(clock,t0))/60
% se salveaza intr-un fisier marimile de interes
save rezultate.mat nrpersantr nrpozantr reesantionare extrtras nrhid1
nrexperim ertestmed erantrmed ertotmed ertest erantr ertot dimferx
dimfery totalminute
```

## b) Generarea vectorilor de antrenament și test

```
% Generare aleatoare de vectori de antrenament si test
% din baza de date ORL, cu/fara extragere trasaturi
% © CATALIN-DANIEL CALEANU, 2000.

clc

nrpers=40; % nr. total de pers. din baza de date (BD)
nrpoz=10; % nr. de imagini disponibile/persoana
nrpersantr=40; % nr. de persoane pentru setul de antrenament
nrpozantr=5; % nr. de imagini/persoana de antrenament

locatie='d:\ATT112x92PNG\s'; % locatie baza de date
reesantionare='da'; % 'da'/'nu' - reesantionare/fara reesantionare
extrtras='da'; % 'da'/'nu' - cu/fara extragere de trasaturi
Ta=double(eye(nrpersantr)); % vector de iesire pentru RNA

if (reesantionare=='da')
    nrlin=56; % nr. de linii dupa reesantionare
    nrcol=46; % nr. de coloane dupa reesantionare
end
if (extrtras=='da')
    % img va fi procesata in format nrcol x nrlin :
    % dimensiunea ferestrei de extragere a trasaturilor
```

```

    dimferx=8;
    dimfery=8;
end

rand('state',sum(100*clock)); % se init. gen. de nr. aleat.
persid=randperm(nrpers); % ordonare aleator nrpers
pozid=randperm(nrpoz); % ordonare aleator nrpoz

persidantr=persid(1:nrpersantr);
pozidantr=pozid(1:nrpozantr);

for i=1:nrpers
    %se creeaza sir de caractere cu toate dir
    director{i}=strcat(locatie,int2str(i));
end

% date antrenament
k=1;
for j=1:nrpozantr
    for i=1:nrpersantr
        cale=strcat(director(persidantr(i)),'\');
        numefis=int2str(pozidantr(j));
        cale_numefis=strcat(cale,numefis);
        P{k}=(double(imread(cell2mat(cale_numefis),'png'))));
        if (reesantionare=='da')
            P{k} = imresize(P{k},[nrcol nrlin],'nearest');
        end
        if (extrtras=='da')
            % extragere trasaturi prin met. operatorului de interes
            P{k}=blkproc(P{k},[dimferx dimfery],'interestop(x)');
        end
        P{k}=P{k}(:);
        k=k+1;
    end
end
Pantr=cell2mat(P); % vectorii de intrare in etapa de antrenament
Tantr=Ta;
for i=1:nrpozantr-1
    Tantr=cat(2,Tantr,Ta); % vectorii de iesire in etapa de antrenament
end

%date totale
k=1;
for j=1:nrpoz
    for i=1:nrpersantr
        cale=strcat(director(persidantr(i)),'\');
        numefis=int2str(j);
        cale_numefis=strcat(cale,numefis);
        Q{k}=(double(imread(cell2mat(cale_numefis),'png'))));
        if (reesantionare=='da')
            Q{k} = imresize(Q{k},[nrcol nrlin],'nearest');
        end
        if (extrtras=='da')
            % extragere trasaturi prin met. operatorului de interes
            Q{k}=blkproc(Q{k},[dimferx dimfery],'interestop(x)');
        end
        Q{k}=Q{k}(:);
    end
end

```

```
k=k+1;
end
end
Ptot=cell2mat(Q); % vectorii de intrare pentru intregul set de date
Ttot=Ta;
for i=1:nrpoz-1
    Ttot=cat(2,Ttot,Ta); % vectorii de iesire pentru intregul set de
date
end

% matrice min-max pentru intrarile RNA
A=max(max(Ptot));B=min(min(Ptot));C=cat(2,B,A);
D=C;
for i = 1:(size(Pantr,1)-1)
    D=cat(1,C,D);
end
```

**c) Funcția ce implementează extragerea trăsăturilor prin metoda operatorului de interes**

```
function [y]=interestop(x)
% Implementarea metodei de extragere a trasaturilor prin
% METODA OPERATORULI DE INTERES
% Functia returneaza un vector 5 dimensional [s,sh,sv,s135,s45]
% ce exprima variantele directionale
% pentru fereastra "x" dintr-o imagine
% © CATALIN-DANIEL CALEANU, 2000.

s=0;sh=0;sv=0;s135=0;s45=0;
[a b]=size(x);
s=(std(x(:),1));
for j = 1:a,
    for i = 1:(b-1),
        sh=sh+(x(j,i+1)-x(j,i))^2;
    end
end
for j = 1:(a-1),
    for i = 1:b,
        sv=sv+(x(j+1,i)-x(j,i))^2;
    end
end
for j = 1:(a-1),
    for i = 1:(b-1),
        s135=s135+(x(j+1,i+1)-x(j,i))^2;
        s45=s45+(x(j+1,i)-x(j,i+1))^2;
    end
end
sh=sqrt(sh);sv=sqrt(sv);
s135=sqrt(s135);s45=sqrt(s45);
y=[s,sh,sv,s135,s45];
```

## ANEXA 4

### A4.1 Influența folosirii unor arhitecturi paralele și ierarhice de RNA-MLP asupra procesului de recunoaștere facială.

#### a) Program principal

```
% 3 RNA-MLP distincte, fara/cu extragere trasaturi
% decizie pe baza medierii raspunsurilor sau
% pe baza unei RNA-MLP ierarhic superioara
% © CATALIN-DANIEL CALEANU, 2000.

clear all
clc;
goal=0.01; % eroarea patratica medie (EPM)
nrhid1=400; % nr. neuroni ascunsi pt. RNA 1...4
nrhid2=400;
nrhid3=400;
nrhid4=400;
nrexperim=5; % numar total de experimente
t0 = clock; % pornire cronometru

for contorret=1:nrexperim

    gentipaleat3; % generare aleatoare de vectori de antrenament si
    test

    % se creeaza 3 RNA-MLP dupa care se declanseaza procesul de
    antrenament

    ultimaperf=1;
    while ultimaperf>goal
        net1= newff(D1,[nrhid1 nrpersantr],{'tansig'
'purelin'},'trainscg');
        net1.LW{2,1} = net1.LW{2,1}*0.1;
        net1.b{2} = net1.b{2}*0.1;
        net1.trainParam.lr = 0.1;
        net1.trainParam.mc = 0.9;
        net1.trainParam.show = 100;
        net1.trainParam.epochs = 550;
        net1.trainParam.goal = goal;
        [net1,tr1]= train(net1,Pantr1,Tantr1);
        ultimaperf=tr1.perf(max(tr1.epoch+1));
        if ultimaperf>goal
            clear net1;
        end % end if
    end % end while

    ultimaperf=1;
    while ultimaperf>goal
```

```
        net2= newff(D2,[nrhid2 nrpersantr],{'tansig'
'purelin'},'trainscg');
        net2.LW{2,1} = net2.LW{2,1}*0.1;
        net2.b{2} = net2.b{2}*0.1;
        net2.trainParam.lr = 0.1;
        net2.trainParam.mc = 0.9;
        net2.trainParam.show = 100;
        net2.trainParam.epochs = 550;
        net2.trainParam.goal = goal;
        [net2,tr2]= train(net2,Pantr2,Tantr2);
        ultimaperf=tr2.perf(max(tr2.epoch+1));
        if ultimaperf>goal
            clear net2;
        end % end if
    end % end while

    ultimaperf=1;
    while ultimaperf>goal
        net3= newff(D3,[nrhid3 nrpersantr],{'tansig'
'purelin'},'trainscg');
        net3.LW{2,1} = net3.LW{2,1}*0.1;
        net3.b{2} = net3.b{2}*0.1;
        net3.trainParam.lr = 0.1;
        net3.trainParam.mc = 0.9;
        net3.trainParam.show = 100;
        net3.trainParam.epochs = 550;
        net3.trainParam.goal = goal;
        [net3,tr3]= train(net3,Pantr3,Tantr3);
        ultimaperf=tr3.perf(max(tr3.epoch+1));
        if ultimaperf>goal
            clear net3;
        end % end if
    end % end while

% se calculeaza ies. RNA si eroarea pentru datele de antrenament
yantr1{contorret} = sim(net1,Pantr1);
yantr1c{contorret} = compet(sim(net1,Pantr1));
ytot1{contorret} = sim(net1,Ptot1);
ytot1c{contorret} = compet(sim(net1,Ptot1));
ertot1(contorret)=(sum(sum(abs(ytot1c{contorret}-
Ttot1)))/2)/length(Ttot1);
%erantr1=(sum(sum(abs(yantr1c-Tantr1)))/2)/length(Tantr1)

yantr2{contorret} = sim(net2,Pantr2);
yantr2c{contorret} = compet(sim(net2,Pantr2));
ytot2{contorret} = sim(net2,Ptot2);
ytot2c{contorret} = compet(sim(net2,Ptot2));
ertot2(contorret)=(sum(sum(abs(ytot2c{contorret}-
Ttot2)))/2)/length(Ttot2);
%erantr2=(sum(sum(abs(yantr2c-Tantr2)))/2)/length(Tantr2)

yantr3{contorret} = sim(net3,Pantr3);
yantr3c{contorret} = compet(sim(net3,Pantr3));
ytot3{contorret} = sim(net3,Ptot3);
ytot3c{contorret} = compet(sim(net3,Ptot3));
ertot3(contorret)=(sum(sum(abs(ytot3c{contorret}-
Ttot3)))/2)/length(Ttot3);
```

```

%erantr3=(sum(sum(abs(yantr3c-Tantr3)))/2)/length(Tantr3)

% se calculeaza decizia prin medierea raspunsurilor RNA
sumaiesantr=(yantr1{contorret}+yantr2{contorret}+yantr3{contorret})/3;
Pantr4=[yantr1{contorret}; yantr2{contorret}; yantr3{contorret}];
yantr{contorret}=compet(sumaiesantr);
erantr(contorret)=(sum(sum(abs(yantr{contorret}-
Tantr1)))/2)/length(Tantr1);

% se implementeaza RNA ierarhic superioara
sumaiestot=(ytot1{contorret}+ytot2{contorret}+ytot3{contorret})/3;
Ptot4=[ytot1{contorret}; ytot2{contorret}; ytot3{contorret}];
ytot{contorret}=compet(sumaiestot);
ertot(contorret)=(sum(sum(abs(ytot{contorret}-
Ttot1)))/2)/length(Ttot1);

ertest(contorret)=(nrpersantr*nrpoz*ertot(contorret)-
nrpersantr*nrpozantr*erantr(contorret))/(nrpersantr*nrpoz-
nrpersantr*nrpozantr)*100
erantr(contorret)=erantr(contorret)*100
ertot(contorret)=ertot(contorret)*100
clear net1;clear net2;clear net3;

A=max(max(Ptot4));B=min(min(Ptot4));C=cat(2,B,A);
D4=C;
for j = 1:(3*nrpers-1)
    D4=cat(1,C,D4);
end

Tantr4=Tantr1;
Ttot4=Ttot1;

ultimaperf=1;
while ultimaperf>goal
    net4= newff(D4,[nrhid4 nrpersantr],{'tansig'
'purelin'}, 'trainscg');
    net4.LW{2,1} = net4.LW{2,1}*0.1;
    net4.b{2} = net4.b{2}*0.1;
    net4.trainParam.lr = 0.1;
    net4.trainParam.mc = 0.9;
    net4.trainParam.show = 100;
    net4.trainParam.epochs = 550;
    net4.trainParam.goal = goal;
    [net4,tr4]= train(net4,Pantr4,Tantr4);
    ultimaperf=tr4.perf(max(tr4.epoch+1));
    if ultimaperf>goal
        clear net4;
    end
end

% se calculeaza decizia pe baza RNA ierarhic superioara
yantr4{contorret} = sim(net4,Pantr4);
yantr4c{contorret} = compet(sim(net4,Pantr4));
ytot4{contorret} = sim(net4,Ptot4);
ytot4c{contorret} = compet(sim(net4,Ptot4));
erantr4(contorret)=(sum(sum(abs(yantr4c{contorret}-
Tantr1)))/2)/length(Tantr1);

```

```
ertot4(contorret)=(sum(sum(abs(ytot4c{contorret}-  
Ttot4)))/2)/length(Ttot4);  
ertest4(contorret)=((nrpersantr*nrpoz*ertot4(contorret)-  
nrpersantr*nrpozantr*erantr(contorret))/(nrpersantr*nrpoz-  
nrpersantr*nrpozantr))*100  
ertot4(contorret)=ertot4(contorret)*100  
erantr4(contorret)=erantr4(contorret)*100  
  
end % end for - sfarsit experiment  
  
% se calculeaza erorile medii dupa numarul "nrexperim" de experimente  
ertestmed=( sum(ertest) )/nrexperim  
erantrmed=( sum(erantr) )/nrexperim  
ertotmed=( sum(ertot) )/nrexperim  
ertestmed4=( sum(ertest4) )/nrexperim  
erantrmed4=( sum(erantr4) )/nrexperim  
ertotmed4=( sum(ertot4) )/nrexperim  
% durata tuturor experimentelor, in minute  
totalminute=(etime(clock,t0))/60  
% se salveaza intr-un fisier marimile de interes  
save complet.mat
```

## **b) Generarea vectorilor de antrenament și test pentru trei regiuni dintr-o imagine facială**

```
% Generare aleatoare de vectori de antrenament si test  
% din baza de date ORL, cu/fara extragere trasaturi  
% pentru 3 regiuni dintr-o imagine faciala  
% © CATALIN-DANIEL CALEANU, 2000.  
  
clc  
  
% nr. de linii din subimagine  
n1=28;  
n2=28;  
n3=28;  
  
nrpers=40; % nr. total de pers. din baza de date (BD)  
nrpoz=10; % nr. de imagini disponibile/persoana  
nrpersantr=40; % nr. de persoane pentru setul de antrenament  
nrpozantr=3; % nr. de imagini/persoana de antrenament  
  
locatie='d:\ATT112x92PNG\s'; % locatie baza de date  
reesantionare='da'; % 'da'/'nu' - reesantionare/fara reesantionare  
extrtras='da'; % 'da'/'nu' - cu/fara extragere de trasaturi  
Ta=double(eye(nrpersantr)); % vector de iesire pentru RNA  
  
if (reesantionare=='da')  
    nrlin=56; % nr. de linii dupa reesantionare  
    nrcol=46; % nr. de coloane dupa reesantionare  
end  
if (extrtras=='da')
```

```

%img in format nrlin x nrcol
% dimensiunea ferestrei de extragere a trasaturilor
dimferx=6;
dimfery=7;
end

rand('state',sum(100*clock)); % se initializeaza gen. de nr. aleat.
persid=randperm(nrpers); % ordonare aleator nrpers
pozid=randperm(nrpoz); % ordonare aleator nrpoz

persidantr=persid(1:nrpersantr);
pozidantr=pozid(1:nrpozantr);

for i=1:nrpers
    % se creeaza sir de caractere cu toate directoarele
    director{i}=strcat(locatie,int2str(i));
end

% date antrenament
k=1;
for j=1:nrpozantr
    for i=1:nrpersantr
        cale=strcat(director(persidantr(i)),'\');
        numefis=int2str(pozidantr(j));
        cale_numefis=strcat(cale,numefis);
        P{k}=(double(imread(cell2mat(cale_numefis),'png'))); % nu apare '
        if (reesantionare=='da')
            P{k} = imresize(P{k},[nrlin nrcol],'nearest');
        end
        [row colum]=size(P{k});
        if (extrtras=='da')
            % extragere trasaturi prin met. operatorului de interes
            P1{k}=blkproc(P{k}(1:n1,1:colum),[dimferx
dimfery],'interestop(x)');
            P2{k}=blkproc(P{k}((row-n2)/2+1:(row-
n2)/2+n2,1:colum),[dimferx dimfery],'interestop(x)');
            P3{k}=blkproc(P{k}(row-n3+1:row,1:colum),[dimferx
dimfery],'interestop(x)');
        end
        P1{k}=P1{k}(:);
        P2{k}=P2{k}(:);
        P3{k}=P3{k}(:);
        k=k+1;
    end
end
% vectorii de intrare in etapa de antrenament
Pantr1=cell2mat(P1);
Pantr2=cell2mat(P2);
Pantr3=cell2mat(P3);

Tantr=Ta;
for i=1:nrpozantr-1
    Tantr=cat(2,Tantr,Ta);
end
% vectorii de iesire in etapa de antrenament
Tantr1=Tantr;
Tantr2=Tantr;

```



```
Tantr3=Tantr;

% date totale
k=1;
for j=1:nrpoz
    for i=1:nrpersantr
        cale=strcat(director(persidantr(i)),'\');
        numefis=int2str(j);
        cale_numefis=strcat(cale,numefis);
        Q{k}=(double(imread(cell2mat(cale_numefis),'png')));
        if (reesantionare=='da')
            Q{k} = imresize(Q{k},[nrlin nrcol],'nearest');
        end
        if (extrtras=='da')
            % extragere trasaturi prin met. operatorului de interes
            Q1{k}=blkproc(Q{k}(1:n1,1:column),[dimferx
dimfery], 'interestop(x)');
            Q2{k}=blkproc(Q{k}((row-n2)/2+1:(row-
n2)/2+n2,1:column),[dimferx dimfery], 'interestop(x)');
            Q3{k}=blkproc(Q{k}(row-n3+1:row,1:column),[dimferx
dimfery], 'interestop(x)');
        end
        Q1{k}=Q1{k}(:);
        Q2{k}=Q2{k}(:);
        Q3{k}=Q3{k}(:);

        k=k+1;
    end
end
% vectorii de intrare pentru intregul set de date
Ptot1=cell2mat(Q1);
Ptot2=cell2mat(Q2);
Ptot3=cell2mat(Q3);

Ttot=Ta;
for i=1:nrpoz-1
    Ttot=cat(2,Ttot,Ta);
end
% vectorii de iesire pentru intregul set de date
Ttot1=Ttot;
Ttot2=Ttot;
Ttot3=Ttot;

% specificare val. min si max pentru totalitatea intrarilor

A=max(max(Ptot1));B=min(min(Ptot1));C=cat(2,B,A);
D1=C;
for i = 1:(length(P1{1})-1)
    D1=cat(1,C,D1);
end

A=max(max(Ptot2));B=min(min(Ptot2));C=cat(2,B,A);
D2=C;
for i = 1:(length(P2{1})-1)
    D2=cat(1,C,D2);
end
```

```
A=max(max(Ptot3));B=min(min(Ptot3));C=cat(2,B,A);
D3=C;
for i = 1:(length(P3{1})-1)
    D3=cat(1,C,D3);
end
```



## ANEXA 5

### A5.1 Subrutinele principale ale programului destinat recunoașterii faciale bazate pe tehnica de extragere a trăsăturilor tip operator de interes și clasificatori paraleli de tip neuronal.

#### a) Program principal

```
% Recunoastere faciala bazata pe RNA
% - Program principal -
% © CATALIN-DANIEL CALEANU, 2000.
clear all
close all
% incarca baza de date faciala
load bazadate;
flag_modificare=1;
% afiseaza GUI
fereastra
% afiseaza imagini faciale
thumbnail(P,nume);
axes(findobj('Tag','Axes0'));
% asteapta comenzi de la utilizator
```

#### b) Afișare bază de date

```
function thumbnail(x,sir);
% afiseaza in GUI imaginile faciale curente
% se apeleaza de fiecare data
% cand baza de date s-a modificat

Pshow=x;
nshow=sir;

if length(x)<10
for i=length(x)+1:10
    Pshow{i}=255*ones(56,46);
    nshow{i}=' ';
end
end

for i=1:10
    string1=strcat('Axes',int2str(i));
    string2=strcat('StaticText',int2str(i));
    ha(i)=findobj(gcf,'Tag',string1);
    axes(ha(i));
    imshow(Pshow{i});
    set(gca,'Tag',string1);
end
```

```
set(findobj(gcf,'Tag',string2),'String',nshow{i});  
end
```

### c) Extragerea trăsăturilor

```
% extragere trasaturi din imaginile faciale  
% prin metoda operatorului de interes  
n1=28;  
n2=28;  
n3=28;  
  
Tantr=double(eye(length(P)));  
dimferx=6;  
dimfery=7;  
k=1;  
[row colum]=size(P{k});  
  
if flag_modificare==1  
  
%date antrenament  
clear P1 P2 P3 Pantr1 Pantr2 Pantr3;  
h = waitbar2(0,'Extragere trasaturi din baza de date...');  
for i=1:length(P)  
    P1{k}=blkproc(double(P{k}(1:n1,1:colum)), [dimferx  
dimfery], 'interestop(x)');  
    P2{k}=blkproc(double(P{k}((row-n2)/2+1:(row-  
n2)/2+n2,1:colum)), [dimferx dimfery], 'interestop(x)');  
    P3{k}=blkproc(double(P{k}(row-n3+1:row,1:colum)), [dimferx  
dimfery], 'interestop(x)');  
    P1{k}=P1{k}(:);  
    P2{k}=P2{k}(:);  
    P3{k}=P3{k}(:);  
    k=k+1;  
    waitbar2(i/length(P),h)  
end  
close(h)  
drawnow;  
Pantr1=cell2mat(P1);  
Pantr2=cell2mat(P2);  
Pantr3=cell2mat(P3);  
  
%specificare val min,max pentru totalitatea intrarilor  
A=max(max(Pantr1));B=min(min(Pantr1));C=cat(2,B,A);  
D1=C;  
for i = 1:(length(P1{1})-1)  
    D1=cat(1,C,D1);  
end  
  
A=max(max(Pantr2));B=min(min(Pantr2));C=cat(2,B,A);  
D2=C;  
for i = 1:(length(P2{1})-1)  
    D2=cat(1,C,D2);  
end  
A=max(max(Pantr3));B=min(min(Pantr3));C=cat(2,B,A);
```

```

D3=C;
for i = 1:(length(P3{1})-1)
    D3=cat(1,C,D3);
end

end %flag inscriere

%date test
h = waitbar(0,'Extragere trasaturi din imaginea de test...');
Ptest1=blkproc(double(img(1:n1,1:column)), [dimferx
dimfery], 'interestop(x)');
waitbar(0.33,h);
Ptest2=blkproc(double(img((row-n2)/2+1:(row-
n2)/2+n2,1:column)), [dimferx dimfery], 'interestop(x)');
waitbar(0.66,h);
Ptest3=blkproc(double(img(row-n3+1:row,1:column)), [dimferx
dimfery], 'interestop(x)');
waitbar(1,h);
Ptest1=Ptest1(:);
Ptest2=Ptest2(:);
Ptest3=Ptest3(:);
close(h);
drawnow;

```

#### d) Clasificare

```

% procedura de recunoastere implica
% extragerea de trasaturi
% si furnizarea acestora unei structuri
% paralele si ierarhice de RNA-MLP

extrtrasaturi;

if flag_modificare==1
hall=findobj('Tag','Axes11');
axes(hall);
goal=0.01;
nrhid1=400;
nrhid2=400;
nrhid3=400;
nrhid4=400;
nrpersantr=length(P);

    ultimaperf=1;
    while ultimaperf>goal
        net1= newff(D1,[nrhid1 nrpersantr],{'tansig'
'purelin'}, 'trainscg');
        net1.LW{2,1} = net1.LW{2,1}*0.1;
        net1.b{2} = net1.b{2}*0.1;
        net1.trainParam.lr = 0.1;
        net1.trainParam.mc = 0.9;
        net1.trainParam.show = 1;
        net1.trainParam.epochs = 550;
    end
end

```

```
net1.trainParam.goal = goal;
[net1,tr1]= train(net1,Pantr1,Tantr);
ultimaperf=tr1.perf(max(tr1.epoch+1));
    if ultimaperf>goal
        clear net1;
    end
end%while

ultimaperf=1;
while ultimaperf>goal
    net2= newff(D2,[nrhid2 nrpersantr],{'tansig'
'purelin'},'trainscg');
    net2.LW{2,1} = net2.LW{2,1}*0.1;
    net2.b{2} = net2.b{2}*0.1;
    net2.trainParam.lr = 0.1;
    net2.trainParam.mc = 0.9;
    net2.trainParam.show = 1;
    net2.trainParam.epochs = 550;
    net2.trainParam.goal = goal;
    [net2,tr2]= train(net2,Pantr2,Tantr);
    ultimaperf=tr2.perf(max(tr2.epoch+1));
    if ultimaperf>goal
        clear net2;
    end
end

ultimaperf=1;
while ultimaperf>goal
    net3= newff(D3,[nrhid3 nrpersantr],{'tansig'
'purelin'},'trainscg');
    net3.LW{2,1} = net3.LW{2,1}*0.1;
    net3.b{2} = net3.b{2}*0.1;
    net3.trainParam.lr = 0.1;
    net3.trainParam.mc = 0.9;
    net3.trainParam.show = 1;
    net3.trainParam.epochs = 550;
    net3.trainParam.goal = goal;
    [net3,tr3]= train(net3,Pantr3,Tantr);
    ultimaperf=tr3.perf(max(tr3.epoch+1));
    if ultimaperf>goal
        clear net3;
    end
end

set(gca,'Tag','Axes11');
end %if flag

yantr1 = sim(net1,Ptest1);
yantr1c = compet(sim(net1,Ptest1));

yantr2 = sim(net2,Ptest2);
yantr2c = compet(sim(net2,Ptest2));

yantr3 = sim(net3,Ptest3);
yantr3c = compet(sim(net3,Ptest3));

sumaiesantr=(yantr1+yantr2+yantr3)/3;
```

```

if max(sumaiesantr)>=val_slider
yantr=compet(sumaiesantr);
[val_poz]=max(yantr);
ha_id=findobj('Tag',strcat('Axes',num2str(poz)));
hi_id=findobj('Parent',ha_id);
temp_CData=get(hi_id,'CData');
for i=1:20
    set(hi_id,'CData',255*ones(56,46));
    pause(0.1);
    set(hi_id,'CData',temp_CData);
    pause(0.1);
end
else
    CreateStruct.WindowStyle='modal';
    CreateStruct.Interpreter='tex';
    msgbox('Nerecunoscut','Nerecunoscut!',CreateStruct);
end %if

axes(findobj('Tag','Axes0'));
flag_modificare=0;

```

### e) Ștergerea unei imagini din baza de date

```

% stergere imagine din baza de date
nume_de_sters=get(findobj(gcf,'Tag','EditText1'),'String');
locatie=-1;
for i=1:length(nume)
    if strcmp(nume{i},nume_de_sters)
        locatie=i;
    end
end
if locatie==-1
    error('Nume inexistent!');
else
    temp_nume=nume;
    temp_P=P;
    for i=locatie:length(nume)-1
        temp_nume{i}=temp_nume{i+1};
        temp_P{i}=temp_P{i+1};
    end
    clear P nume;
    for i=1:length(temp_nume)-1
        P{i}=temp_P{i};
        nume{i}=temp_nume{i};
    end
    close(findobj('Tag','Fig2'));
    thumbnail(P,nume);
end
flag_modificare=1;
axes(findobj('Tag','Axes0'));

```



### f) Înscrierea unei imagini în baza de date

```
% înscriere in baza de date
nume_nou=get(findobj(gcf,'Tag','EditText1'),'String');
nume = cat(2,nume,mat2cell(nume_nou));
img=imresize(img,[56 46],'nearest');
P{length(P)+1}=img;
close(findobj('Tag','Fig2'));
thumbnail(P,nume);
flag_modificare=1;
```

### g) Selecție imagine facială

```
function imgret = afisrect(x)
%functia afiseaza imaginea selectata cu mouse-ul

r=getrect;
if [r(4) r(3)]<[56 46]
    msgbox('Fereastra prea mica !');
    imgret=x;
else
    imgret = x(round(r(2)):round(r(2)+r(4)),
round(r(1)):round(r(1)+r(3)));
    imshow(imgret);
    set(findobj('Tag','PushRecunoastere'),'Enable','on');
end
```

## BIBLIOGRAFIE

- [1] H. Wechsler, P. J. Phillips, V. Bruce, F.F. Soulie, T.S. Huang – “*Face Recognition. From theory to Applications*”, NATO ASI series, Springer-Verlag, 1998.
- [2] A.Petland, T. Starner, N. Etcoff, A. Masoiu, O. Oliyde, M. Turk – “*Experiments with eigenfaces*”, Proc. Looking at People Wkshp, Int. Joint Conf. Artificial Intell., Chamberry, Franța, 1993.
- [3] R. Chellappa, C.L. Wilson, S. Sirohey – “*Human and machine recognition of faces: A survey*”, Proc. IEEE, vol.83, pag.705-740, 1995.
- [4] B. Miller – “*Vital signs of identity*”, IEEE Spectrum, pag. 22-30, Feb., 1994.
- [5] S. Rogers, M. Kabrisky, D. Ruck, M. Oxley – “*Neural Networks for Fighting Crime*” în J.M. Zurada, R.J. Marks, C.J. Robinson (editori) – “*Computational Intelligence Imitating Life*”, pag.406-415, IEEE Press, NY, USA, 1995.
- [6] G.T. Poulton – “*Face Recognition Research at CSIRO*”, în H. Wechsler și colectiv – “*Face Recognition. From theory to Applications*”, pag. 599-609, NATO ASI series, Springer-Verlag, 1998.
- [7] V.I. Pavlovic, R.Sharma, T.S. Huang – “*Visual interpretation of hand gestures for human-computer interaction: a review*”, IEEE Trans. PAMI, vol.19, nr.7, pag.677-696, Iulie, 1997.
- [8] I. Craw, P. Cameron – “*Face Recognition by Computer*”, Proc. British Machine Vision Conference, pag.489-507, editori D. Hogg și R. Boyle, Springer Verlag, 1992.
- [9] F. Ravaut, G. Stamon – “*Face image processing supporting epileptic seizure analysis*”, pag. 610 – 616, în H. Wechsler și colectiv – “*Face Recognition. From theory to Applications*”, NATO ASI series, Springer-Verlag, 1998.
- [10] J. Hertz, A. Krogh, R. Palmer – “*Introduction to the Theory of Neural Computation*”, Lectures Notes, Santa Fe Institute, Addison-Wesley Publishing

- Company, pag.1, 1995.
- [11] E. T. Rolls – “*Neurophysiological mechanism underlying face processing within and beyond the temporal cortical visual areas*”, Processing the Facial Image, Proc. Royal Soc. Discussion Meeting, editori V. Bruce, A. Cowey, Clarendon Press, Oxford, U.K., 1992.
- [12] J. Daugman – “*Face and Gesture Recognition: Overview*”, IEEE Trans. PAMI, vol.19, nr.7, pag.675-676, Iulie, 1997.
- [13] V. Tiponuş, C.D. Căleanu – “*Reţele neuronale. Arhitecturi şi algoritmi*”, Ed. Politehnica, Timişoara, 2000.
- [14] M. Gupta, K. Knopf – “*Neuro – Vision Systems. Principles and Applications*”, IEEE Press, pag.14-16, 19, 1994.
- [15] R.C. Gonzales, R.E. Woods – “*Digital Image Processing*”, Addison-Wesley, 1992.
- [16] \*\*\* *Special Issue on Applications of Artificial Neural Networks to Image Processing*, IEEE Trans. Image Processing, August, 1998.
- [17] B. Widrow, R. Winter, R. Baxter – “*Layered Neral Nets for Pattern Recognition*”, în M. Gupta, G. Knopf – “*Neuro-Vision Systems. Principles and Applications*”, IEEE Press, pag.375-391, 1994.
- [18] Z. Zhang, N. Ansari – “*Structure and Properties of Generalized Adaptive Neural Filters for Signal Enhancement*”, IEEE Trans. Neural Networks, pag.857-868, Iulie, 1996.
- [19] J. Daugman – “*Complete Discrete 2-D Gabor Transform by Neural Networks for Image Analysis and Compresion*”, IEEE Acoust., Speech, Signal Processing, nr.7, 1988.
- [20] M. Mocofan, C.D. Căleanu, C. Toma – “*Conscience Algorithm based Neural Network for Unsupervised Texture Image Segmentation*”, International Conference Beyond 2000: Engineering Research Strategies, Sibiu, November 25-26, vol.XXXVIII, pag.93-96, ISSN 1221-4949, 1999.
- [21] C.D. Căleanu, M. Mocofan – “*Hierarchical Structure of Modular Self-Organizing Neural Networks for Unsupervised Texture Image Segmentation*”,

Buletinul Științific al Universității POLITEHNICA Timișoara, pag. 135-141, 2000.

- [22] M.Mocofan, C.D. Căleanu, D. Lacrămă, F. Alexa – “*Unsupervised texture image segmentation*”, Proc. 5<sup>th</sup> Seminar on Neural Network Applications in electrical engineering, NEUREL 2000, Belgrad, Yugoslavia., pag. 101-104, 2000.
- [23] M.J. Arrowsmith, M.R. Varley, P.D. Picton, and J.D. Heys – “*Hybrid Neural Network System for Texture Analysis*” – comunicare personală.
- [24] V. Phoha, W. Oldham – “*Image Recovery and Segmentation Using Competitive Learning in a Layered Network*”, IEEE Trans. Neural Networks, pag.843-856, Iulie, 1996.
- [25] G. Tonder, J. Kruger – “*Shape Encoding. A Biologically Inspired Method of Transforming Boundary Images into Ensemble of Shape-Related Features*”, IEEE Trans. Systems, Man, and Cybernetics, pag.749-759, Oct., 1997.
- [26] K. Fukushima – “*Neocognitron: A Hierarchical Network for Visual Pattern Recognition*”, în M. Gupta, T. Yamakawa - “*Fuzzy Computing*”, Amsterdam, pag.71-88, 1988.
- [27] C. Neubauer – “*Evaluation of Convolutional Neural Networks for Visual Recognition*”, IEEE Trans. Neural Networks, pag.685-697, Iulie, 1998.
- [28] L. Wang, S. Der, N. Nasrabadi – “*Automatic Target Recognition using a Feature Decomposition and Data Decomposition Modular Neural Network*”, IEEE Trans. Image Processing, pag.1113-1122, August, 1998.
- [29] C.D. Căleanu – “*Realizări și perspective în prelucrarea digitală a imaginilor cu ajutorul rețelelor neuronale*”, Referat doctorat nr.1, UPT, Timișoara, pag. 20-45, 1997.
- [30] E. Viennet, F. Soulie – “*Connectionists Methods for Human Face Processing*”, în H. Wechsler și colectiv – “*Face Recognition. From theory to Applications*”, pag. 124-156, NATO ASI series, Springer-Verlag, 1998.
- [31] S. Thiria, Y. Lechevallier, O.Gascuel, S. Canut (editori) – “*Statistiques et methodes*

- [56] M. Hestenes – “*Conjugate direction methods in optimization*”, NY, Springer-Verlag, 1990.
- [57] E.M. Johansson, F.U. Dowla, D.M. Goodman – “*Backpropagation learning for multi-layer feed-forward neural networks using the conjugate gradient method*”, Int. Journal of Neural Systems, 2(4), pag.291-302, 1991.
- [58] C.D. Căleanu – “*Neural system for facial recognition*”, Zilele Academice Timișene, Ed. VII, Timișoara 24-25 Mai, 2001 –în curs de publicare.
- [59] M.T. Hagan, M. Mehanj – “*Training feedforward networks with the Marquardt algorithm*”, IEEE Trans. Neural Networks, vol.5, nr.6, pag. 989-993, 1994.
- [60] R. Battiti - “*First and second order methods for learning: Between steepest descent and Newton’s method,*” Neural Computation, vol. 4, no. 2, pag. 141–166, 1992.
- [61] M. T. Hagan, H. B. Demuth, M. H. Beale – “*Neural Network Design*”, Boston, MA: PWS Publishing, 1996.
- [62] M. Gupta, G. Knopf – “*Neuro-Vision Systems: A Tutorial*”, în M. Gupta, G. Knopf (editori) – “*Neuro-Vision Systems. Principles and Applications*”, IEEE Press, pag. 4-14, 1994.
- [63] T. Kanade - “*Picture processing by computer complex and recognition of human faces*”, Ph.D. dissertation, Kyoto Univ., Japan, 1973.
- [64] R. Brunelli, T. Poggio - “*Face recognition: Features versus templates*”, IEEE Trans. Pattern Analysis and Machine Intelligence, vol.15, pag.1042-1052, 1993.
- [65] I.J. Cox, J.Ghosn, P.N. Yianilos – “*Feature-Based Face Recognition Using Mixture-Distance*”, Proceedings of the 1996 IEEE Computer Society Conference on Computer Vision and Pattern Recognition, pag. 209-216, Iunie 18-20, San Francisco, CA, USA, 1996.
- [66] K. Sutherland, D.Renshaw, P.B.Denyer – “*Automatic face recognition*”, în Proc. 1<sup>st</sup> Int. Conf. Intell. Syst. Eng., Piscataway, NJ, IEEE Press, pag. 29-34, 1992.
- [67] M. Turk and A. Petland - “*Eigenfaces for face recognition*”, J. Cognitive Neurosci., vol.3, pag. 71-86, 1991.
- [68] B. Moghaddam, A. Petland – “*Face recognition using view-based and modular*

- eigenspaces*”, în Automat. Syst. Identification Inspection of Humans, vol.2257, 1994.
- [69] B. Moghaddam, W. Wahid, A. Petland – “*Beyond Eigenfaces: Probabilistic Matching for Face Recognition*”, Proc. Of the 3<sup>rd</sup> IEEE Int. Conf. On Automatic Face and Gesture Recognition, Nara, Japan, pag. 30-35, 1998.
- [70] C. Liu, H. Wechsler – “*Evolution of Optimal Projection Axes (OPA) for Face Recognition*”, Proc. Of the 3<sup>rd</sup> IEEE Int. Conf. On Automatic Face and Gesture Recognition, Nara, Japan, pag. 282-287, 1998.
- [71] S.Z. Li, Juwei Lu – “*Face Recognition using the Nearest Feature Line Method*”, IEEE Trans. on Neural Networks, vol.10, nr.2, pag.439-443, Martie, 1999.
- [72] R.J. Baron – “*Mechanism of human facial recognition*”, Int. J. Man Machine Studies, vol.15, pag.137-178, 1981.
- [73] S. Ben-Yacoub, Y Abdeljaoued, E. Mayoraz – “*Fusion of Face and Speech Data for Person Identity Verification*”, IEEE Trans. on Neural Networks, vol.10, nr.5, pag.1065-1073, Sept., 1999.
- [74] M. Lades și colectiv - “*Distorsion invariant object recognition in the dynamic link architecture*”, IEEE Trans. Comput., vol.42, pag.300-311, 1993.
- [75] I.S. Lawrence, C.L. Giles, A.C. Tsoi, A.D. Bock - “*Face recognition: A convolutional neural-network approach*”, IEEE Trans. on Neural Networks, vol.8, pag. 98-113, 1997.
- [76] C. Neubauer - “*Evaluation of convolutional neural networks for visual recognition*”, IEEE Trans. Neural Networks, vol.9, no.4, pag. 685-695, Iulie, 1998.
- [77] S.H. Lin, S.Y. Kung, L.J. Lin - “*Face recognition/detection by probabilistic decision-based neural networks*”, IEEE Trans. Neural Networks, vol.8, pag.114-113, 1997.
- [78] J. Wilder – “*Face recognition using transform coding of gray scale projections and the neural tree network*”, în R.J. Mammone – “*Artificial Neural Networks for Speech and Vision*”, Chapman&Hall, London, pag.521-535, 1994.
- [79] A.J. Howell, H. Buxton – “*Recognition People and Behaviours*”, în H. Wechsler și

- colectiv – “*Face recognition. From Theory to Applications*”, NATO ASI Series, Springer-Verlag, pag.480-492, 1998.
- [80] K. Sato, S. Shah, L.J. Aggarwal - “*Partial Face Recognition using Radial Basis Function Network*”, Proceedings of the third IEEE International Conference on Automatic Face and Gesture Recognition, Aprilie 14-16, pag. 288-292, Nara, Japan, 1998.
- [81] E. Cabello, A. Sanchez, L. Pastor – “*Some Experiments on Face Recognition with Neural Networks*”, în H. Wechsler și colectiv – “*Face Recognition. From theory to Applications*”, pag. 589-598, NATO ASI series, Springer-Verlag, 1998.
- [82] M. Zhang, J. Fulcher – “*Face Recognition using Artificial Neural Network Group-Based Adaptive Tolerance (GAT) Trees*”, IEEE Trans on Neural Networks, vol.7, nr.3, pag. 555-567, Mai, 1996.
- [83] L. Pessoa and A.P Leitao, “*Complex Cell Prototype Representation for Face Recognition*”, IEEE Trans. Neural Networks, vol.10, no.6, pag.1528-1531, Nov. 1999.
- [84] C.D. Căleanu – “*Rețele neuronale în recunoașterea imaginilor. Recunoașterea facială*”, Referat doctorat nr.2, UPT, Timișoara, pag.5-15, 1998.
- [85] C.D. Căleanu – “*Conventional versus neural networks techniques for facial recognition*”, Proc. of the Symposium of Electronics and Telecommunications, Etc2000, vol.II. pag. 61-64, Timișoara, 2000.
- [86] L. Hang, A. Join – “*Integrating Face and Fingerprints for Personal Identification*”, IEEE PAMI, vol.20, nr.12, pag.1295-1307, Dec., 1998.
- [87] H.A. Rowley, S. Baluja, T. Kanade – “*Neural Network – Based Face Detection*”, Proc. of the 1996 IEEE Comp. Soc. Conf. Com. Vision and Pattern Rec., pag. 203-208, Iunie 18-20, CA, USA, 1996.
- [88] K. K. Sung, T. Poggio – “*Example –based learning for view-based human face detection*”, AI Memo1521, CBCL Paper 112, MIT, Dec., 1994.
- [89] B. Moghaddam, A. Petland – “*Probabilistic Visual Learning for Object Representation*”, IEEE PAMI, vol.19, nr.7, pag.696-709, Iulle, 1997.

- [90] H. Moravec – “*Robot Rover Visual Navigation*”, Ann Arbor, MI: Univ. of Michigan Research Press, 1981.
- [91] N.M. Nasrabadi, C.Y. Choo – “*Hopfield Network for Stereo Vision Correspondance*”, în M. Gupta, G. Knopf (Eds.) - “*Neuro-Vision Systems. Principles and Applications*”, IEEE Press, pag. 442-449, 1994.
- [92] L.C. Wang, S.Z. Der, N.M. Nasrabadi – “*Automatic Target Recognition Using a Feature-Decomposition and Data-Decomposition Modular Neural Network*”, IEEE Trans. on Image Processing, vol.7, nr.8, pag.1113-1121, Aug., 1998.
- [93] C.D. Căleanu – “*Performances Improvement of Neural Networks Multilayer Perceptron Type in Facial Recognition*”, 5<sup>th</sup> International Conference on Engineering of Modern Electric Systems, Oradea, pag.116-122, Mai, 1999.
- [94] C.D. Căleanu – “*Procesarea neuronală paralelă a regiunilor de interes în recunoașterea facială*”, Bul. St. UPT, Tom 44(58), Fasc. 1, pag.129-136, 1999.
- [95] C.D. Căleanu – “*Facial Recognition using Committee of Neural Networks*”, Proc. 5<sup>th</sup> Seminar on Neural Network Applications in electrical engineering, NEUREL 2000, Belgrad, Yugoslavia., pag. 97-100., 2000.
- [96] \*\*\* - “*Using MATLAB*”, ver.5, The MATHWORKS Inc., 1999.
- [97] \* \* \* - “*MATLAB Function Reference*”, vol.1:Language, ver.5, The MATHWORKS Inc., 1999.
- [98] M. Ghinea, V. Fireșteanu, - “*MATLAB. Calcul numeric-Grafică-Aplicații*”, Ed. Teora, 1995.
- [99] [www.mathworks.com](http://www.mathworks.com).- The MATHWORKS Inc.
- [100] H. Demuth, M. Beale – “*Neural Network Toolbox. User's Guide*”, ver.3.0, The MATHWORKS Inc., 1998.
- [101] \*\*\* - “*Building GUIs with MATLAB*”,ver.5, The MATHWORKS Inc., 1999.
- [102] S.Tiponuç, C.D. Căleanu, V. Tiponuç – “*DSP-MATLAB based tool for Artificial Neural Network Applications Development*”, Analele Fac. de Inginerie, Hunedoara, an 2, fasc.2, ISSN 1454 – 6531, pag. 193 – 196, 2000.
- [103] V. Tiponuç, B. Șerbănescu, C.D. Căleanu – “*Echipament pentru conducerea*



*automată pe rost a capului de sudare"*, Noutăți în sudarea structurilor metalice, Buzău, pag. 182 – 188, 1999.

[104] \*\*\* - User's Guide TMS320C3X Texas Instruments 1997 SPRU031E

[105] F.S. Samaria, A.C. Hartner – "*Parametrisation of a stochastic model for human face identification*", Proc. of 2<sup>nd</sup> IEEE Workshop on Applications of Computer Vision, Sarasota, 1994.

[106] C.D. Căleanu – "*Hybrid Neural Networks: An Overview*", Sesiunea de comunicări științifice, 19-20 Oct., Hunedoara, Tom II, Fasc.2, ISSN 145-6531, pag.189-192, 2000.